



## **Građevna statika 2 (21093) | Metoda 1/3**

Akadska godina 2020./2021.

# **Metoda sila**

Uvod, kombiniranje dijagrama, osnovni proračun, utjecaj prisilnih pomaka, utjecaj temperaturnih promjena, utjecaj elastičnih oslonaca

### **Doc.dr.sc. Marin Grubišić, mag.ing.aedif.**

Sveučilište u Osijeku (UNIOS)  
Građevinski i arhitektonski fakultet Osijek (GrAFOS)  
Zavod za tehničku mehaniku (ZTM)  
Katedra/Laboratorij za eksperimentalnu mehaniku  
Vladimira Preloga 3, **Ured II.26**, HR-31 000 Osijek, Hrvatska

[marin.grubisic@gfos.hr](mailto:marin.grubisic@gfos.hr)

Konzultacije: **srijedom 8:00 — 9:00 sati**

Google Classroom: **qmvjpo6**

# Uvod

**Statički određeni nosači** se rješavaju samo pomoću uvjeta ravnoteže jer je kod njih moguće samo jedno ravnotežno stanje.

**Statički neodređeni nosači** imaju **više ravnotežnih stanja i više mogućih stanja pomaka**, pa se za njihovo rješavanje osim uvjeta ravnoteže koriste i dodatni uvjeti deformiranja.

- **Manji su momenti savijanja** pri jednaku rasponu i pod jednakim opterećenjima.
- **Manji su progibi** pri jednakoj krutosti.
- **Imaju veću sigurnost** u graničnomu stanju nosivosti (GSN).



- Teorem o uzajamnosti radova/pomaka
  - Bettijev, Maxwellov, Castiglianovi, Clapeyronovi teoremi
  - **Metoda jediničnog opterećenja**

## Teorem o jediničnoj sili

Teorem o jediničnoj sili definira se pomoću pomaka i izvodi se iz sljedećeg uvjeta:

$$W = U$$

rad vanjskih sila rad unutarnjih sila  
(potencijalna energija deformiranja)

Pri **statičkom** opterećenju **elastičnog** tijela promjena potencijalne energije vanjskih sila **jednaka je** prirastu potencijalne energije deformacije tijela (Hookeov zakon)!

Opći izraz za **pomak ili rotaciju** na mjestu  $i$  u smjeru u  **$i$ -toj** točki zadanog poprečnog presjeka:

$$u_i, v_i, \theta_i = \sum \int_0^l (m_i \cdot \chi + v_i \cdot \gamma + n_i \cdot \varepsilon) ds$$

$m_i, v_i, n_i$  – unutarnje sile koje nastaju uslijed djelovanja jedinične sile u  $i$ -toj točki

$\chi, \gamma, \varepsilon$  – deformacije nastale uslijed vanjskog opterećenja

## Deformacije za pojedinačna djelovanja

- **Rotacija** (kut zaokreta presjeka) – deformacija uslijed momenta savijanja:

$$\chi = \frac{M}{E \cdot I} + \left( \alpha_t \cdot \frac{\Delta t}{h} \right)$$

djelovanje nejednolike temperature koja daje istu deformaciju – **zaokret poprečnog presjeka**

- Deformacija od poprečne sile:

$$\gamma = k \cdot \frac{V}{G \cdot A}$$

Uvjet su konstantni poprečni presjeci!

- Uzdužna deformacija uslijed djelovanja uzdužne sile:

$$\varepsilon = \frac{N}{E \cdot A} + \left( \alpha_t \cdot t_s \right)$$

djelovanje jednolike temperature koja daje istu uzdužnu deformaciju – **širenje ili skupljanje**

## Deformacije za pojedinačna djelovanja

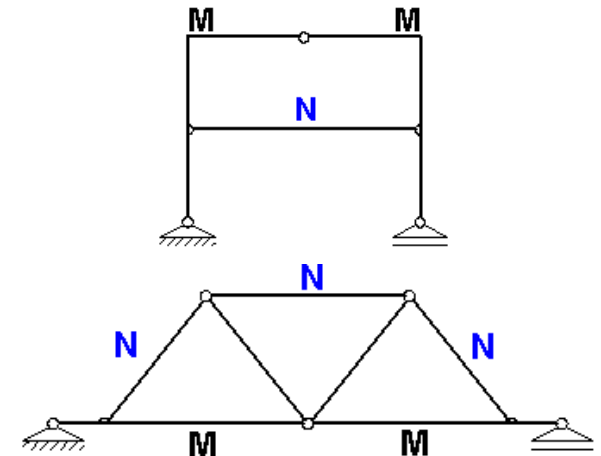
$$u_i, v_i, \theta_i = \sum \int_0^l (m_i \cdot \chi + v_i \cdot \gamma + n_i \cdot \varepsilon) ds$$

$$\chi = \frac{M}{E \cdot I} + \left( \alpha_t \cdot \frac{\Delta t}{h} \right) \quad \gamma = k \cdot \frac{V}{G \cdot A} \quad \varepsilon = \frac{N}{E \cdot A} + \left( \alpha_t \cdot t_s \right)$$

$$u_i, v_i, \theta_i = \sum \int_0^l \left( m_i \cdot \frac{M}{E \cdot I} + t_i \cdot \frac{V}{G \cdot A} + n_i \cdot \frac{N}{E \cdot A} \right) ds$$

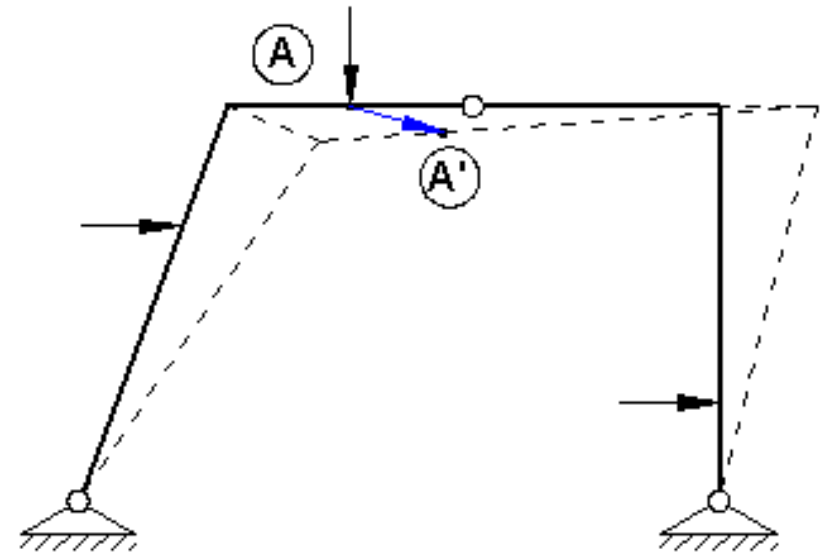
**Najveće deformacije** u konstrukciji nastaju uslijed djelovanja **momenta savijanja**, a najmanje (zanemarivih vrijednosti) su od poprečne sile.

**Utjecaj uzdužne sile** je zanemariv, osim kod štapova u kojima je uzdužna sila  $N$  dominantna i kod štapova malog poprečnog presjeka.



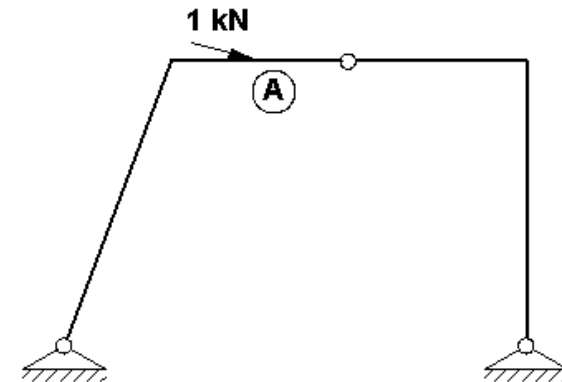
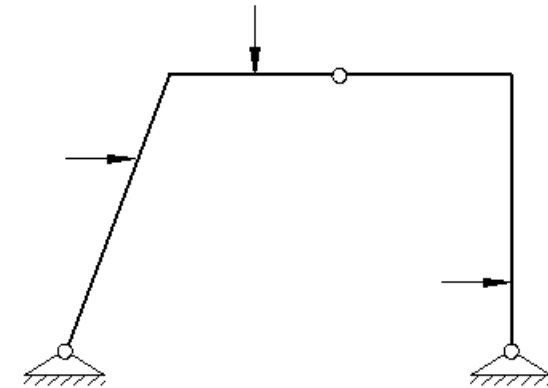
# Određivanje pomaka čvorova i rotacija poprečnog presjeka

Pod djelovanjem vanjskog opterećenja dolazi do deformacije sustava, ali nas zanimaju određeni pomaci određenih točaka (npr. **pomak točke A**).



# Određivanje pomaka čvorova i rotacija poprečnog presjeka

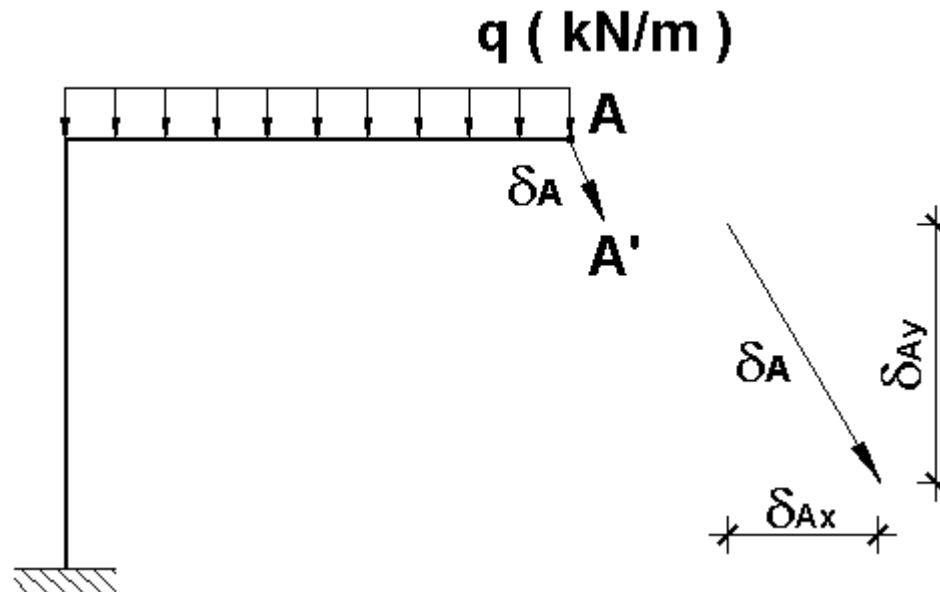
1. Za zadano **vanjsko opterećenje** odredimo dijagrame: **M, V i N**
2. Sa sustava **uklanjamo vanjsko opterećenje** i na mjestu (A) i u smjeru traženog pomaka **zadajemo jedinično opterećenje** i dobivamo jedinične dijagrame: **m<sub>1</sub>, v<sub>1</sub>, n<sub>1</sub>**



3. Kombinacija dijagrama:
 
$$\delta_A = \sum \int_0^l \left( \frac{M \cdot m_1}{E \cdot I} + \frac{V \cdot v_1}{G \cdot A} + \frac{N \cdot n_1}{E \cdot A} \right) ds$$

## Primjer #1

Naći ukupni pomak i rotaciju (kut zaokreta) točke A poprečnog presjeka.

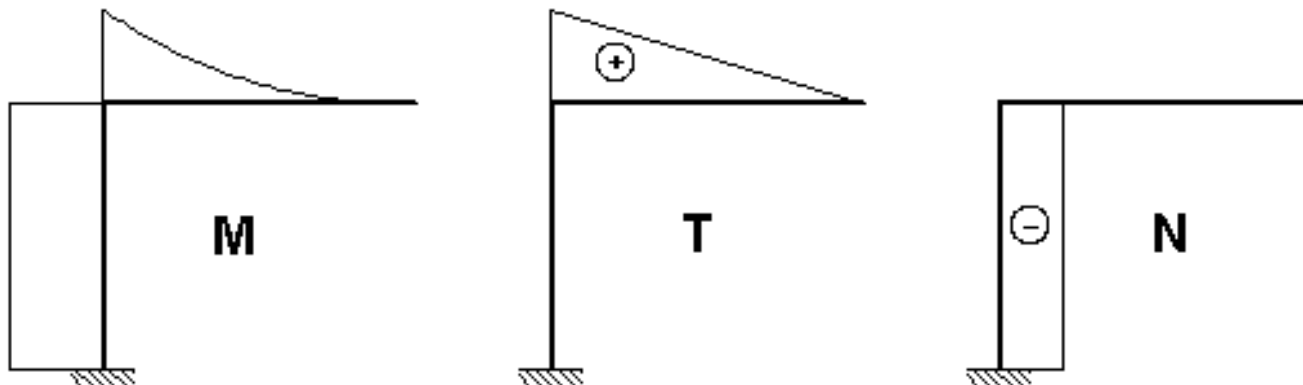


$$\delta_A = \sqrt{\delta_{Ax}^2 + \delta_{Ay}^2}$$

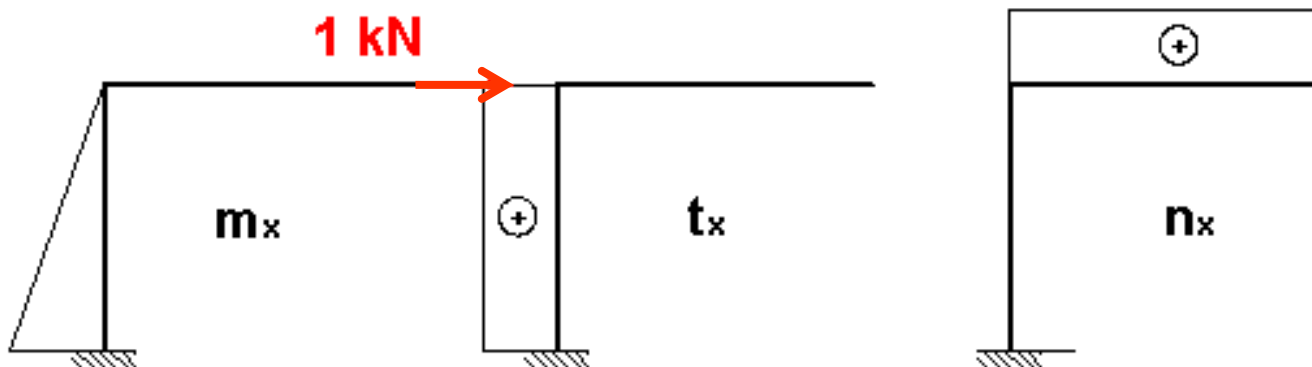


## Primjer #1

### 1. $M, V, N$ od vanjskog opterećenja

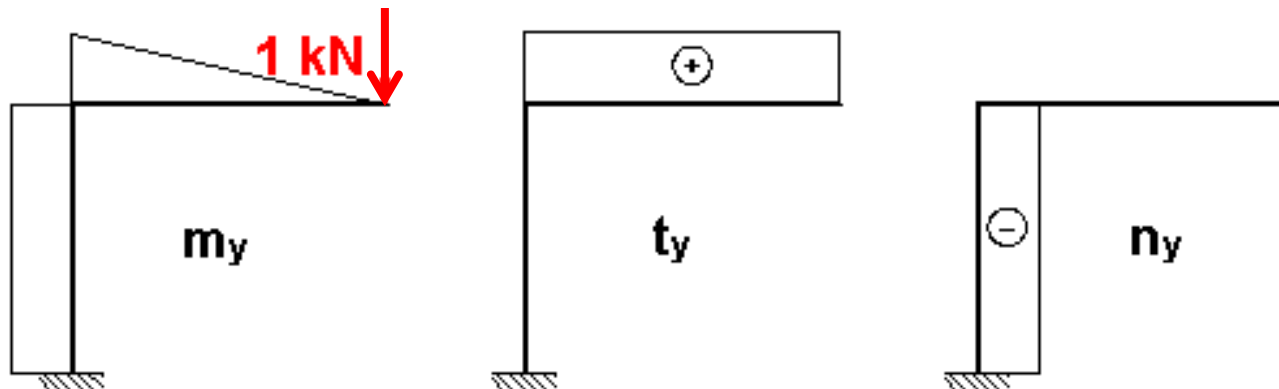


### 2a. $m_x, v_x, n_x$ za horizontalni pomak – jedinična sila u smjeru x

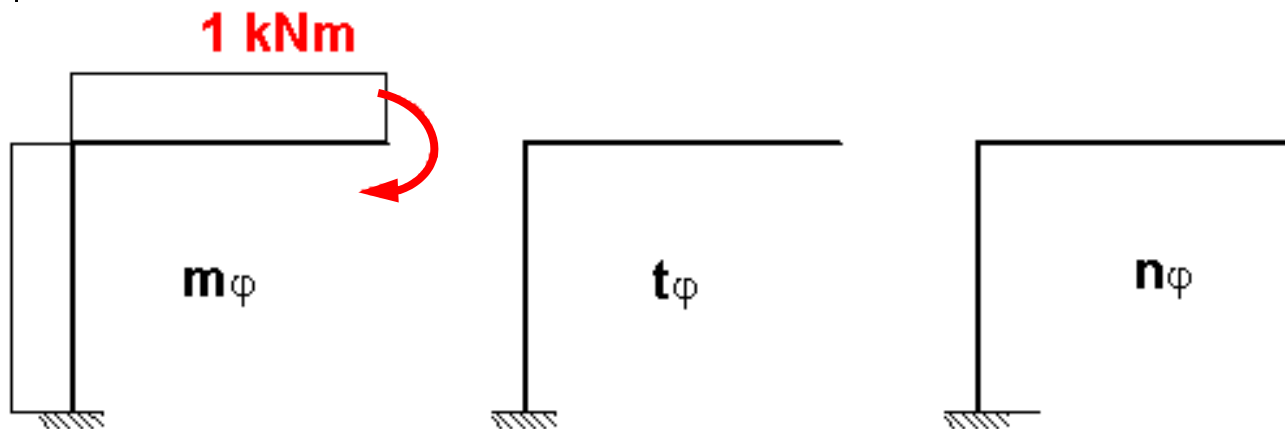


## Primjer #1

2b.  $m_y$ ,  $v_y$ ,  $n_y$  za vertikalni pomak – jedinična sila u smjeru  $y$



2c.  $m_\varphi$ ,  $v_\varphi$ ,  $n_\varphi$  za rotaciju (kut zaokreta) – jedinični moment



## Primjer #1

### Kombinacije dijagrama:

**Horizontalni pomak** (vanjsko opterećenje i horizontalno jedinično opterećenje):

$$\delta_{Ax} = \sum \int \left( \frac{M \cdot m_x}{E \cdot I} + \frac{V \cdot v_x}{G \cdot A} + \frac{N \cdot n_x}{E \cdot A} \right) ds$$

**Vertikalni pomak** (vanjsko opterećenje i vertikalno jedinično opterećenje):

$$\delta_{Ay} = \sum \int \left( \frac{M \cdot m_y}{E \cdot I} + \frac{V \cdot v_y}{G \cdot A} + \frac{N \cdot n_y}{E \cdot A} \right) ds$$

**Kut zaokreta** (vanjsko opterećenje i jedinični moment savijanja):

$$\delta_{A\phi} = \sum \int \left( \frac{M \cdot m_\phi}{E \cdot I} + \frac{V \cdot v_\phi}{G \cdot A} + \frac{N \cdot n_\phi}{E \cdot A} \right) ds$$

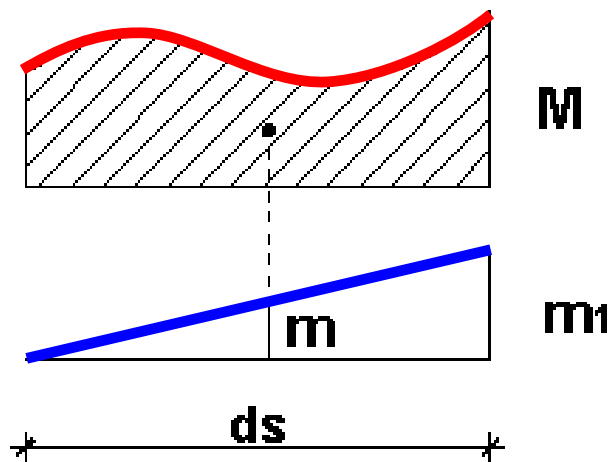
Ukupni pomak: 
$$\delta_A = \sqrt{\delta_{Ax}^2 + \delta_{Ay}^2}$$

Da ne bi rješavali određene integrale radimo **grafičku integraciju po Vereshchaginu**:

### Vereshchaginov teorem (1925.):

U slučaju opterećenja jediničnom silom, moment savijanja mijenja se **linearno!**

Nužan uvjet je da funkcija  $m$  bude **linearna!**



$$\int_0^l \frac{M \cdot m_1}{E \cdot I} ds = \frac{1}{EI} \cdot A(M) \cdot m$$

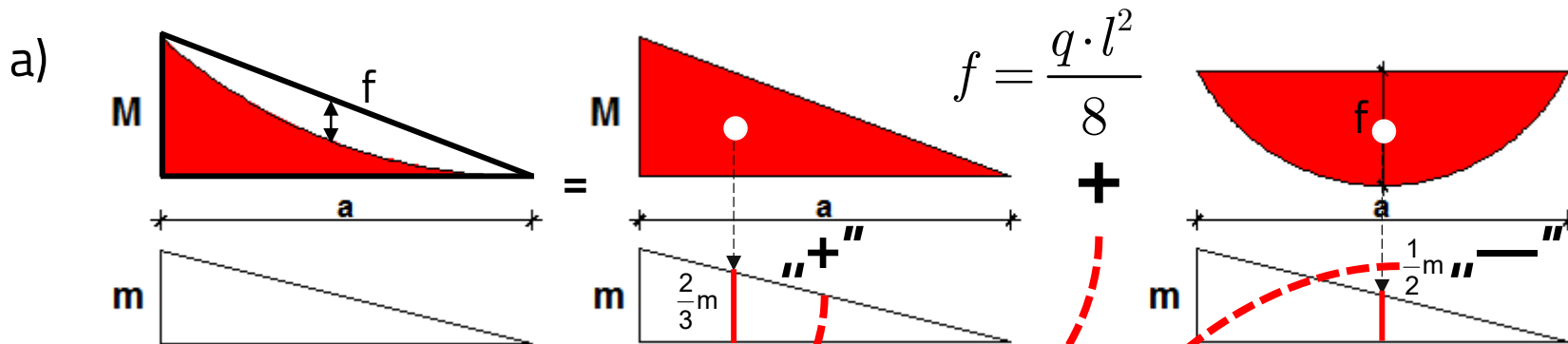
površina dijagrama  
**(obvezno parabola!)**

**ordinata ispod težišta**  
 funkcije za koju smo  
 izračunali površinu

Ostali postupci izračunavanja integrala:  
 Trapezno pravilo, Simpsonovo pravilo,  
 Gaussova kvadratura

## Primjer #2

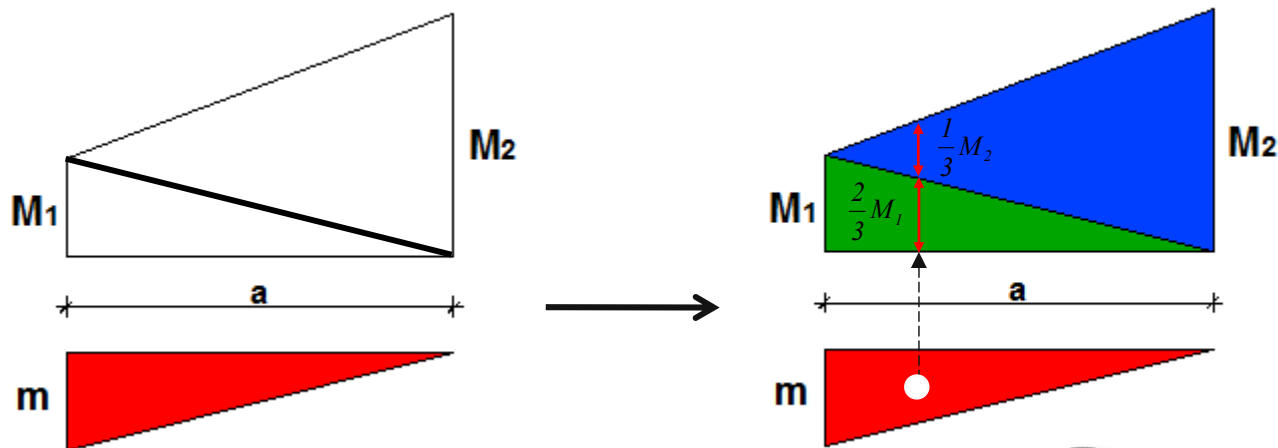
Iskombinirati sljedeće dijagrame pomoću **Vereshchaginovog pravila!**



Za slučaj parabole u dijagramu momenata  $M$  obvezno se pri kombinaciji uzima **površina parabole**, dok se **ordinata očitava** iz dijagrama **jediničnih opterećenja!**

$$\delta = + \frac{1}{EI} \cdot \left[ \frac{M \cdot a}{2} \cdot \left( + \frac{2}{3} \cdot m \right) + \frac{2}{3} \cdot f \cdot a \cdot \left( - \frac{1}{2} \cdot m \right) \right] = \frac{a \cdot m}{3 \cdot EI} (M - f)$$

b)



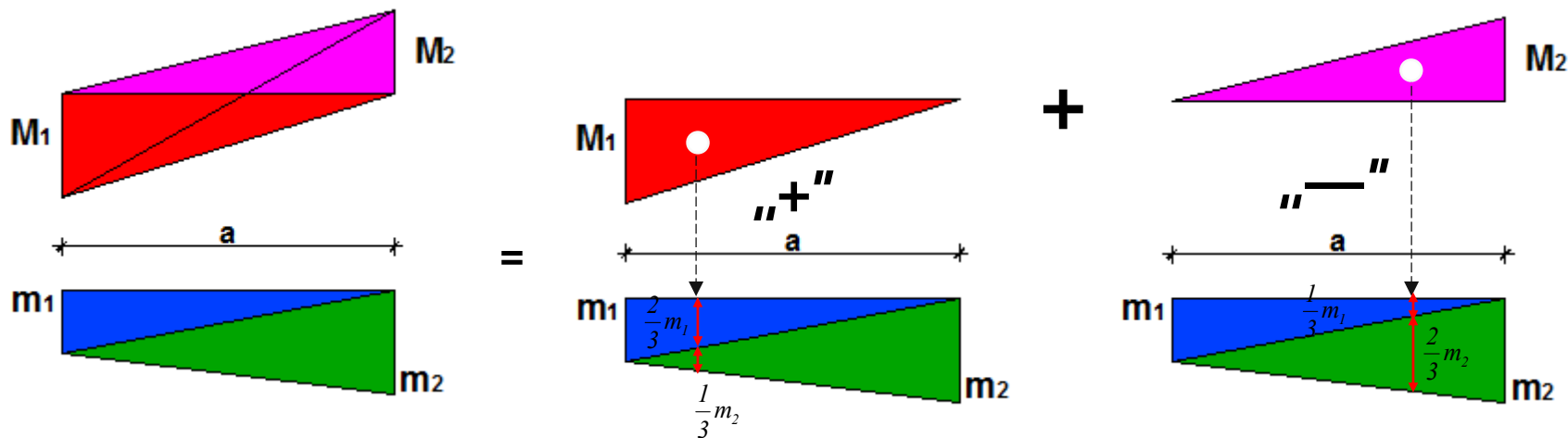
**Preporuka:** trapez dijelimo na 2 trokuta !



$$\delta = - \frac{1}{EI} \cdot \left[ \frac{m \cdot a}{2} \cdot \left( \frac{2}{3} \cdot M_1 + \frac{1}{3} \cdot M_2 \right) \right]$$

minus jer su **M** i **m** dijagrami suprotnih predznaka !

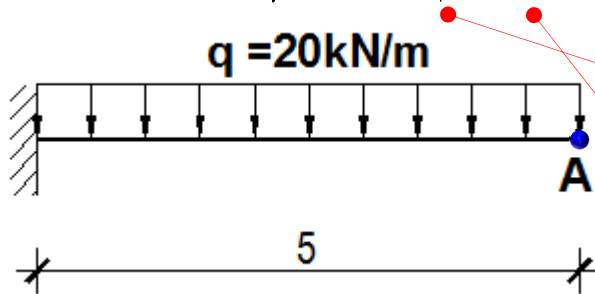
c)



$$\delta = \frac{1}{EI} \cdot \left[ \frac{M_1 \cdot a}{2} \cdot \left( +\frac{2}{3} \cdot m_1 + \frac{1}{3} \cdot m_2 \right) + \frac{M_2 \cdot a}{2} \cdot \left( -\frac{1}{3} \cdot m_1 - \frac{2}{3} \cdot m_2 \right) \right]$$

## Zadatak #1 | Odrediti vrijednost vertikalnog pomaka točke A.

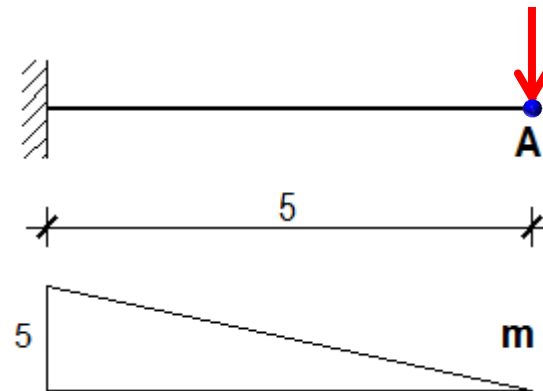
$b/h = 30/50$  cm; C 25/30



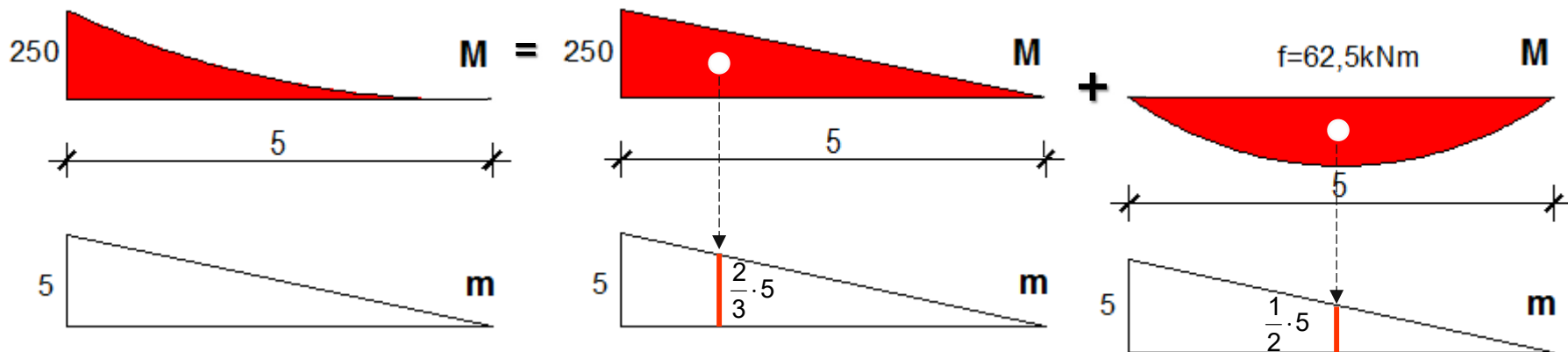
$$I = \frac{b \cdot h^3}{12} = 3.13 \cdot 10^{-3} \text{ m}^4$$

$$E = 3.05 \cdot 10^7 \text{ kN/m}^2$$

$$EI = 95312.5 \text{ kNm}^2$$





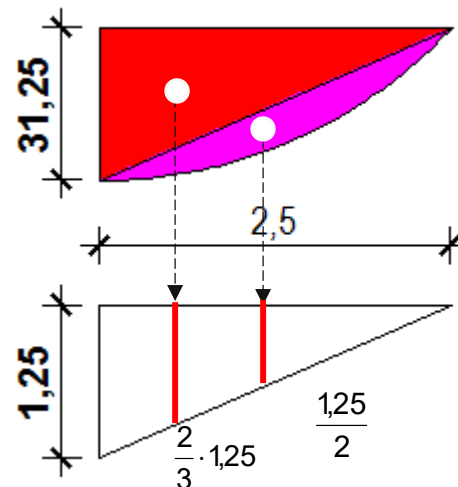
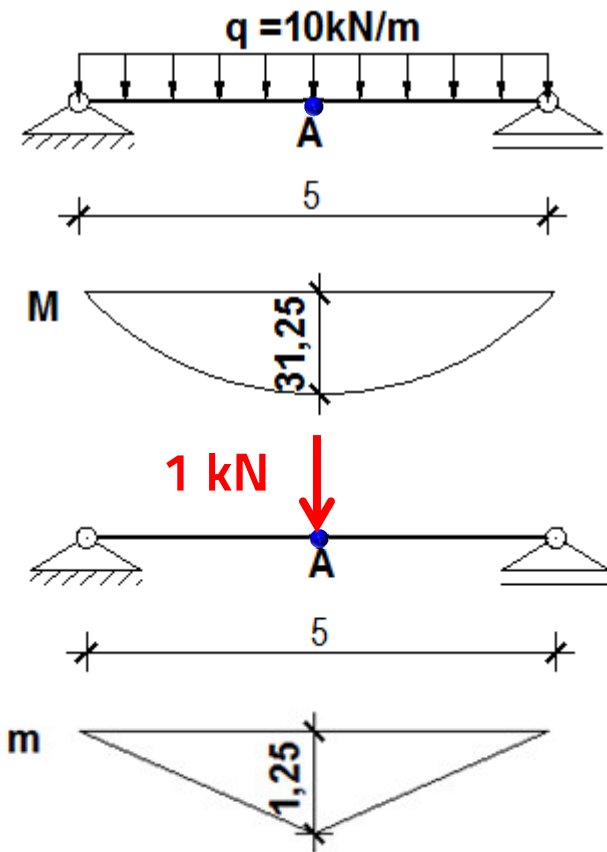


$$\delta_{Ay} = \frac{1}{EI} \cdot \left[ \frac{250 \cdot 5}{2} \cdot \left( \frac{2}{3} \cdot 5 \right) \right] - \left[ \frac{2}{3} \cdot 62.5 \cdot 5 \cdot \left( \frac{1}{2} \cdot 5 \right) \right] = \frac{1562.5}{EI}$$

$$\delta_{Ay} = 0.016 \text{ m} = \boxed{16 \text{ mm}}$$

## Zadatak #2 | Odrediti vrijednost vertikalnog pomaka točke A.

$$b/h = 30/50 \text{ cm}; \text{ C 25/30}; EI = 95\,312.5 \text{ kNm}^2$$



Simetričan dijagram!

$$\delta_{Ay} = \frac{1}{EI} \cdot 2 \times \left[ \frac{31.25 \cdot 2.5}{2} \cdot \left( \frac{2}{3} \cdot 1.25 \right) + \frac{2}{3} \cdot 7.81 \cdot 2.5 \cdot \left( \frac{1}{2} \cdot 1.25 \right) \right] = \frac{81.39}{EI} = \boxed{0.85 \text{ mm}}$$

# Statički neodređeni sustavi

## Definicija sa statičkog gledišta:

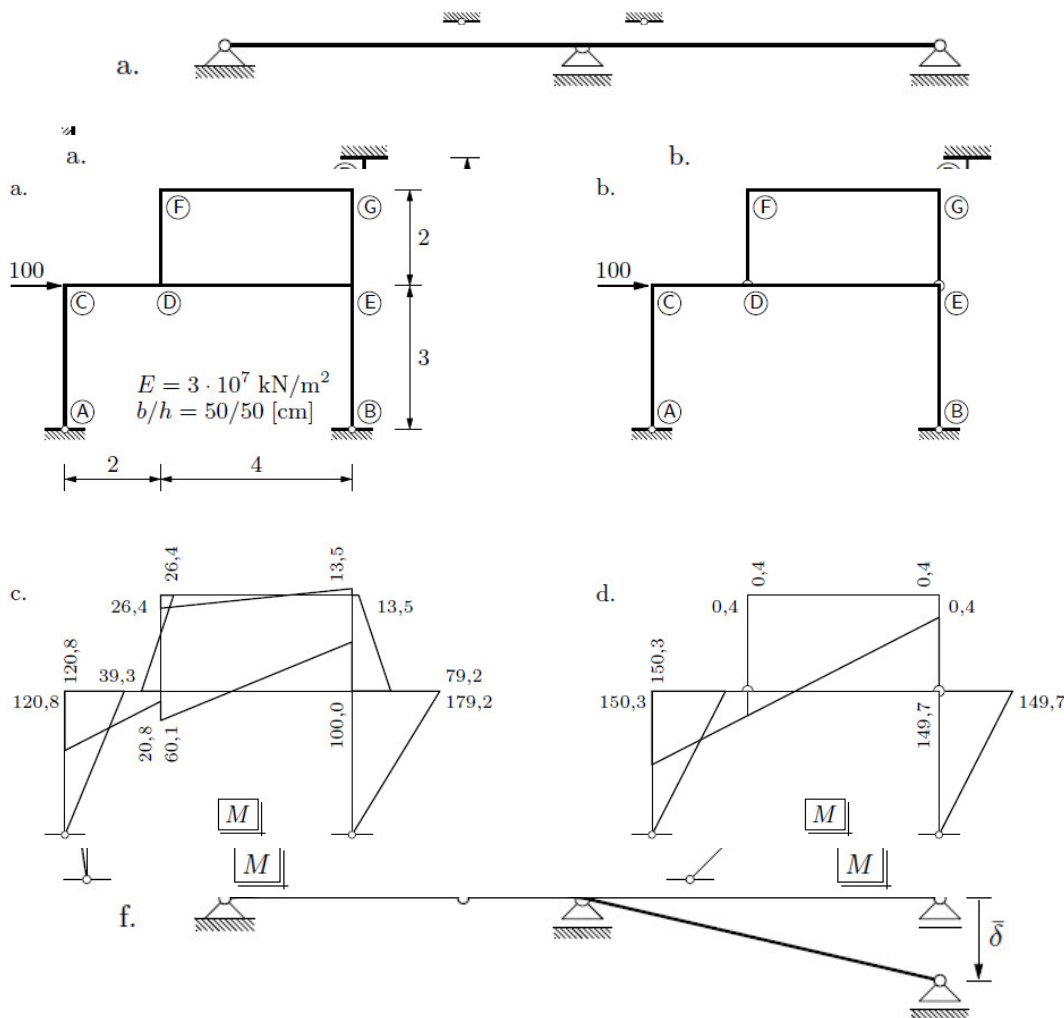
Statički neodređeni sustav je onaj koji može ostati u stanju ravnoteže **za bilo koje opterećenje**, a broj nepoznatih sila u vanjskim i/ili unutarnjim vezama je **veći** od broja neovisnih jednadžbi kojima se opisuju uvjeti ravnoteže (pa te uvjete zadovoljava beskonačno mnogo vrijednosti sila).

## Definicija sa kinematskog gledišta:

Statički neodređeni sustav je **geometrijski nepromjenjiv** sustav u kojem je broj veza, vanjskih ili unutarnjih ili jednih i drugih, **veći od najmanjeg broja** nužnog za njegovu geometrijsku nepromjenjivost.

- U kinematskoj se klasifikaciji geometrijski nepromjenjivi sustavi s viškom veza nazivaju i **kinematski preodređenima**.

# Statički neodređeni sustavi



1. Prema definiciji statički neodređenih konstrukcija, postoje **beskonačni skupovi vrijednosti sila** u vanjskim i u unutarnjim vezama koji zadovoljavaju sustav neovisnih jednačbi ravnoteže cijele konstrukcije i njezinih dijelova. Za izdvajanje stvarnih vrijednosti potrebne su stoga dodatne jednačbe (izraz **kinematskih** uvjeta).
2. Sile u statički neodređenom sustavu ovise o **broju i vrsti veza** te o **omjeru krutosti** njegovih dijelova.
3. U statički neodređenom sustavu se pri **promjenama temperature** uglavnom pojavljuju reakcije i unutarnje sile. Nadalje, sile u vezama i u presjecima mogu se pojaviti zbog **prisilnih pomaka** poput popuštanja ležajeva i ugradnje netočno izvedenih dijelova.
4. **Promjena oblika osi dijela** statički neodređenoga nosača izazvat će promjenu sila i u drugim njegovim dijelovima.
5. Zamjena zadanoga **opterećenja statički ekvivalentnim** dovodi do promjene sila na cijelom nosaču, a ne samo na području djelovanja opterećenja.
6. Opterećenja koja u složenom sustavu djeluju na dio koji možemo smatrati "nosačem za sebe" **uzrokuju unutarnje sile** i u statički neodređenim dijelovima koji se oslanjaju na njega.

## Karakteristike statički neodređenih sustava

1. Proračun se vrši pomoću uvjeta ravnoteže sa **dodatnim uvjetima deformacija** metodama:
  - **Metoda sila** (mala statička neodređenost)
  - **Metoda pomaka** (mala kinematička neodređenost)
  - **Iterativne metode** (velika kinematička neodređenost)
2. Promjene temperatura, slijeganje ležaja i netočnosti izvedbe **imaju utjecaja na sustav** (dijagrami unutarnjih sila mogu imati znatne promjene veličina).
3. Za proračun je potrebno poznavati **karakteristike materijala i poprečnih presjeka elemenata** konstrukcije zbog uvjeta deformacije sustava.

## Karakteristike statički neodređenih sustava

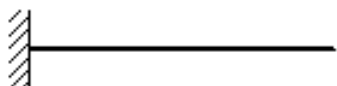
4. Statički neodređene konstrukcije imaju **suvišan broj veza** koje određujemo kroz stupanj statičke neodređenosti sustava.

Razaranjem jedne veze kod statički određenih sustava dobivamo **labilan sustav**, dok gubitak jedne veze kod statički neodređenih sustava dovodi do **spuštanja stupnja statičke neodređenosti za jedan**, ali sustav može ostati geometrijski nepromjenjiv i ne mora doći do sloma.

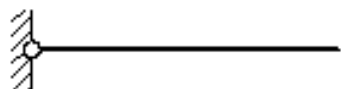
U takvom sustavu dolazi do **preraspodjele unutarnjih sila**, te može ostati u stanju ravnoteže ako se u presjecima **ne dosegnu granična naprezanja materijala**.

# Karakteristike statički neodređenih sustava

**Statički određen sustav**

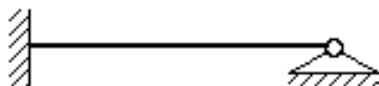


1 veza

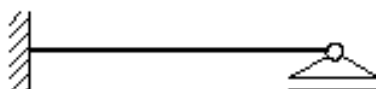


Labilan sustav

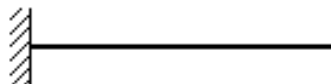
**Statički neodređen sustav**



1 veza



1 veza



2 × statički neodređen sustav

**otpuštanje veza**

1 × statički neodređen sustav

**otpuštanje veza**

statički određen sustav

Statički **neodređeni** sustavi su **sigurniji** od statički određenih !

## Karakteristike statički neodređenih sustava

Sustavi mogu biti:

- statički određeni
- statički neodređeni

Izrazi za određivanje stupnja redundancije odnosno statičke neodređenosti:

$$a) S = 3 \cdot D - 2 \cdot Z_2 - 4 \cdot Z_3 - 6 \cdot Z_4 - \dots - L$$

$$b) S = 2 \cdot \check{C} - (\check{S} + K + L)$$

Rezultat:

$S = 0$  nužan, ali ne i dovoljan uvjet za statički određeni sustav

$S < 0$  statički neodređeni sustav (višak vanjskih i/ili unutarnjih veza)

$S > 0$  mehanizam



$$S = 3 \cdot D - 2 \cdot Z_2 - 4 \cdot Z_3 - 6 \cdot Z_4 - \dots - L$$

broj **diskova**  
(jedan ili više štapova  
koji su međusobno  
povezani krutim  
vezama)

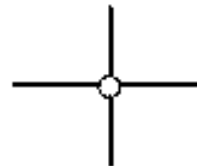
broj  
**zglobova**  
koji  
povezuju  
**2 diska**



broj  
**zglobova**  
koji  
povezuju **3**  
**diska**



broj  
**zglobova**  
koji  
povezuju  
**4 diska**



broj **moćnih**  
**ležajnih**  
**reakcija**

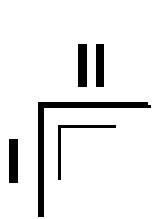
$$S = 2 \cdot \check{C} - (\check{S} + K + L)$$

broj  
čvorova

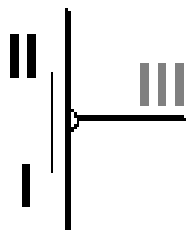
broj  
štapova

broj krutih  
veza

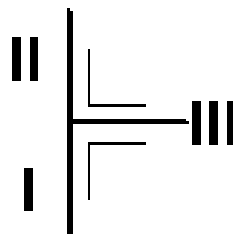
broj mogućih  
ležajnih  
reakcija



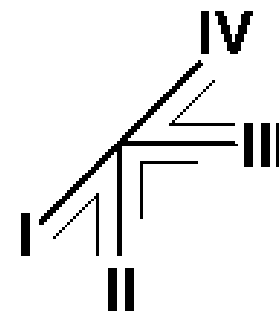
jedna kruta veza



dvije krute veze



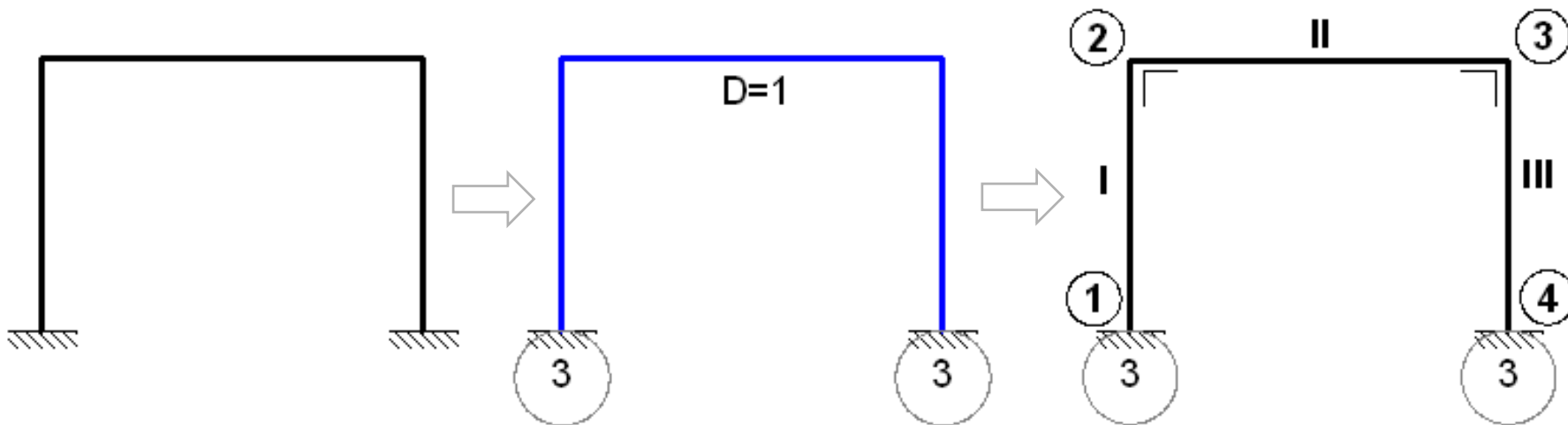
tri krute veze



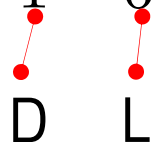
Broj krutih veza = broj štapova (spojenih krutom vezom) – 1

## Primjer #3

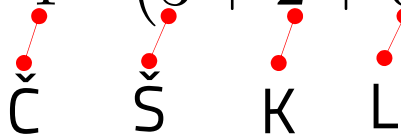
Odrediti stupanj statičke neodređenosti sustava.



$$a) \quad S = 3 \cdot 1 - 6 = -3$$

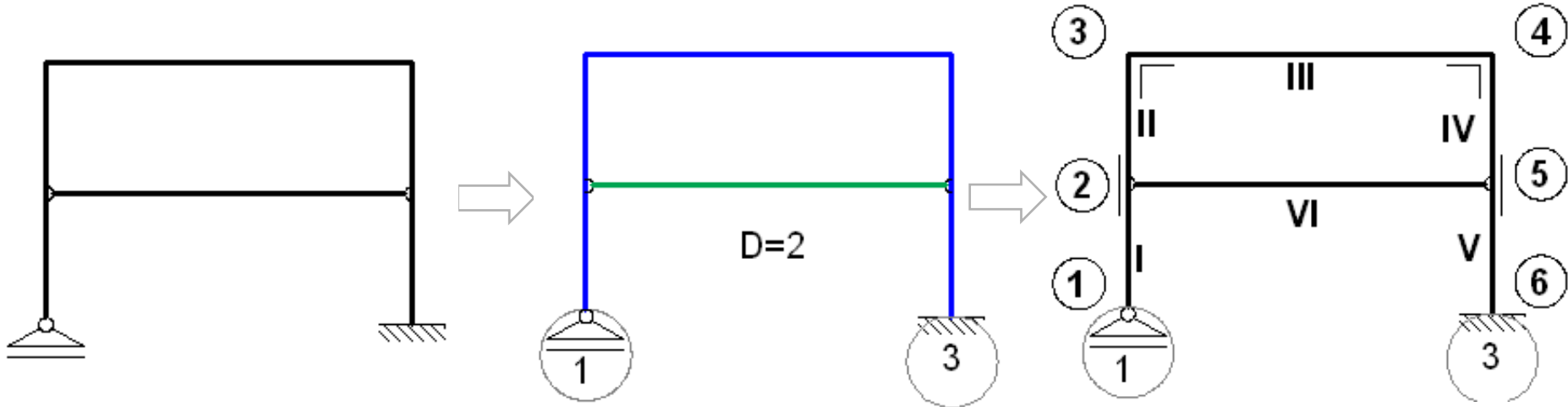
  
 D    L

$$b) \quad S = 2 \cdot 4 - (3 + 2 + 6) = -3$$

  
 Č    Š    K    L

# Primjer #4

Odrediti stupanj statičke neodređenosti sustava.



$$a) \quad S = 3 \cdot 2 - 2 \cdot 2 - 4 = -2$$

$\begin{matrix} \bullet \\ \bullet \end{matrix}$ 
 $\begin{matrix} \bullet \\ \bullet \end{matrix}$ 
 $\begin{matrix} \bullet \\ \bullet \end{matrix}$

D
 $Z_2$ 
L

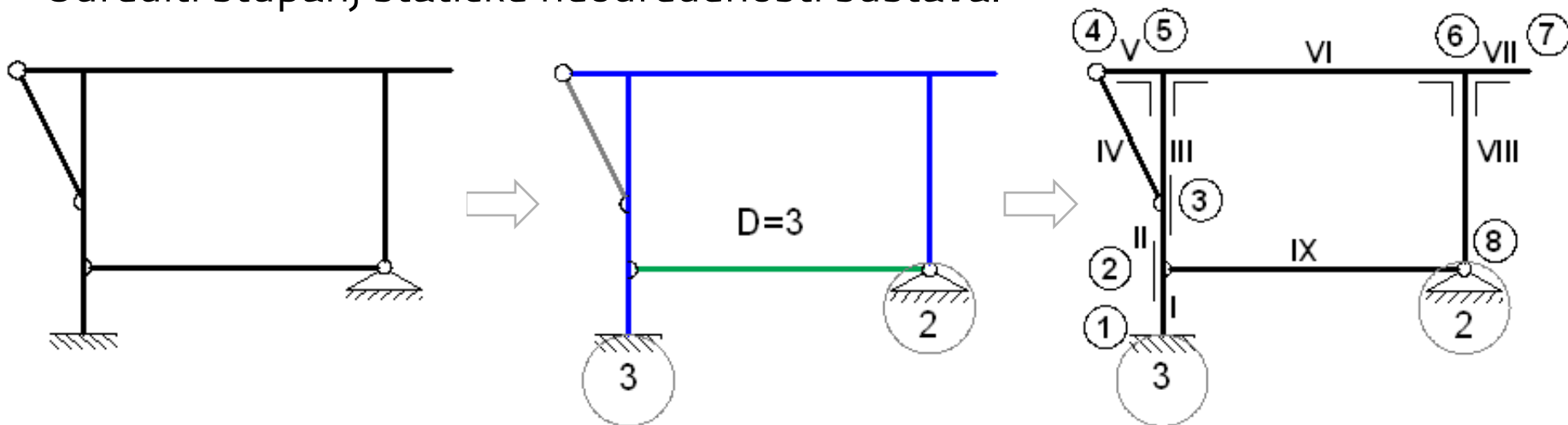
$$b) \quad S = 2 \cdot 6 - (6 + 4 + 4) = -2$$

$\begin{matrix} \bullet \\ \bullet \end{matrix}$ 
 $\begin{matrix} \bullet \\ \bullet \end{matrix}$ 
 $\begin{matrix} \bullet \\ \bullet \end{matrix}$ 
 $\begin{matrix} \bullet \\ \bullet \end{matrix}$

Č
Š
K
L

## Primjer #5

Odrediti stupanj statičke neodređenosti sustava.



$$a) \quad S = 3 \cdot 3 - 2 \cdot 4 - 5 = -4$$

$\begin{matrix} \bullet \\ \bullet \end{matrix}$   
D
 $\begin{matrix} \bullet \\ \bullet \end{matrix}$   
 $Z_2$ 
 $\begin{matrix} \bullet \\ \bullet \end{matrix}$   
L

$$b) \quad S = 2 \cdot 8 - (9 + 6 + 5) = -4$$

$\begin{matrix} \bullet \\ \bullet \end{matrix}$   
Č
 $\begin{matrix} \bullet \\ \bullet \end{matrix}$   
Š
 $\begin{matrix} \bullet \\ \bullet \end{matrix}$   
K
 $\begin{matrix} \bullet \\ \bullet \end{matrix}$   
L

## Metoda sila

**Metoda sila** je metoda određivanja dijagrama unutarnjih sila kod statički neodređenih sustava kod koje **otpuštanjem unutarnjih i/ili vanjskih veza** iz statički neodređenog sustava dobivamo statički određeni sustav koji nazivamo **osnovni sustav!**

**Osnovni sustav** nastaje tako da se u zadanom sustavu raskine određeni broj vanjskih ili unutarnjih veza (broj raskinutih veza ne smije biti veći od stupnja statičke neodređenosti).

Osnovni sustav opterećujemo **jediničnim opterećenjima**,  $X_i$  (sile i momenti te parovi sila i momenata) na mjestu i u smjeru otpuštenih veza i dobivamo **jedinične dijagrame unutarnjih sila** ( $m_i, v_i, n_i$ ).

Od **vanjskog opterećenja** koje se prenosi na **osnovni sustav** dobivamo dijagrame unutarnjih sila uslijed vanjskog opterećenja ( $M_V, V_V, N_V$ ).

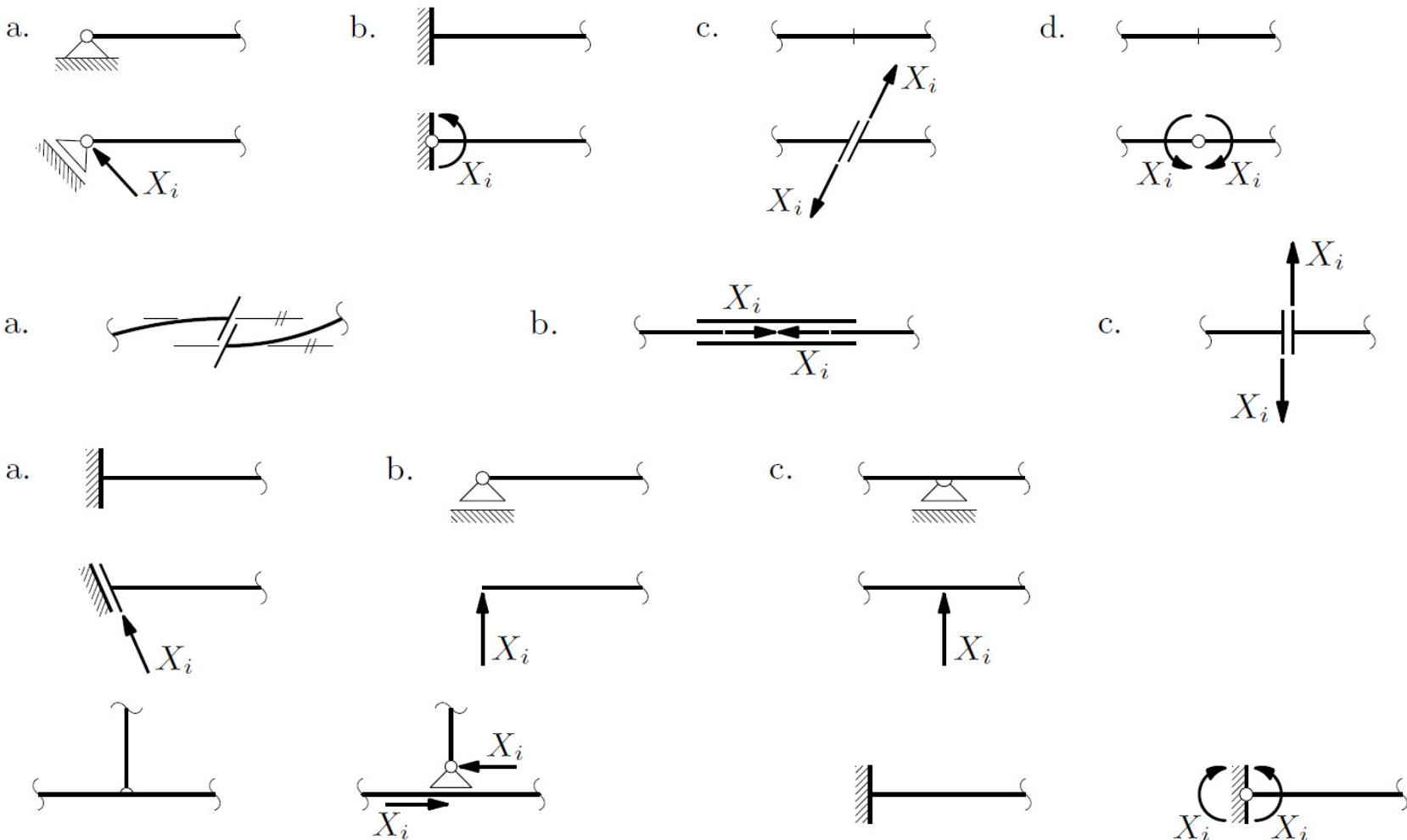
## Metoda sila

Određujemo **koeficijente fleksibilnosti** ( $\delta_{ij}$ ) kombinirajući jedinične dijagrame sa samima sobom i sa dijagramima od vanjskog opterećenja pomoću **Vereshchaginovog** pravila.

Pomoću **jednadžbi kontinuiteta** koje sadrže koeficijente fleksibilnosti određujemo vrijednosti otpuštenih veza  $X_i$ , i **superpozicijom dijagrama od jediničnih** ( $m_i, v_i, n_i$ ) i **vanjskih opterećenja** ( $M_v, V_v, N_v$ ) na osnovnom sustavu dobivamo konačne dijagrame unutarnjih sila na statički neodređenom sustavu.

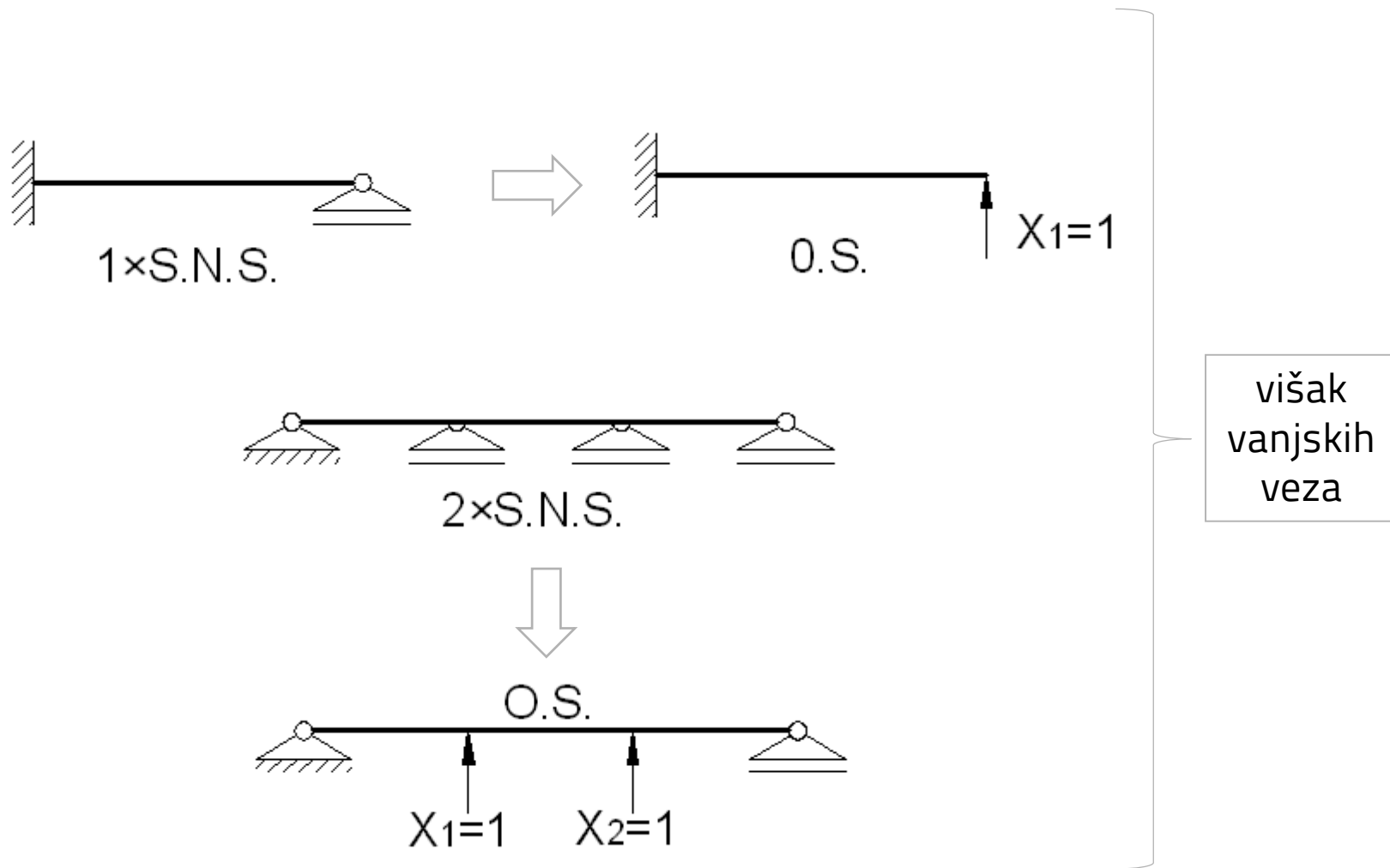
Osnovni sustav treba biti što jednostavniji i što bliskiji po deformacijama zadanom sustavu i uvijek mora biti statički određen sustav!

# Oslobađanje (raskidanje) veza

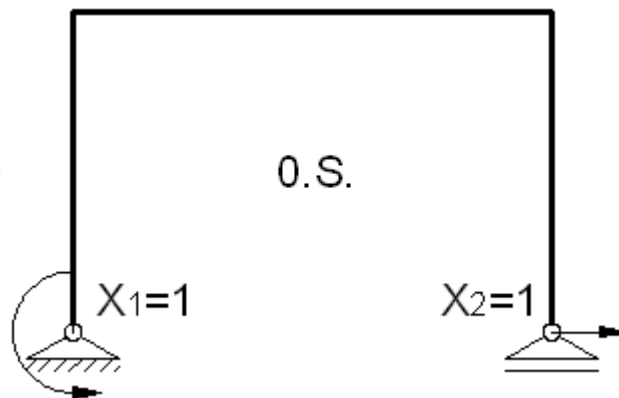
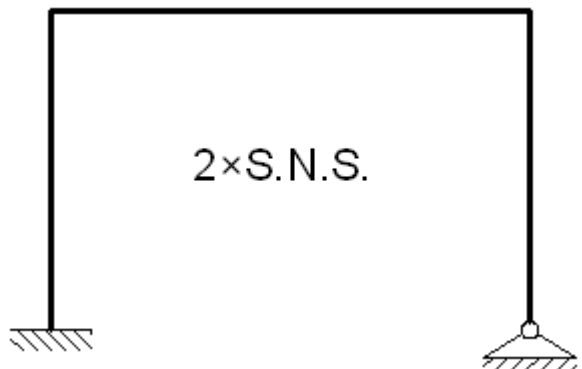
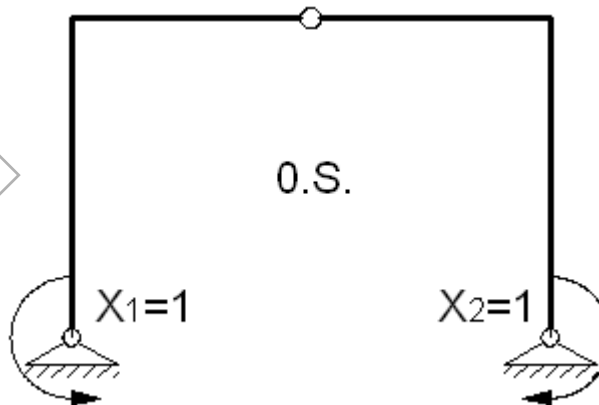
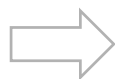
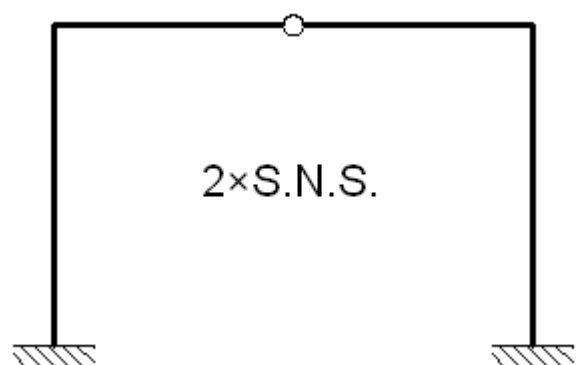




# Određivanje osnovnih sustava

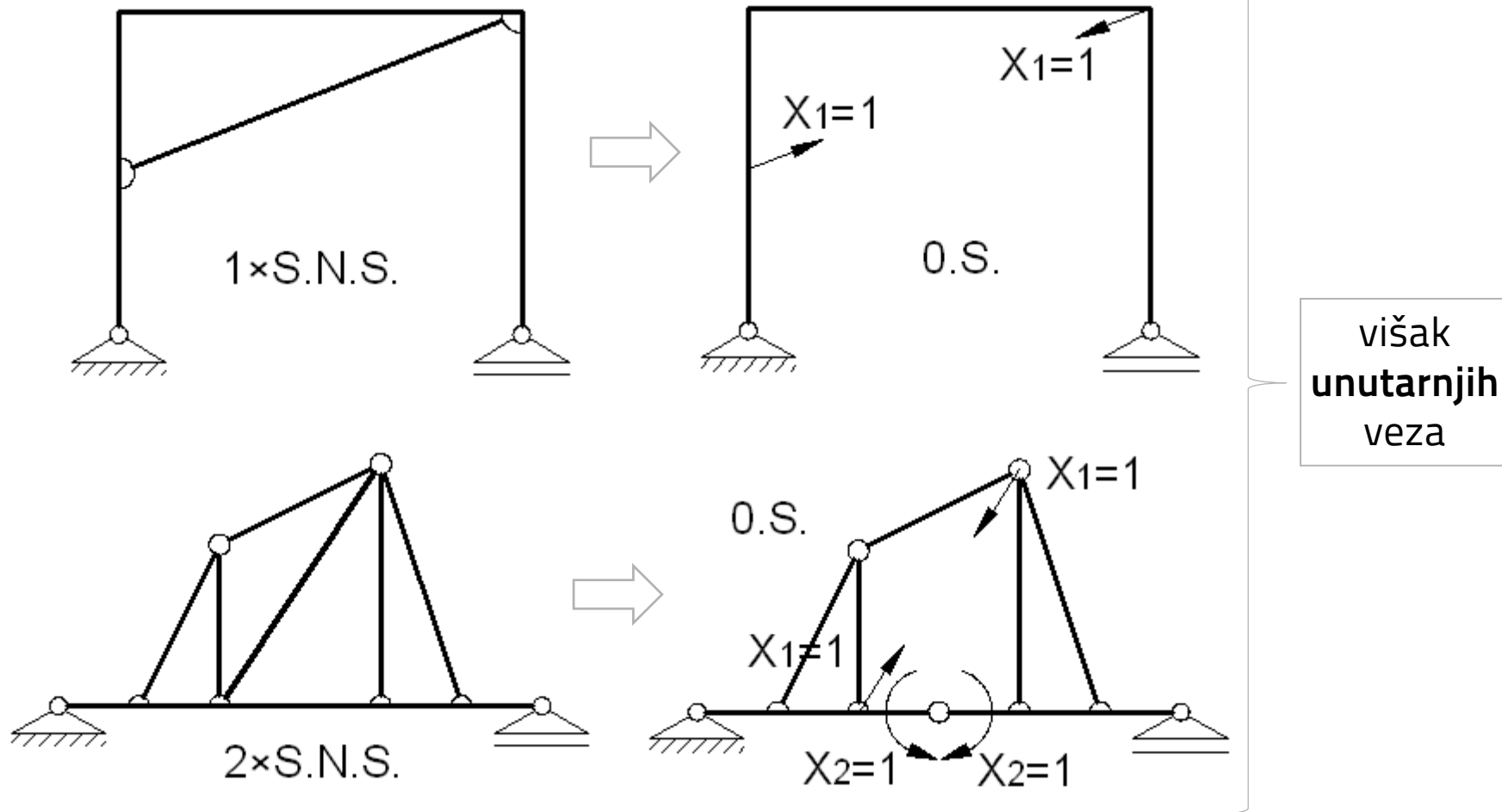


# Određivanje osnovnih sustava

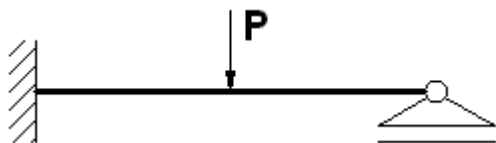


višak  
vanjskih  
veza

## Određivanje osnovnih sustava



## Ideja metode sila



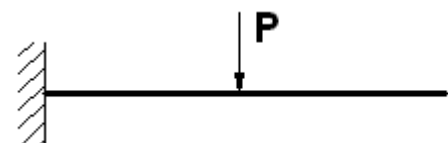
1 × statički neodređeni sustav



osnovni sustav = statički određen sustav



$$\Rightarrow \left. \begin{array}{l} \mathbf{m}_1, \mathbf{v}_1, \mathbf{n}_1 \Rightarrow \delta_{11} \\ \delta_{1v} \end{array} \right\}$$



$$\Rightarrow \mathbf{M}_v, \mathbf{V}_v, \mathbf{N}_v$$

$\delta_{ij}$  – koeficijenti fleksibilnosti

$$\delta_{ij} = \sum \int \left( \frac{m_i \cdot m_j}{E \cdot I} + \frac{t_i \cdot t_j}{G \cdot A} + \frac{n_i \cdot n_j}{E \cdot A} \right) ds$$

# Ideja metode sila

**1 × statički  
neodređen sustav**

$$\delta_{11} ; \delta_{1V}$$

$$\delta_{11} \cdot X_1 + \delta_{1V} = 0$$

$$X_1$$

**2 × statički  
neodređen sustav**

$$\delta_{11} ; \delta_{22} ; \delta_{12} ; \\ \delta_{1V} ; \delta_{2V} \\ \delta_{12} = \delta_{21}$$

$$\delta_{11} \cdot X_1 + \delta_{12} \cdot X_2 + \delta_{1V} = 0 \\ \delta_{21} \cdot X_1 + \delta_{22} \cdot X_2 + \delta_{2V} = 0$$

$$X_1 ; X_2$$

potrebni  
koeficijenti  
fleksibilnosti

jednadžbe  
kontinuiteta

vrijednosti  
otpuštenih  
veza

Broj jednadžbi kontinuiteta jednak je broju **statičke neodređenosti sustava.**

## Ideja metode sila

Unutarnje sile na statički neodređenom sustavu dobivamo principom **superpozicije dijagrama** na osnovnom sustavu:

$$M_k = M_V + \sum m_i \cdot X_i$$

$$V_k = V_V + \sum v_i \cdot X_i$$

$$N_k = N_V + \sum n_i \cdot X_i$$

$$R_k = R_V + \sum r_i \cdot X_i$$

• Superpozicija vrijedi i za izračun **reakcija**

Prethodno izračunate vrijednosti oslobođenih veza

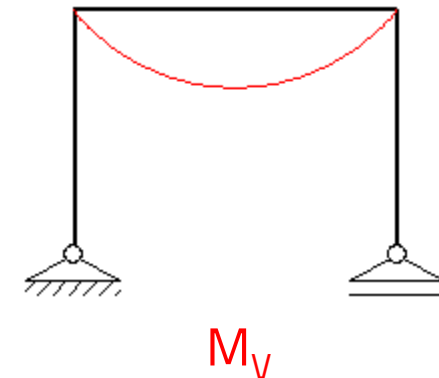
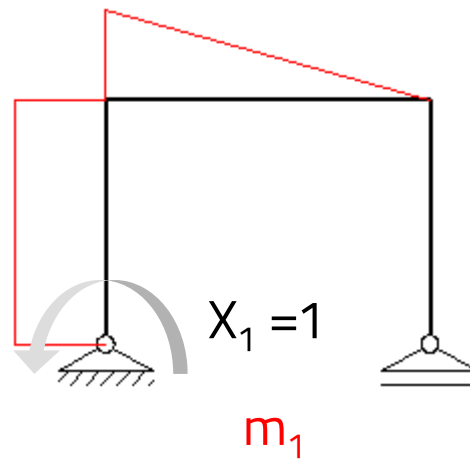
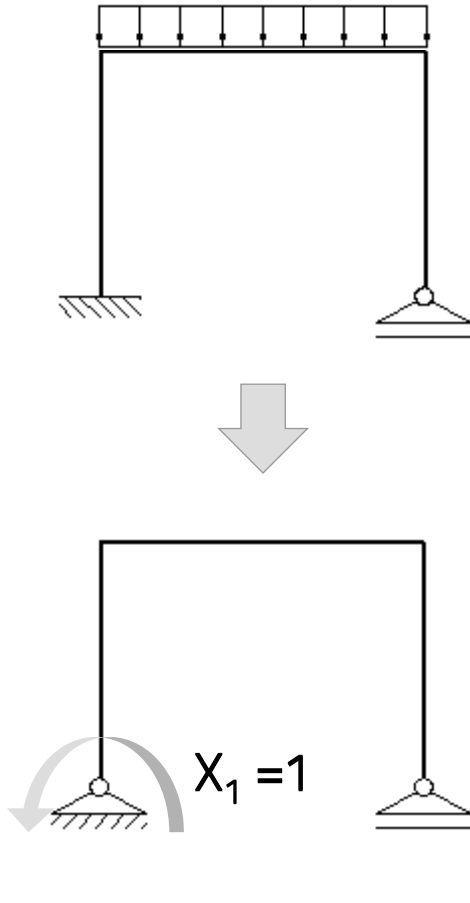
• Unutarnje sile na osnovnom sustavu od jediničnog opterećenja

• Unutarnje sile na osnovnom sustavu od vanjskog opterećenja u karakterističnom presjeku

Unutarnje sile u karakterističnom presjeku na statički neodređenom sustavu

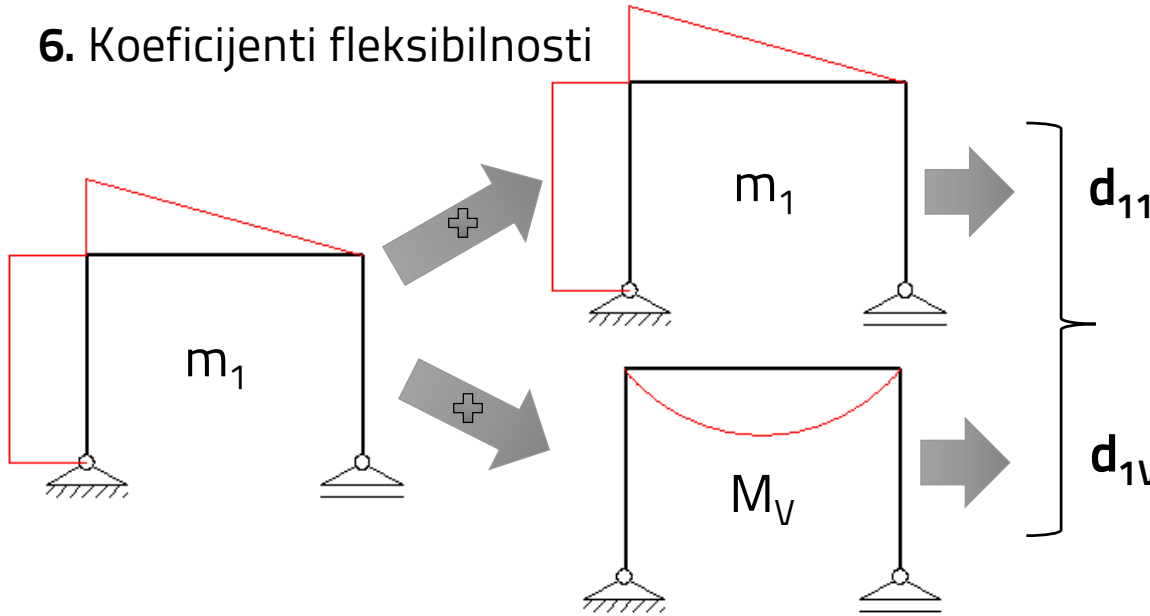
# Metoda sila — Princip rješavanja

1. Stupanj statičke neodređenosti
2. Geometrijske i materijalne karakteristike,  $EI$ ,  $EA$
3. Definiranje osnovnog sustava
4. Stanje  $X_1=1$
5. Stanje za vanjsko opterećenje



# Metoda sila — Princip rješavanja

## 6. Koeficijenti fleksibilnosti

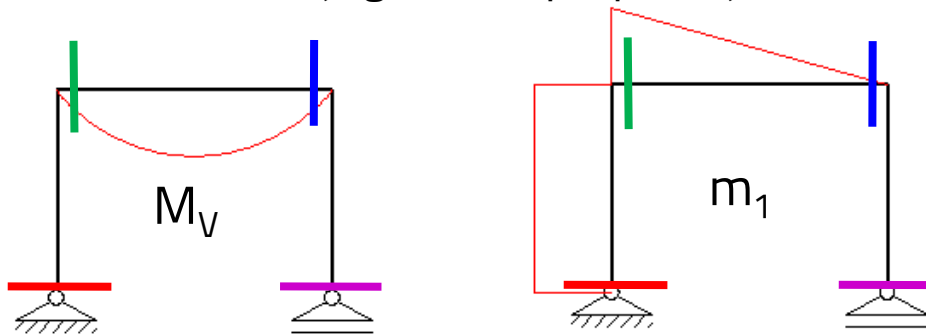


## 7. Jednadžba kontinuiteta

$$\delta_{11} \cdot X_1 + \delta_{1V} = 0$$

$$X_1 = \dots \text{ (kN ili kNm)}$$

## 8. Konačni M dijagram (superpozicija)



$$M = M_V + m_1 \cdot X_1$$

$$M_1 = M_V + m_1 \cdot X_1$$

$$M_2 = M_V + m_1 \cdot X_1$$

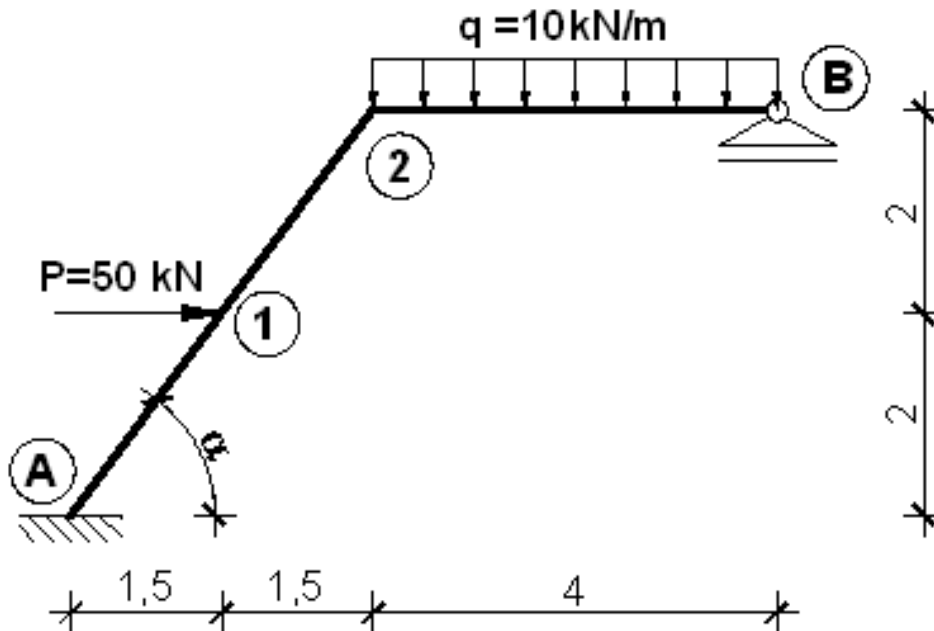
$$M_3 = M_V + m_1 \cdot X_1$$

$$M_4 = M_V + m_1 \cdot X_1$$



## Zadatak #3

Za prikazani sustav odrediti **M, V i N dijagrame** unutarnjih sila. Pri proračunu koeficijenta fleksibilnosti uzeti u obzir **utjecaj momenta savijanja i uzdužnih sila**.



$$b/h = 30/30 \text{ cm}$$

$$E = 3 \cdot 10^7 \text{ kN/m}^2$$

$$\alpha = 53,13^\circ$$

$$\sin \alpha = 0.80$$

$$\cos \alpha = 0.60$$

## 1. Statička neodređenost

$$a) S = 3 \cdot 1 - 4 = -1$$

$$b) S = 2 \cdot 3 - (2 + 1 + 4) = -1 \quad \text{Sustav je jedan put statički neodređen!}$$

## 2. Geometrijske i materijalne karakteristike

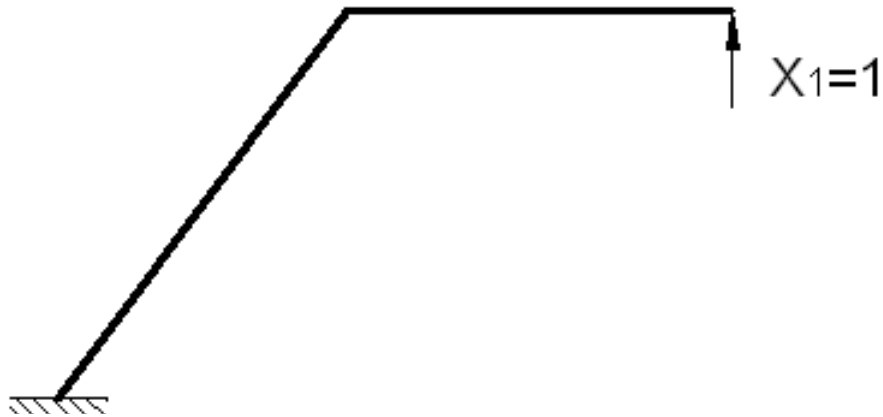
$$E = 3 \cdot 10^7 \text{ kN/m}^2$$

$$b/h = 30/30 \text{ cm}$$

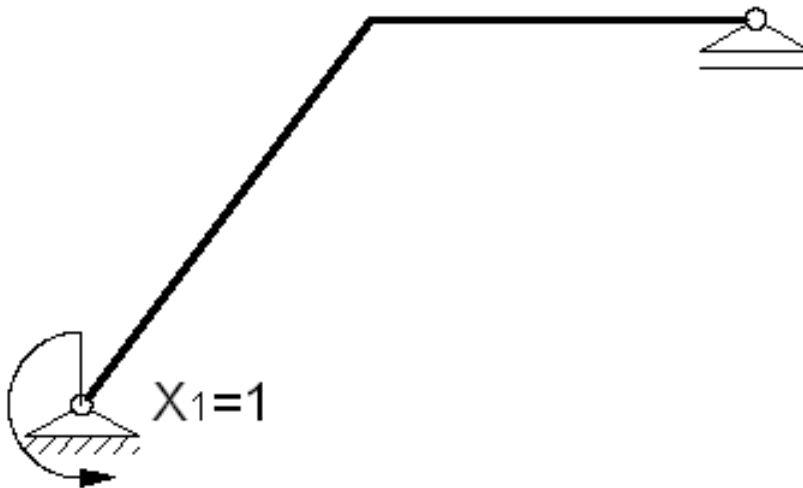
$$I = \frac{b \cdot h^3}{12} = 0.000675 \text{ m}^4 \quad EI = 20250 \text{ kNm}^2$$

$$A = b \cdot h = 0.09 \text{ m}^2 \quad EA = 2700000 \text{ kN}$$

## 4. Osnovni sustav

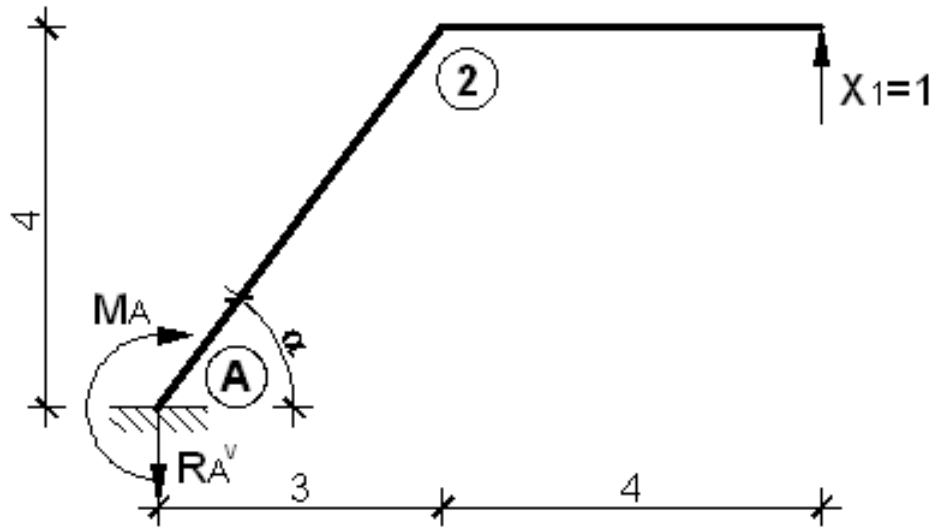


osnovni sustav  
konzola ✓



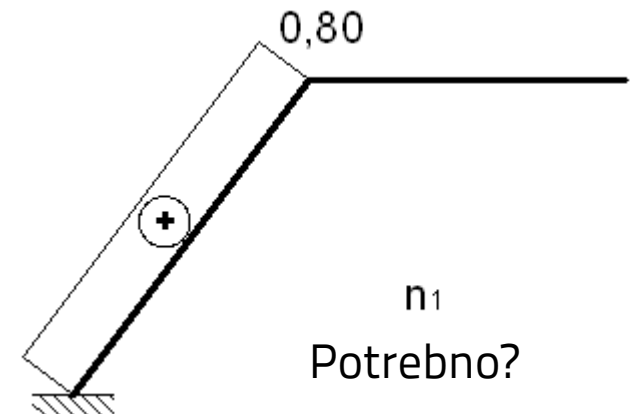
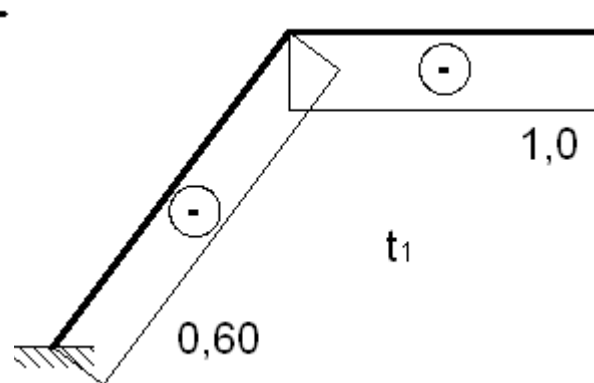
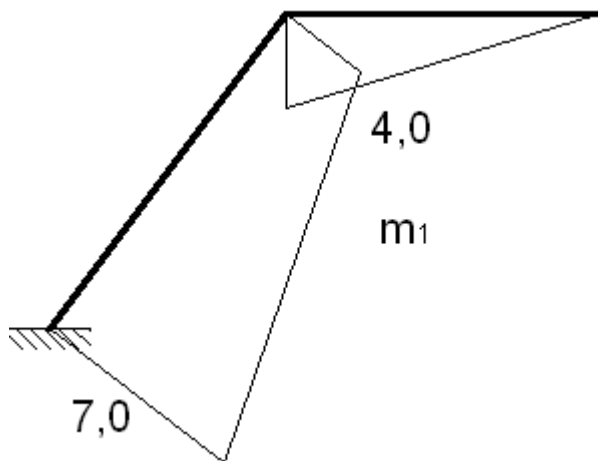
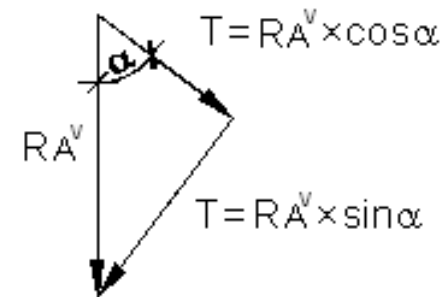
osnovni sustav  
prosta greda

## 5. Stanje $X_1 = 1$

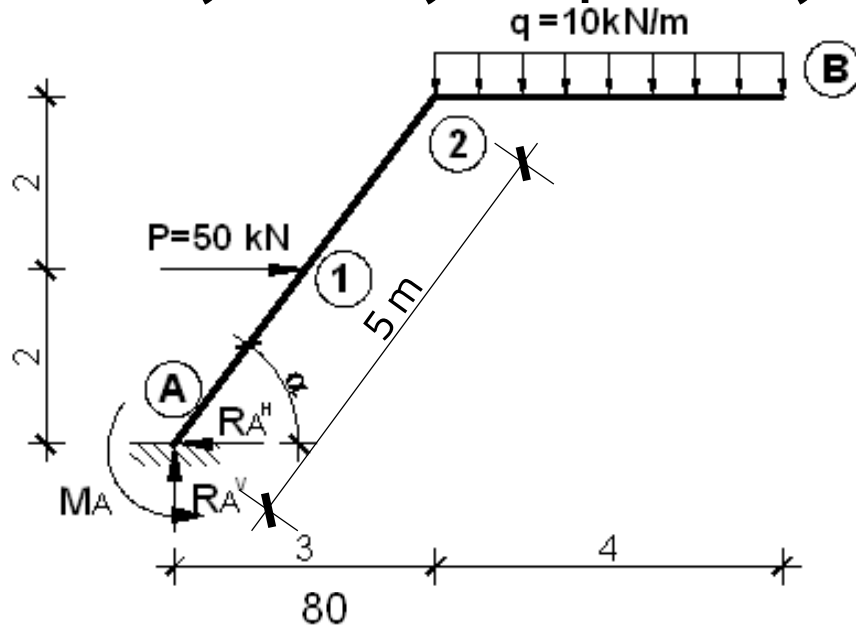


$$\sum M_A = 0 \Rightarrow M_A = 7.0 \text{ kNm}$$

$$\sum F_y = 0 \Rightarrow R_A^v = 1.0 \text{ kN}$$



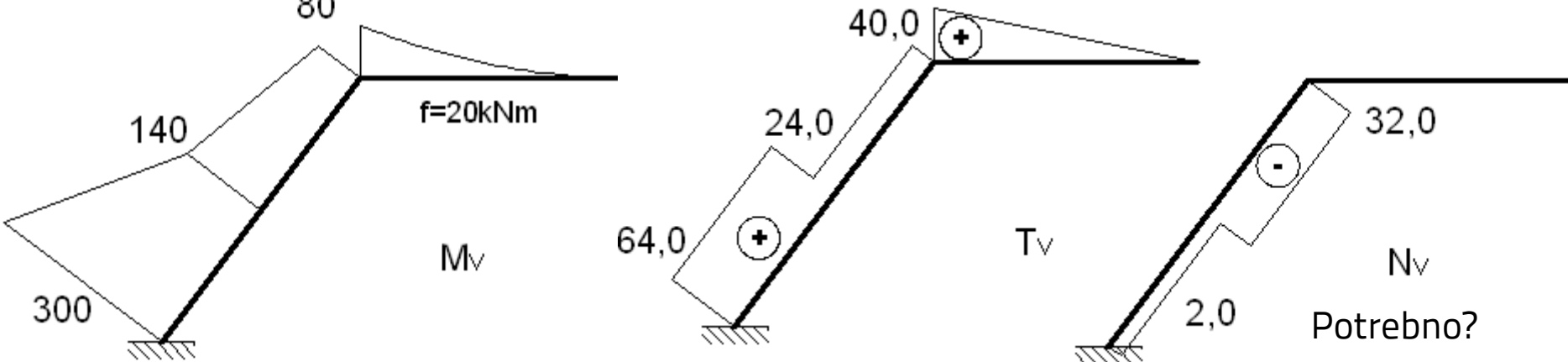
## 6. Stanje za vanjsko opterećenje



$$\sum M_A = 0 \Rightarrow M_A = 300 \text{ kNm}$$

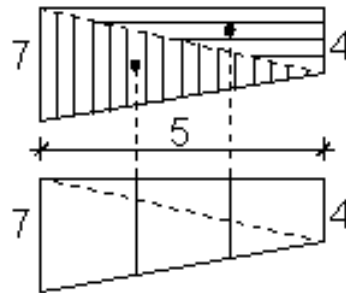
$$\sum F_y = 0 \Rightarrow R_A^V = 40 \text{ kN}$$

$$\sum F_x = 0 \Rightarrow R_A^H = 50 \text{ kN}$$

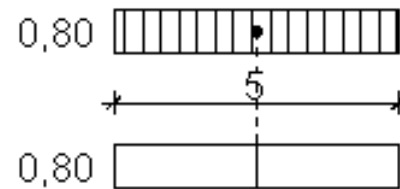
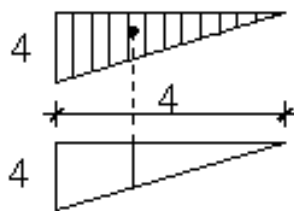


## 7. Koeficijenti fleksibilnosti

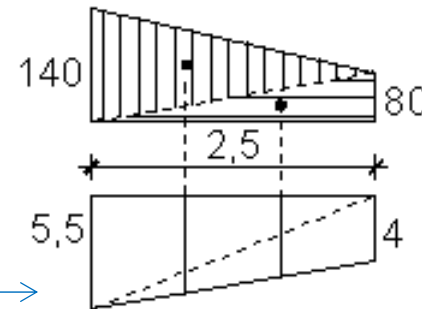
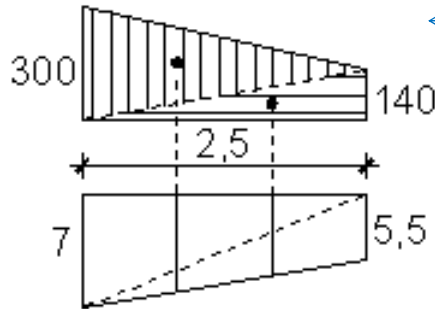
$$\delta_{11} = \frac{1}{EI} \cdot \left[ \frac{4 \cdot 5}{2} \cdot \left( \frac{2}{3} \cdot 4 + \frac{1}{3} \cdot 7 \right) + \frac{7 \cdot 5}{2} \cdot \left( \frac{2}{3} \cdot 7 + \frac{1}{3} \cdot 4 \right) \right] +$$



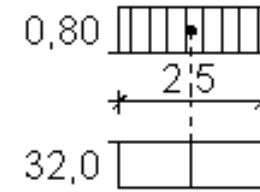
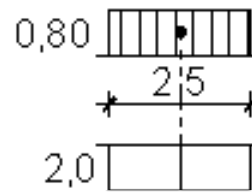
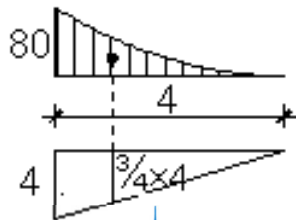
$$+ \frac{1}{EI} \cdot \left[ \frac{4 \cdot 4}{2} \cdot \left( \frac{2}{3} \cdot 4 \right) \right] + \frac{1}{EA} \cdot [0.80 \cdot 5 \cdot 0.80] = 0.008709 \text{ m}$$



$$\delta_{1V} = \frac{1}{EI} \cdot \left[ \frac{300 \cdot 2.5}{2} \cdot \left( -\frac{2}{3} \cdot 7 - \frac{1}{3} \cdot 5.5 \right) + \frac{140 \cdot 2.5}{2} \cdot \left( -\frac{2}{3} \cdot 5.5 - \frac{1}{3} \cdot 7 \right) \right] +$$



$$+ \frac{1}{EI} \cdot \left[ \frac{140 \cdot 2.5}{2} \cdot \left( -\frac{2}{3} \cdot 5.5 - \frac{1}{3} \cdot 4 \right) + \frac{80 \cdot 2.5}{2} \cdot \left( -\frac{2}{3} \cdot 4 - \frac{1}{3} \cdot 5.5 \right) \right] +$$



$$+ \frac{1}{EI} \cdot \left[ \frac{1}{3} \cdot 80 \cdot 4 \cdot \left( -\frac{3}{4} \cdot 4 \right) \right] + \frac{1}{EA} \cdot \left[ 0.80 \cdot 2.5 \cdot (-2) + 0.80 \cdot 2.5 \cdot (-32) \right] = -0.253482 \text{ m}$$

## 8. Jednadžba kontinuiteta

$$\delta_{11} \cdot X_1 + \delta_{1V} = 0$$

$$0.008709 \cdot X_1 - 0.253482 = 0 \Rightarrow X_1 = +29.11 \text{ kN} \uparrow (R_B)$$

Vrijednost reakcije u ležaju B! Dobro pretpostavljen smjer reakcije  $X_1$ !

## 9. Konačni dijagram unutarnjih sila (superpozicija)

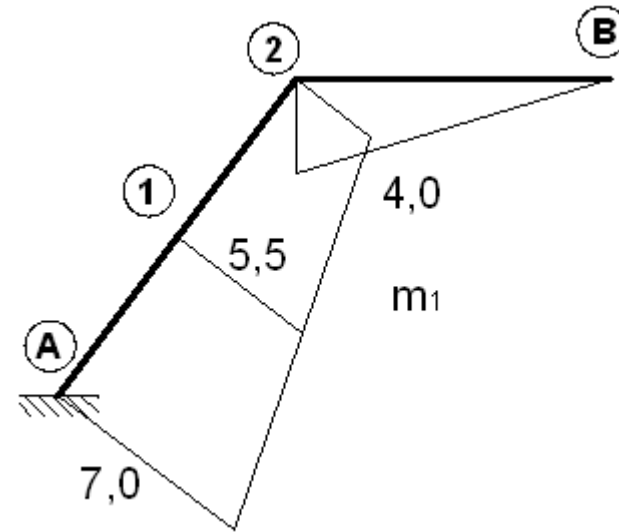
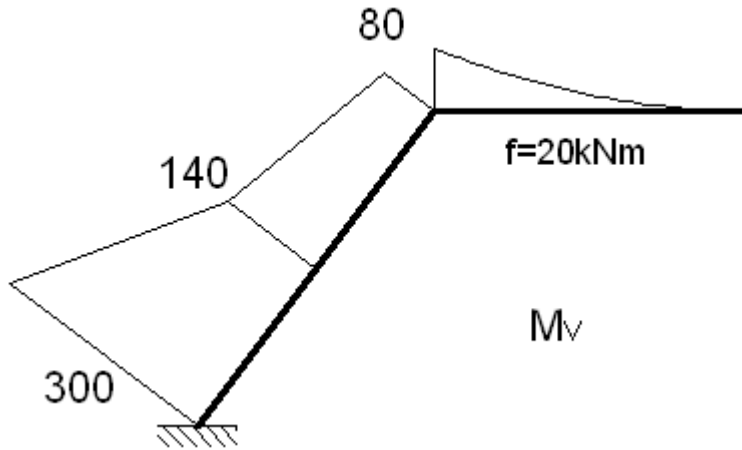
$$M_k = M_V + \sum m_i \cdot X_i$$

$$V_k = V_V + \sum v_i \cdot X_i$$

$$N_k = N_V + \sum n_i \cdot X_i$$



## a) Vrijednosti momenata savijanja za $X_1 = +29.11$ kN



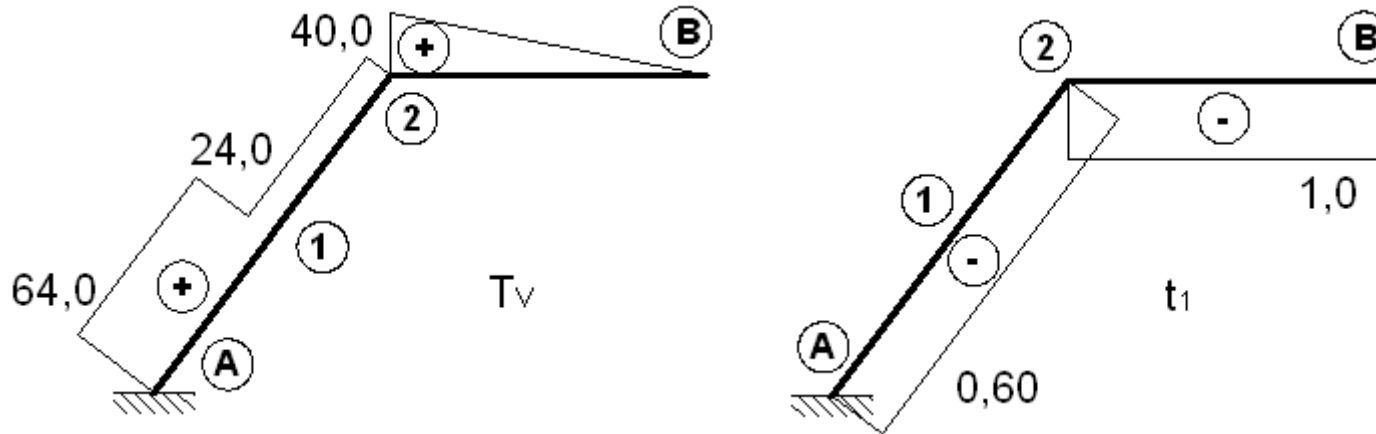
$$M_A = -300 + 7 \cdot (+29.11) = -96.23 \text{ kNm}$$

$$M_1 = -140 + 5.5 \cdot (+29.11) = 20.11 \text{ kNm}$$

$$M_2 = -80 + 4 \cdot (+29.11) = 36.44 \text{ kNm}$$

$$M_B = 0 \text{ kNm}$$

## b) Vrijednosti poprečnih sila za $X_1 = +29.11$ kN



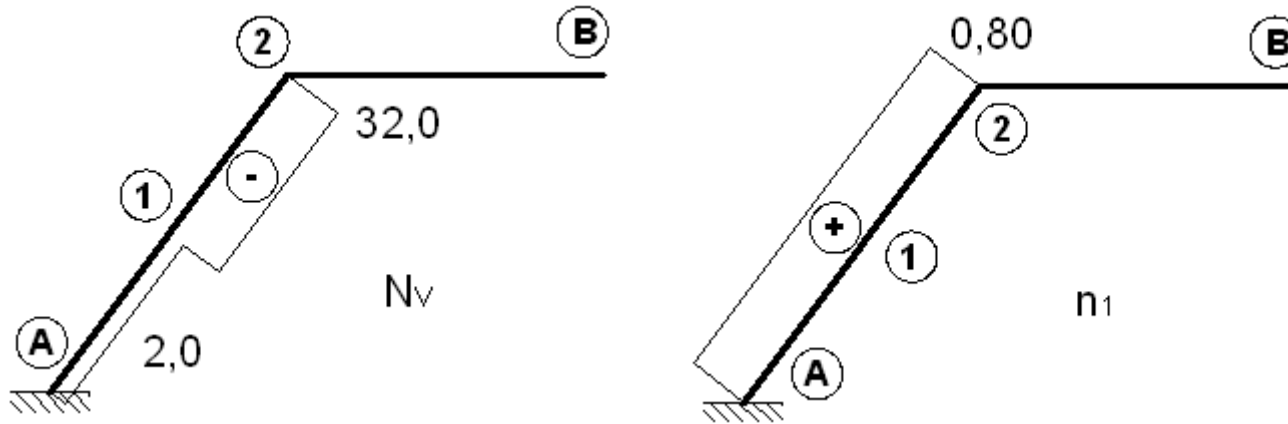
$$V_A = 64 - 0.60 \cdot (+29.11) = 46.53 \text{ kN} = V_1^L$$

$$V_1^D = 24 - 0.60 \cdot (+29.11) = 6.53 \text{ kN} = V_2^L$$

$$V_2^D = 40 - 1 \cdot (+29.11) = 10.89 \text{ kN}$$

$$V_B = 0 - 1 \cdot (+29.11) = -29.11 \text{ kN}$$

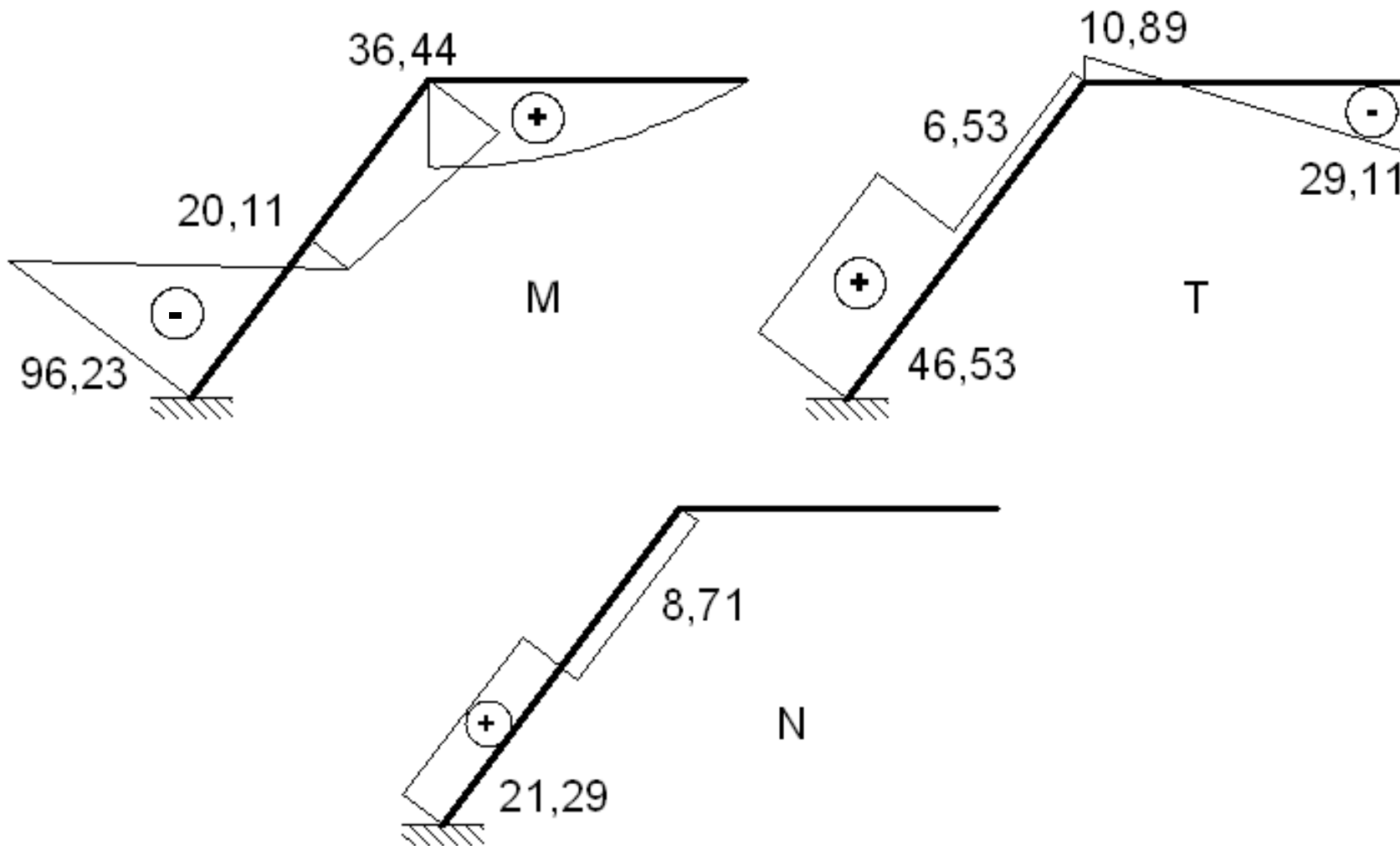
## c) Vrijednosti uzdužnih sila za $X_1 = +29.11$ kN



$$N_A = -2 + 0.80 \cdot (+29.11) = 21.29 \text{ kN} = N_1^L$$

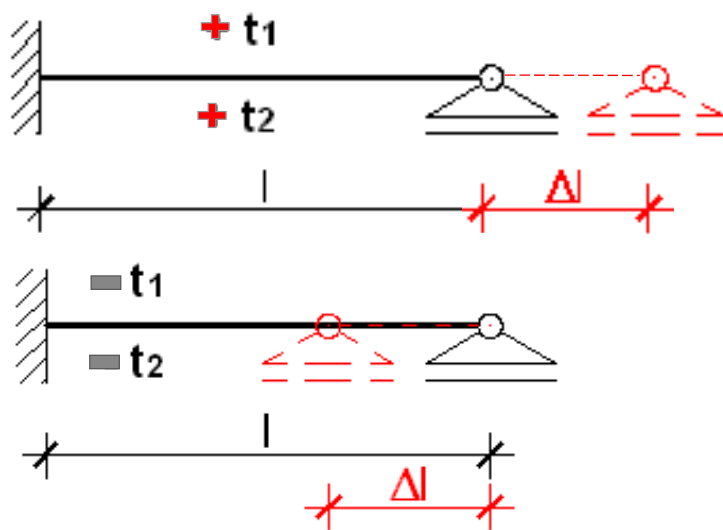
$$N_1^D = -32 + 0.80 \cdot (+29.11) = -8.71 \text{ kN} = N_2^L$$

## 9. Konačni dijagram unutarnjih sila (superpozicija)



# 1. Temperaturni utjecaji

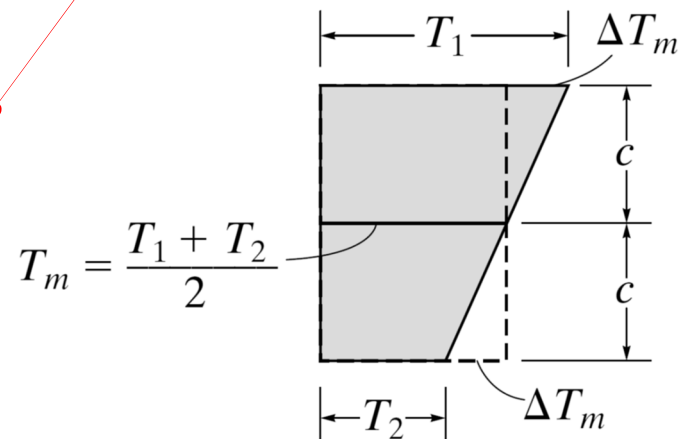
**Jednolika temperatura** — uzrokuje promjenu duljine štapa za  $\Delta l$ , uzima se kod uzdužne sile **N**



**Produljenje!**

$$t_s = T_M = \frac{t_1 + t_2}{2}$$

**Skraćenje!**



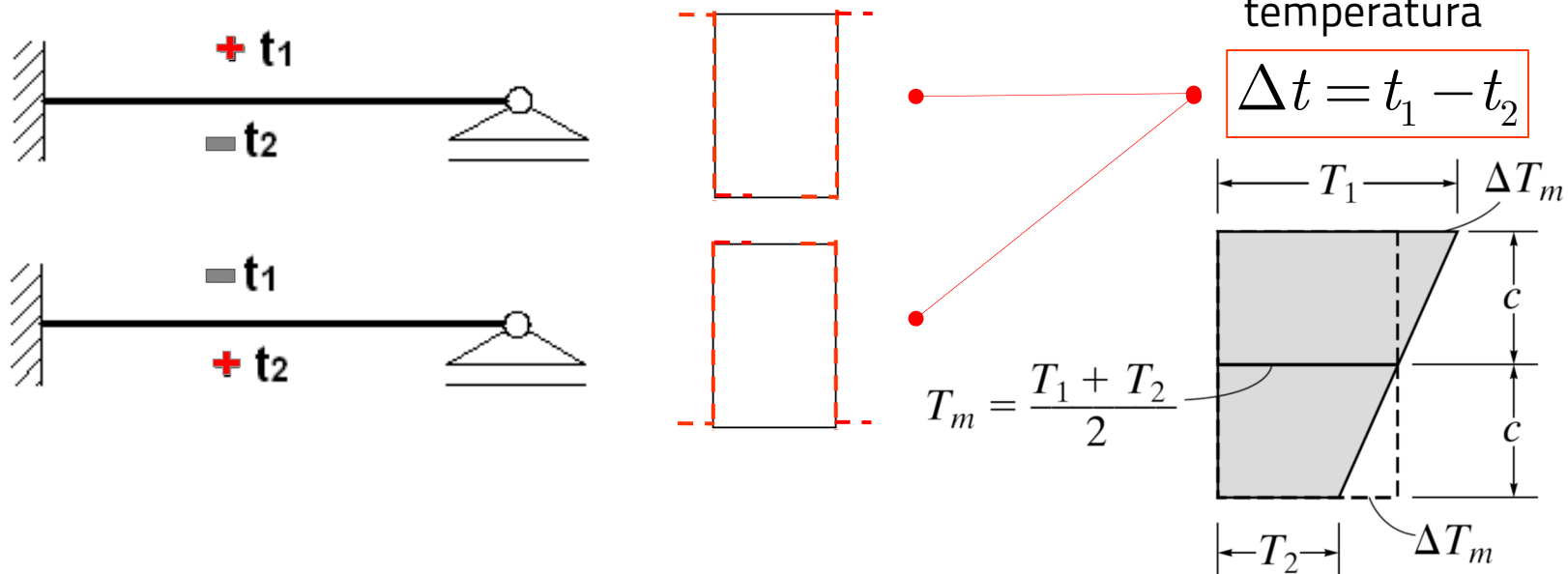
Deformacija uslijed djelovanja jednolike temperature:

$\alpha_T$  – temperaturni koeficijent  $\alpha_T \approx \frac{1 \cdot 10^5}{1^\circ C}$

$$\varepsilon = \alpha_t \cdot t_s$$

# 1. Temperaturni utjecaji

**Nejednolika temperatura** — uzrokuje promjenu zakrivljenosti štapa  $\chi$ , uzima se kod momenata savijanja **M**



Deformacija uslijed djelovanja nejednolike temperature:  
**h** – visina poprečnog presjeka

$$\chi = \alpha_T \cdot \frac{\Delta t}{h}$$

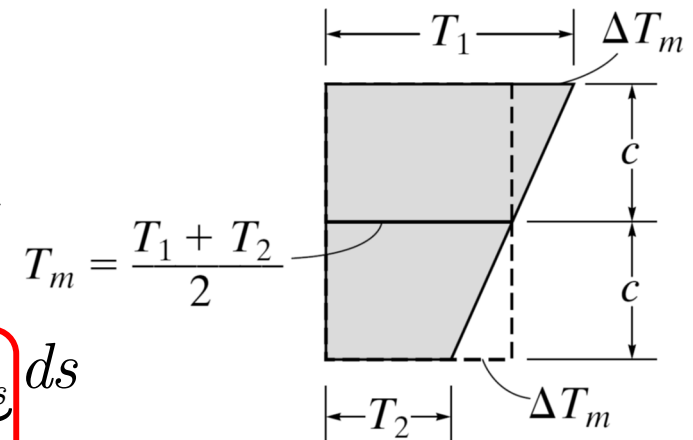
## Temperaturni utjecaji

Temperatura se u proračunu uzima pomoću **konstantnih dijagrama  $\varepsilon$  (jednolika) i  $\chi$  (nejednolika)**, koji se nalaze **na mjestima** na kojima djeluje temperatura i **predznaka** koji odgovaraju predznacima srednje, odnosno razlike temperatura.

Kako temperatura djeluje kao **vanjsko opterećenje** uzima se obzir samo pri proračunima **koeficijenata fleksibilnosti  $\delta_{iv}$** .

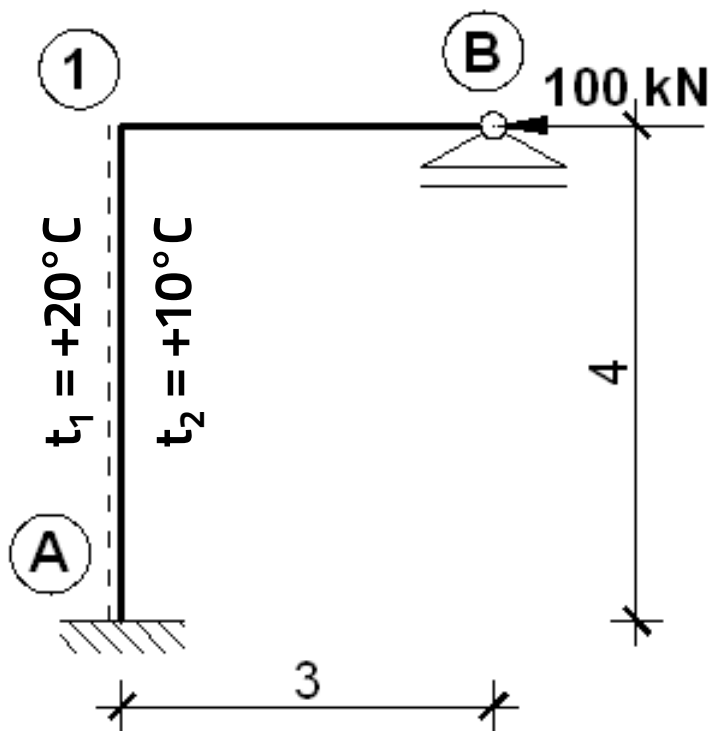
$$\delta_{iv} = \sum \int \frac{m_i \cdot M_v}{E \cdot I} ds + \sum \int \frac{n_i \cdot N_v}{E \cdot A} ds +$$

$$+ \sum \int m_i \cdot \underbrace{\frac{\alpha_T \cdot \Delta t}{h}}_{\chi} ds + \sum \int n_i \cdot \underbrace{\alpha_T \cdot t_s}_{\varepsilon} ds$$



## Zadatak #4

Za prikazani sustav odrediti **M**, **V** i **N** dijagrame unutarnjih sila. Pri proračunu koeficijenta fleksibilnosti uzeti u obzir **utjecaj momenata savijanja i uzdužnih sila**.



$$b/h = 30/40 \text{ cm}$$

$$E = 3 \cdot 10^7 \text{ kN/m}^2$$

$$\alpha_t = 1 \cdot 10^{-5} \text{ C}^{-1}$$

$$\frac{+t_1}{+t_2} \rightarrow t_s = \frac{t_1 + t_2}{2}$$



## 1. Statička neodređenost

$S = -1$       Sustav je jedan put statički neodređen.

## 2. Geometrijske i materijalne karakteristike

$$E = 3 \cdot 10^7 \text{ kN/m}^2$$

$$b/h = 30/40 \text{ cm}$$

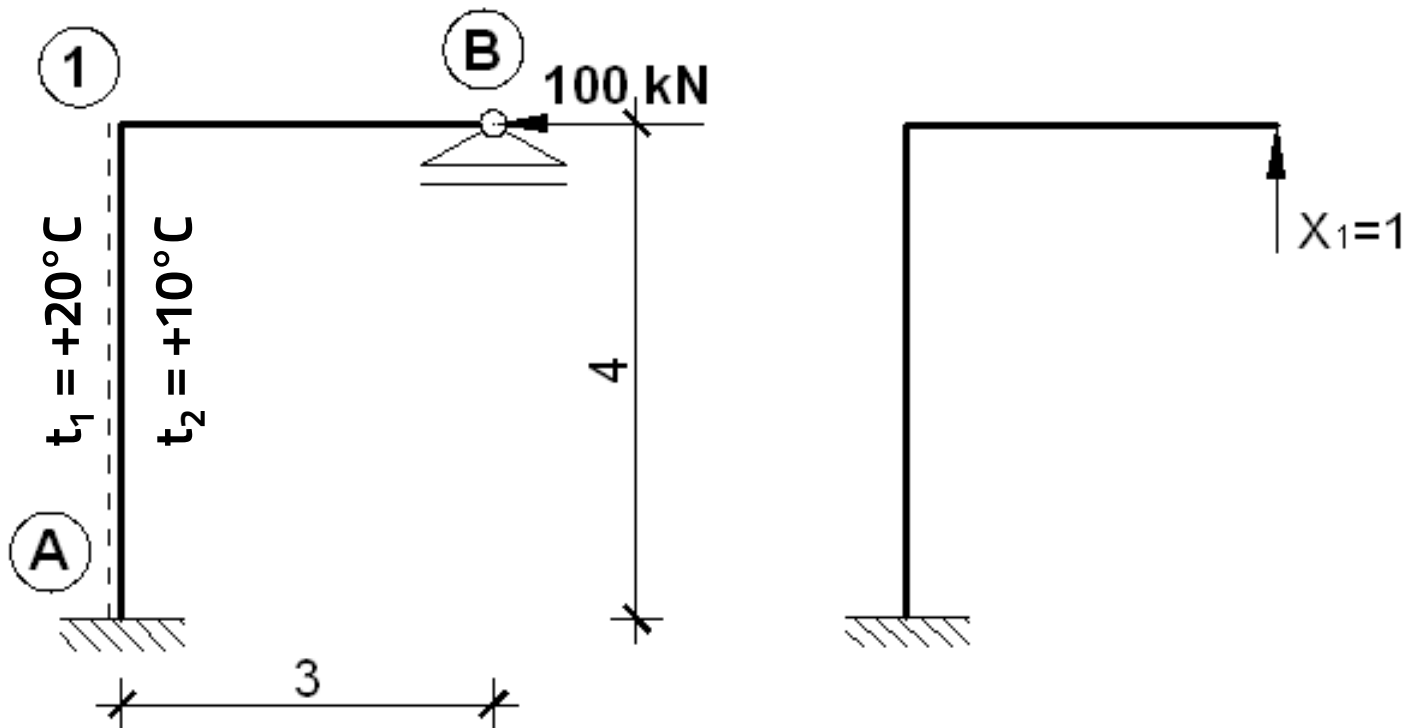
$$I = \frac{b \cdot h^3}{12} = 0.0016 \text{ m}^4$$

$$EI = 48\,000 \text{ kNm}^2$$

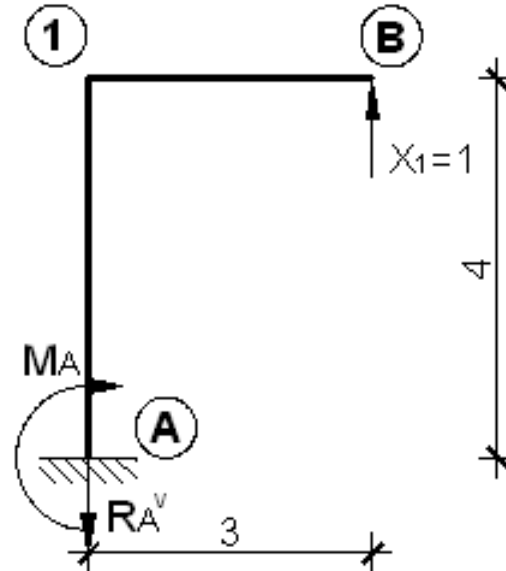
$$A = b \cdot h = 0.12 \text{ m}^2$$

$$EA = 3\,600\,000 \text{ kN}$$

### 3. Osnovni sustav

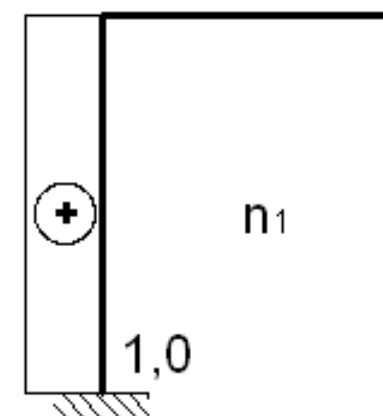
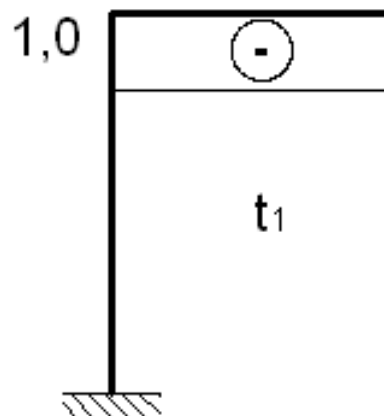
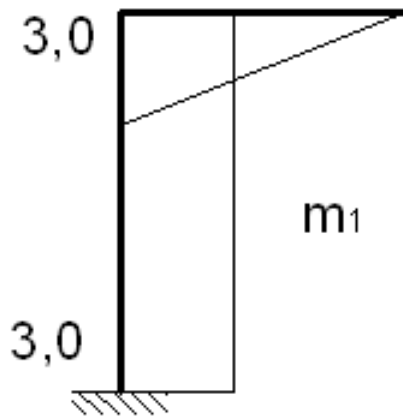


## 4. Stanje $X_1 = 1$ kN

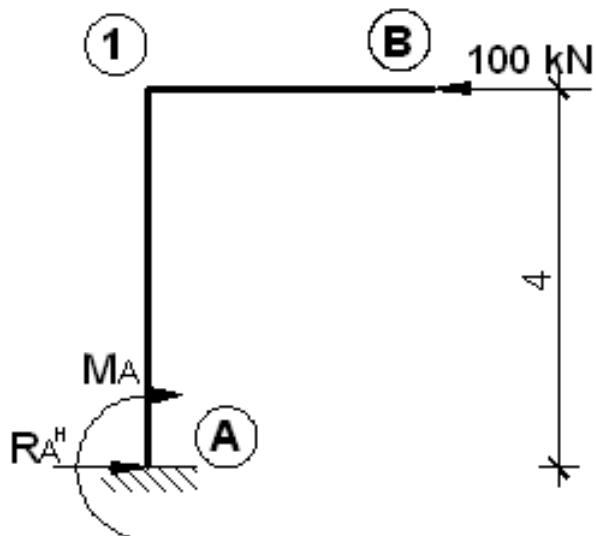


$$\sum M_A = 0 \Rightarrow M_A = 3.0 \text{ kNm}$$

$$\sum F_y = 0 \Rightarrow R_A^V = 1.0 \text{ kN}$$



## 5. Stanje za stvarno vanjsko opterećenje

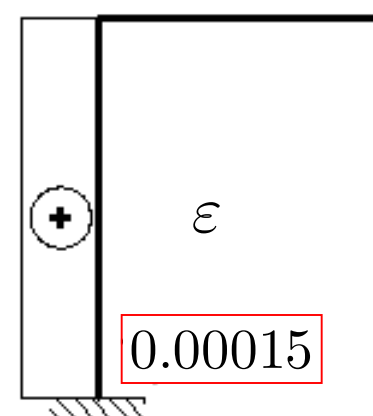
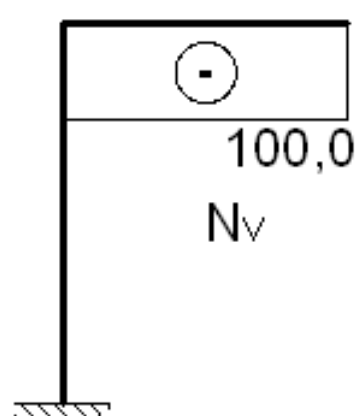
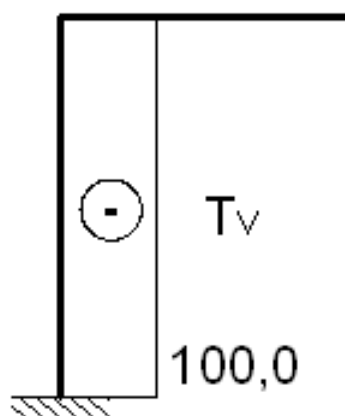
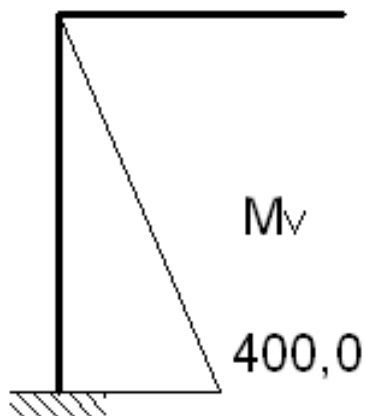


$$\sum M_A = 0 \Rightarrow M_A = 400 \text{ kNm}$$

$$\sum F_x = 0 \Rightarrow R_A^H = 100 \text{ kN}$$

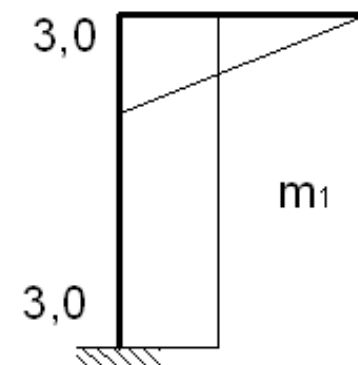
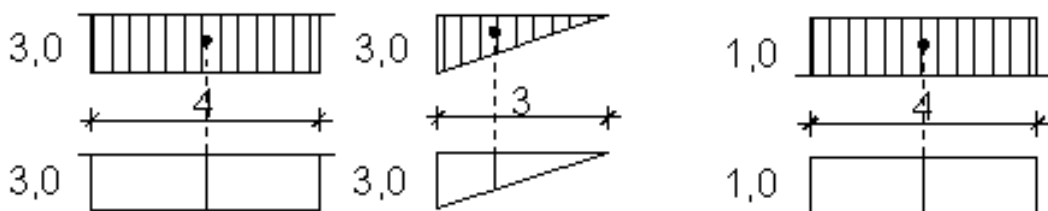
$$t_s = \frac{10 + 20}{2} = +15^\circ\text{C}$$

$$\varepsilon = \alpha_t \cdot t_s = 0.00015$$

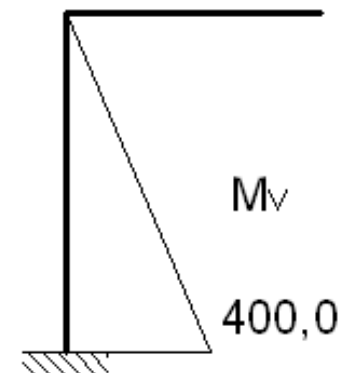
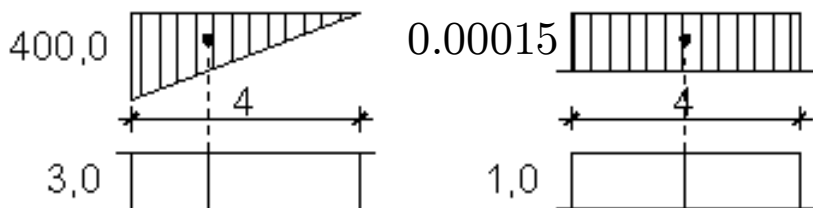


## 6. Koeficijenti fleksibilnosti

$$\delta_{11} = \frac{1}{EI} \cdot \left[ 3 \cdot 4 \cdot (3) + \frac{3 \cdot 3}{2} \cdot \left( \frac{2}{3} \cdot 3 \right) \right] + \frac{1}{EA} \cdot [1 \cdot 4 \cdot (1)] = 0.000939 \text{ m} \uparrow$$



$$\delta_{1V} = \frac{1}{EI} \cdot \left[ \frac{400 \cdot 4}{2} \cdot (3) \right] + \underbrace{\left[ 1 \cdot 10^{-5} \cdot 15 \cdot 4 \cdot 1 \right]}_{\text{utjecaj jednolike temperature}} = 0.05 + 0.0006 = 0.0506 \text{ m} \uparrow$$



## 7. Jednadžba kontinuiteta

$$\delta_{11} = 0.000\,939 \text{ m} = 0.94 \text{ mm} \uparrow \left( \Delta_B^V \text{ za } \underline{\text{jedinično}} \text{ opterećenje} \right)$$

$$\delta_{1V} = 0.0506 \text{ m} = 50.60 \text{ mm} \uparrow \left( \Delta_B^V \text{ za } \underline{\text{stvarno}} \text{ opterećenje} \right)$$

$$\delta_{11} \cdot X_1 + \delta_{1V} = 0$$

$$0.000\,939 \cdot X_1 + 0.0506 = 0 \Rightarrow X_1 = -53.91 \text{ kN} \downarrow (R_B)$$

vrijednost reakcije u **osloncu B**

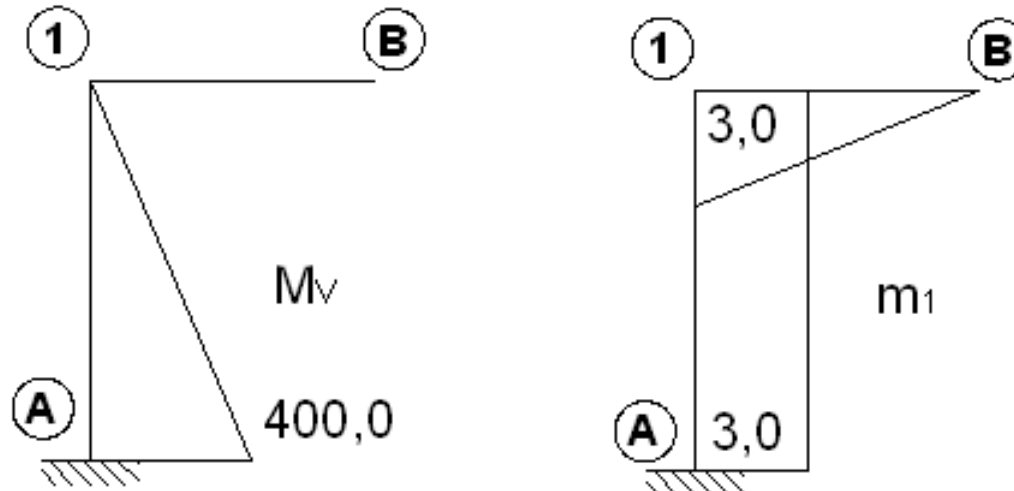
## 8. Konačni dijagrami unutarnjih sila (superpozicija)

$$M_k = M_V + \sum m_i \cdot X_i$$

$$V_k = V_V + \sum v_i \cdot X_i$$

$$N_k = N_V + \sum n_i \cdot X_i$$

## a) Vrijednosti momenata savijanja za $X_1 = -53.91$ kN

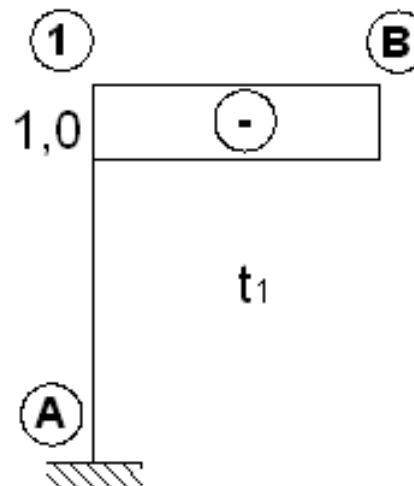
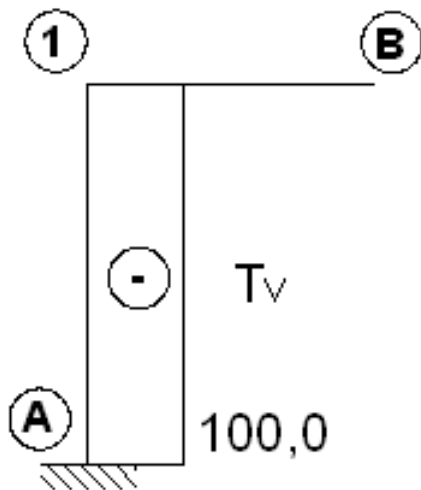


$$M_A = 400 + 3 \cdot (-53.91) = 238.27 \text{ kNm}$$

$$M_1 = 0 + 3 \cdot (-53.91) = -161.73 \text{ kNm}$$

$$M_B = 0 \text{ kNm}$$

## b) Vrijednosti poprečnih sila za $X_1 = -53.91$ kN

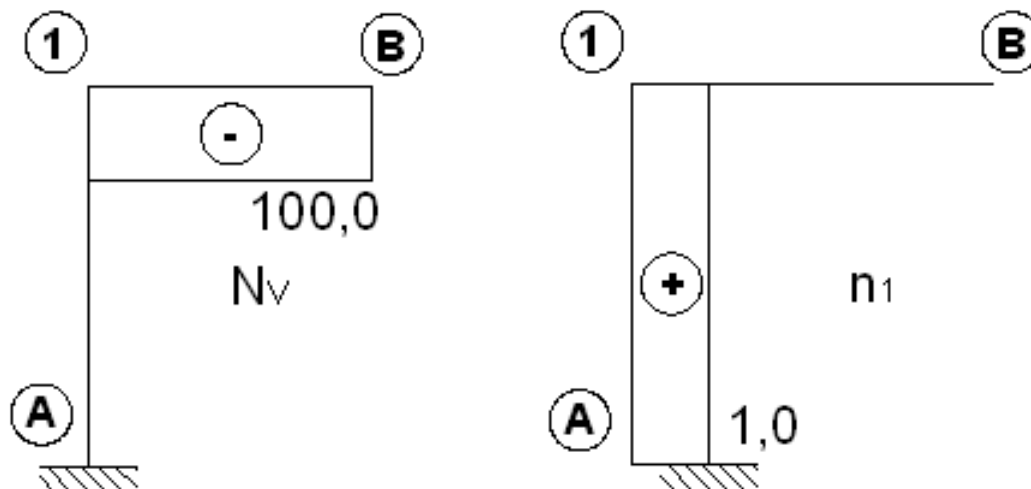


$$V_A = -100 + 0 \cdot (-53.91) = -100 \text{ kN} = V_1^{DOLJE}$$

$$V_1^{DESNO} = 0 - 1.0 \cdot (-53.91) = 53.91 \text{ kN} = V_B$$



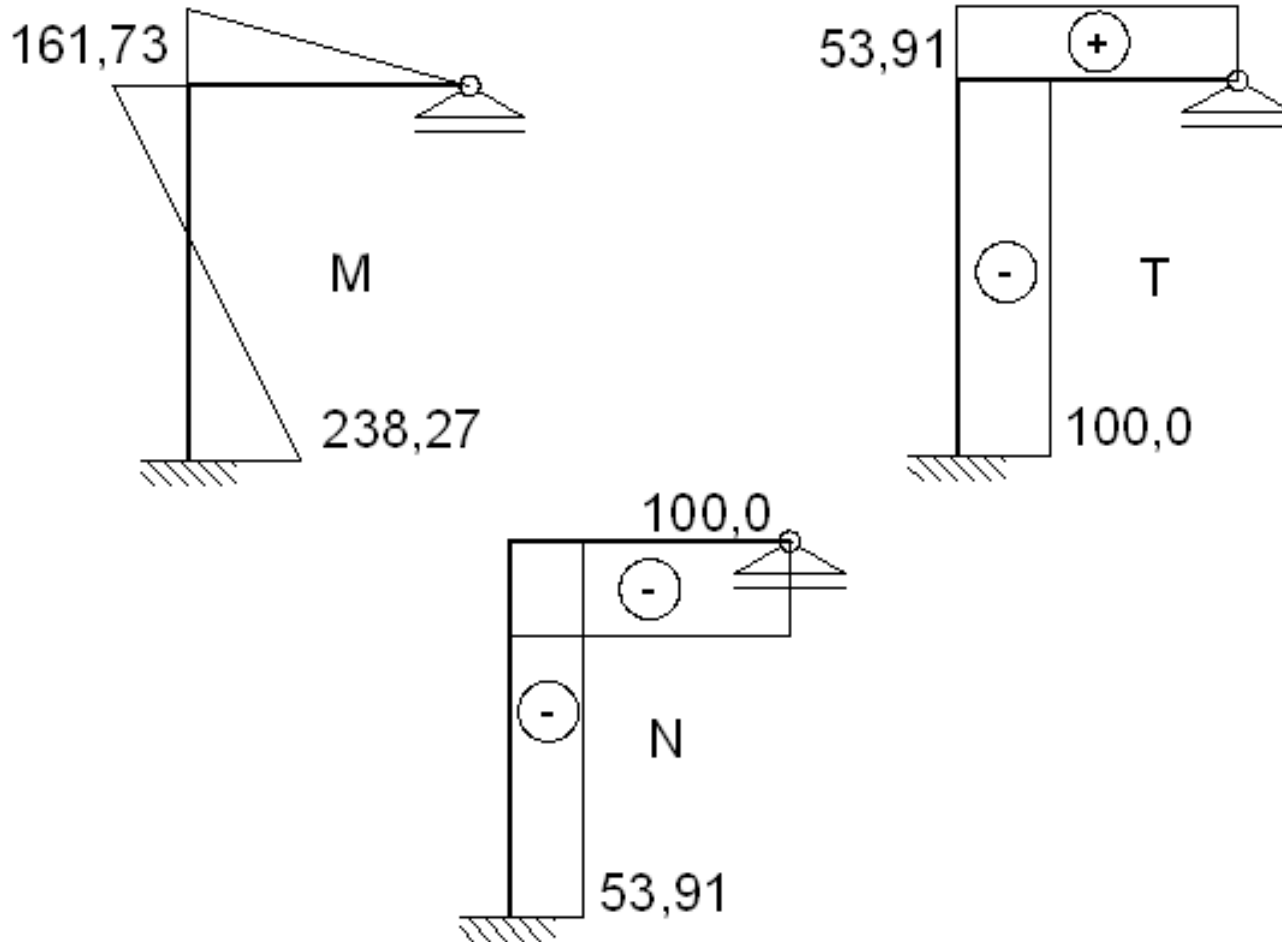
## c) Vrijednosti uzdužnih sila za $X_1 = -53.91 \text{ kN}$



$$N_A = 0 + 1 \cdot (-53.91) = -53.91 \text{ kN} = N_1^{DOLJE}$$

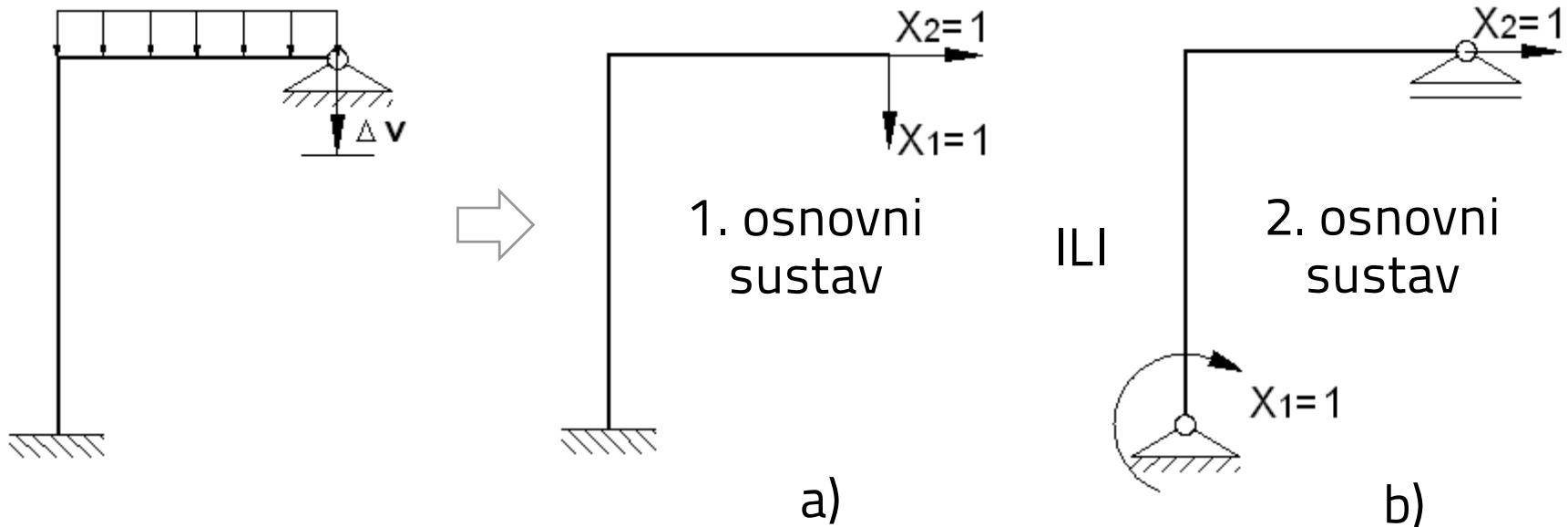
$$N_1^{DESNO} = -100.0 + 0 \cdot (-53.91) = -100 \text{ kN} = N_B$$

## 8. Konačni dijagrami unutarnjih sila (superpozicija)



## 2. Utjecaji prisilnih pomaka (rotacije i translacije čvorova)

Problem ćemo promatrati na primjeru dva puta statički neodređenog sustava koji ima zadani prisilni pomak  $\Delta v$ .

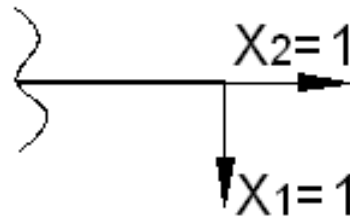
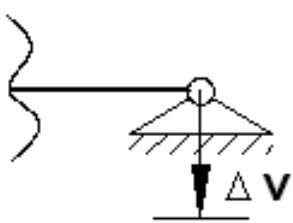


**a) Oslobođena veza  $X_1$  JE na mjestu i u pravcu prisilnog pomaka i tada jednadžbe kontinuiteta (**diskontinuiteta**) glase:**

$$\delta_{11} \cdot X_1 + \delta_{12} \cdot X_2 + \delta_{1V} = \Delta_V \text{ ili } \Delta_H \text{ ili } \Delta_\theta$$

$$\delta_{21} \cdot X_1 + \delta_{22} \cdot X_2 + \delta_{2V} = 0$$

Ukoliko je  $X_1$  oslobođena veza onda je 1. jednadžba — **jednadžba diskontinuiteta!**



$$\dots = + \Delta_V$$

$\Delta v$  i  $X_1$  imaju isti smjer

**b) Oslobođena veza  $X_1$  NIJE na mjestu  $i$  u pravcu prisilnog pomaka  $i$  tada jednadžbe kontinuiteta (!) glase:**

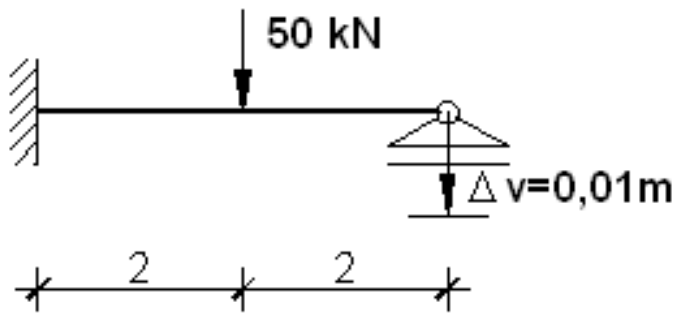
$$\delta_{11} \cdot X_1 + \delta_{12} \cdot X_2 + \delta_{1V} + \delta_{1V}(\Delta) = 0$$
$$\delta_{21} \cdot X_1 + \delta_{22} \cdot X_2 + \delta_{2V} + \delta_{2V}(\Delta) = 0$$



pomak na mjestu  $i$  pravcu veze  $X_i$   
uzrokovan pomakom  $\Delta$  na **mehanizmu**  
(određuje se iz **plana pomaka**)

## Zadatak #5

Za prikazani sustav odrediti **M dijagram** za jednostrano upetu gredu koja je opterećena **prisilnim pomakom**  $\Delta_V$ .



$$b/h = 30/40 \text{ cm}$$

$$E = 3 \cdot 10^7 \text{ kN/m}^2$$

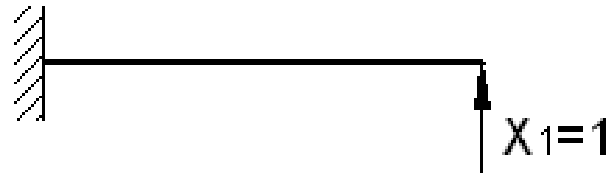
### 1. Statička neodređenost

$$S = -1 \quad \text{Sustav je jedan put statički neodređen.}$$

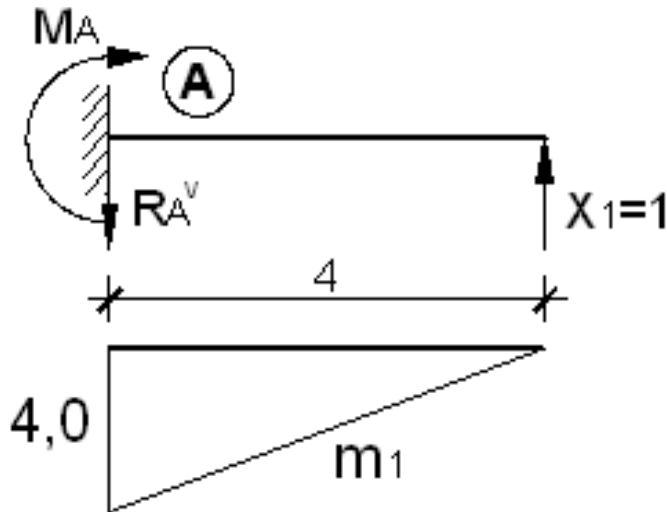
### 2. Geometrijske i materijalne karakteristike

$$EI = 48\,000 \text{ kNm}^2$$

3. a) Osnovni sustav se odabire tako da je oslobođena veza  $X_1$  je na mjestu i u pravcu prisilnog pomaka!



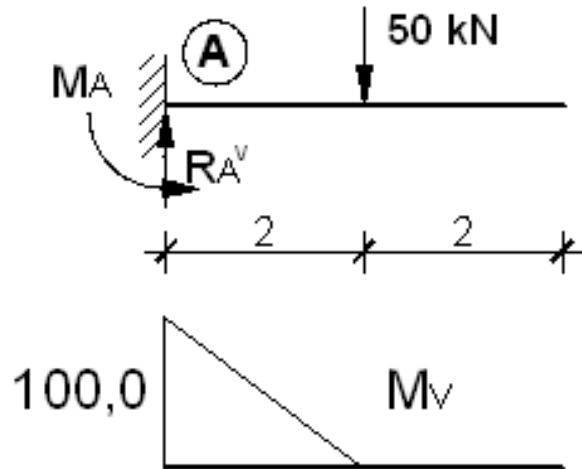
4. a) Stanje  $X_1 = 1$



$$\sum M_A = 0 \Rightarrow M_A = 4.0 \text{ kNm}$$

$$\sum F_y = 0 \Rightarrow R_A^V = 1.0 \text{ kN}$$

## 5. a) Stanje za vanjsko opterećenje



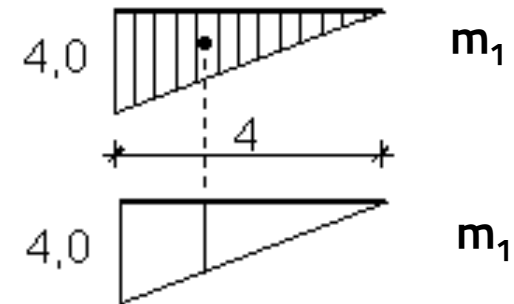
$$\sum M_A = 0 \Rightarrow M_A = 100 \text{ kNm}$$

$$\sum F_y = 0 \Rightarrow R_A^V = 50 \text{ kN}$$

## 6. a) Koeficijenti fleksibilnosti

$$\delta_{11} = \frac{1}{EI} \cdot \left[ \frac{4 \cdot 4}{2} \cdot \left( \frac{2}{3} \cdot 4 \right) \right] = 0.000444 \text{ m}$$

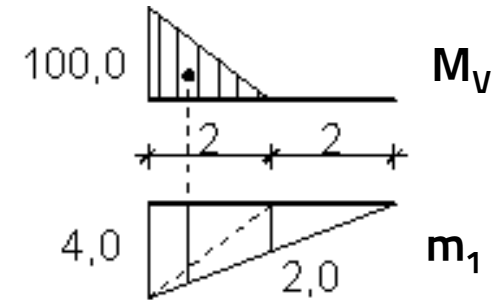
$$\delta_{11} = 0.44 \text{ mm} \uparrow \left( \Delta_B^V \text{ za } \underline{\text{jedinično}} \text{ opterećenje} \right)$$





$$\delta_{1V} = \frac{1}{EI} \cdot \left[ \frac{100 \cdot 2}{2} \cdot \left( -\frac{2}{3} \cdot 4 - \frac{1}{3} \cdot 2 \right) \right] = -0.006944 \text{ m}$$

$$\delta_{1V} = -6.94 \text{ mm} \downarrow \left( \Delta_B^V \text{ za stvarno opterećenje} \right)$$

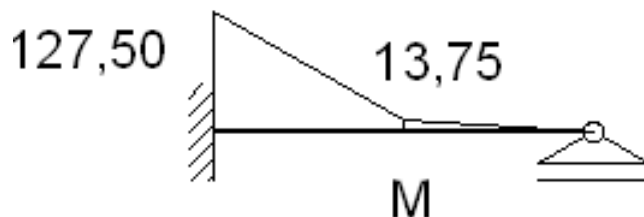


## 7. a) Jednadžba diskontinuiteta

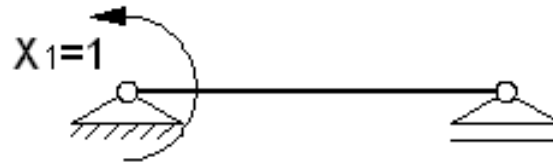
$$\delta_{11} \cdot X_1 + \delta_{1V} = -\Delta v$$

$$21.33 \cdot X_1 - 333.33 = -0.01 \Rightarrow X_1 = -6.875 \text{ kN} \downarrow (R_B)$$

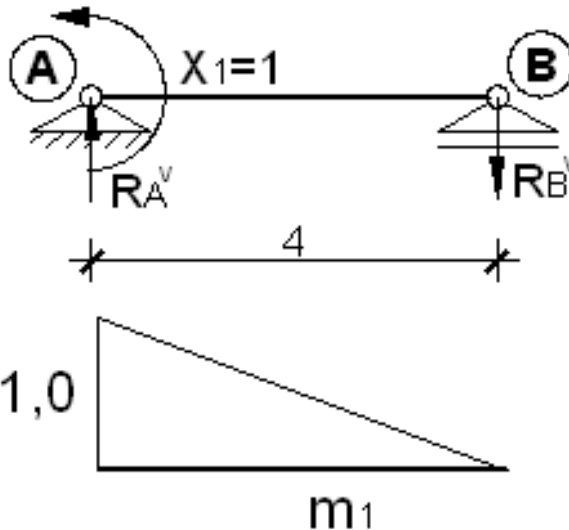
## 8. a) Konačni M dijagram



3. b) Osnovni sustav se odabire tako da je oslobođena veza  $X_1$  NIJE na mjestu i u pravcu prisilnog pomaka!



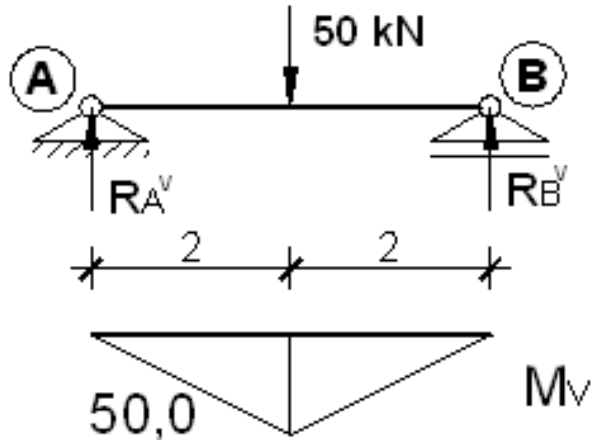
4. b) Stanje  $X_1 = 1$



$$\sum M_B = 0 \Rightarrow R_A^V = 0.25 \text{ kN}$$

$$\sum F_y = 0 \Rightarrow R_B^V = 0.25 \text{ kN}$$

## 5. b) Stanje za vanjsko opterećenje



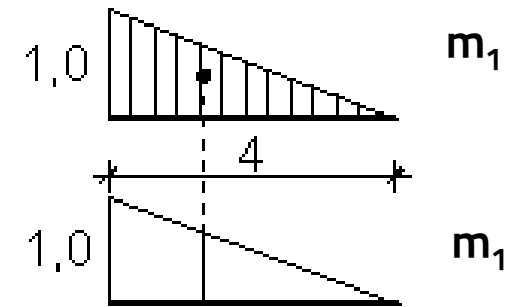
$$\sum M_B = 0 \Rightarrow R_A^V = 25 \text{ kN}$$

$$\sum F_y = 0 \Rightarrow R_B^V = 25 \text{ kN}$$

## 6. b) Koeficijenti fleksibilnosti

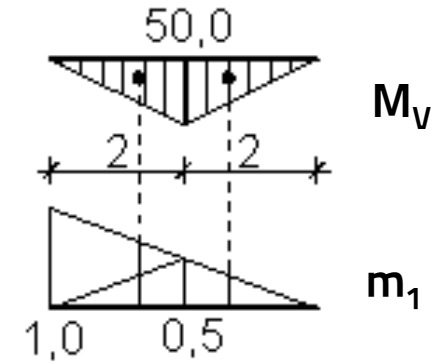
$$\delta_{11} = \frac{1}{EI} \cdot \left[ \frac{1 \cdot 4}{2} \cdot \left( \frac{2}{3} \cdot 1 \right) \right] = 0.000028 \text{ rad}$$

$$\delta_{11} = 0.000028 \text{ rad} \quad (\theta_A \text{ za } \underline{\text{jedinično}} \text{ opterećenje})$$

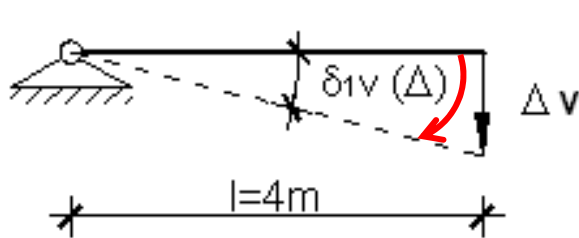


$$\delta_{1V} = \frac{1}{EI} \cdot \left[ \frac{50 \cdot 2}{2} \cdot \left( -\frac{2}{3} \cdot 0.5 - \frac{1}{3} \cdot 1 \right) + \frac{50 \cdot 2}{2} \cdot \left( -\frac{2}{3} \cdot 0.5 \right) \right] = -0.001042 \text{ rad}$$

$$\delta_{1V} = -0.001042 \text{ rad} \quad (\theta_A \text{ za stvarno opterećenje})$$



$\delta_{1V}(\Delta)$  – određujemo pomoću **plana pomaka na mehanizmu** koji nastaje tako da na osnovnom sustavu na mjestu na kojem je zadani prisilni pomak **raskinemo vezu!**



$$\Delta_B^V = 10 \text{ mm} \downarrow$$

$$\delta_{1V}(\Delta) = -\frac{\Delta_V}{l} = -\frac{0.01 \text{ m}}{4 \text{ m}} = -0.0025 \text{ rad}$$

## 7. b) Jednadžba kontinuiteta

$$\delta_{11} \cdot X_1 + \delta_{1V} + \delta_{1V} (\Delta) = 0$$

$$0.000028 \cdot X_1 - 0.001042 - 0.0025 = 0 \Rightarrow X_1 = 127.50 \text{ kNm}$$

vrijednost momenta u **osloncu A**

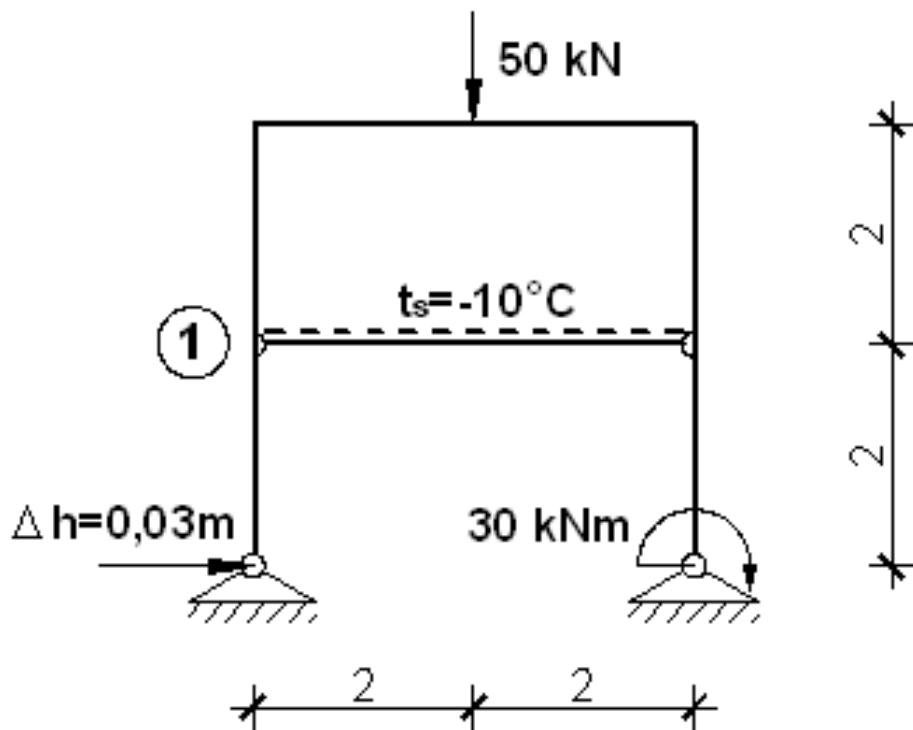


## 8. b) Konačni dijagram (superpozicija)



## Zadatak #6

Za prikazani sustav odrediti **M dijagram**. Pri proračunu koeficijenata fleksibilnosti uzeti u obzir utjecaj **momenata savijanja i uzdužne sile u zatezi**.



Stup/greda:  $b/h = 30/30$  cm

$$E = 3 \cdot 10^7 \text{ kN/m}^2$$

Zatega:  $b/h = 10/10$  cm

$$E_z = 2.1 \cdot 10^8 \text{ kN/m}^2$$

$$\alpha_t = 1 \cdot 10^{-5} \text{ C}^{-1}$$

# 1. Statička neodređenost

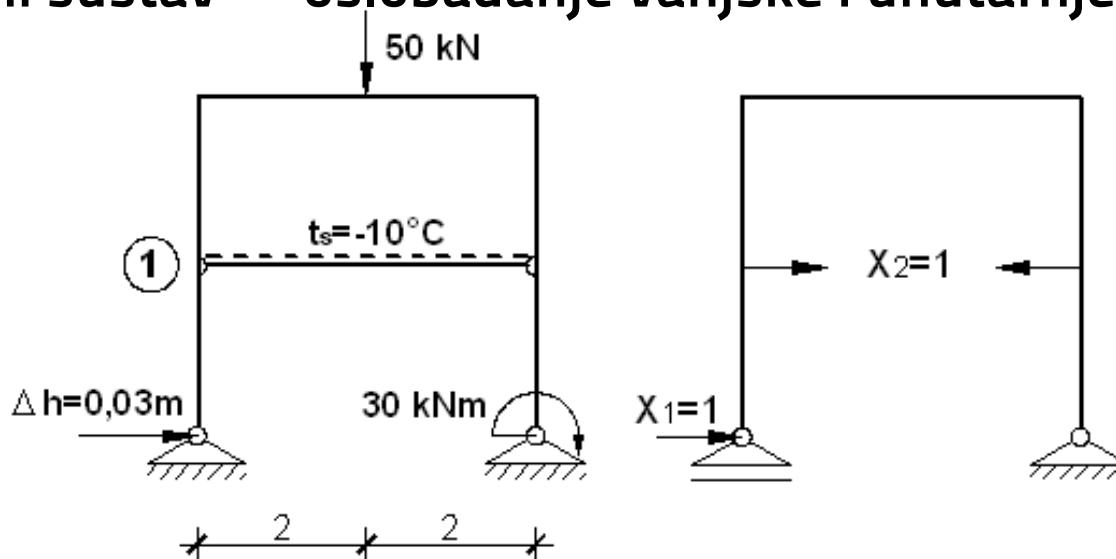
$S = -2$       Sustav je dva puta statički neodređen.

# 2. Geometrijske i materijalne karakteristike

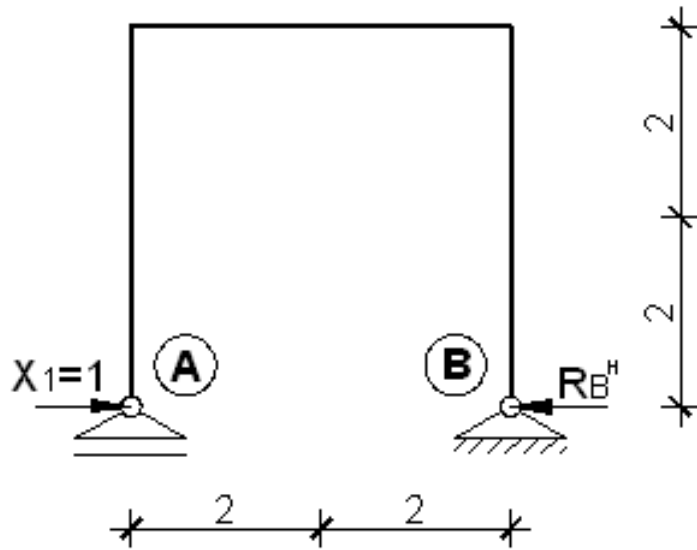
Stup/Greda :  $EI = 20\,250 \text{ kNm}^2$

Zatega :  $E_z A = 2\,100\,000 \text{ kN}$

# 3. Osnovni sustav — oslobađanje vanjske i unutarnje veze

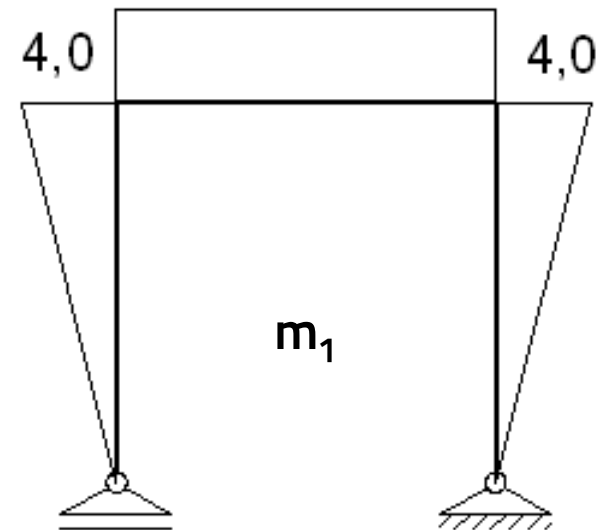


## 4. Stanje $X_1 = 1 \text{ kN}$



$$\sum M_A = 0 \Rightarrow R_B^V = 0 \text{ kN}$$

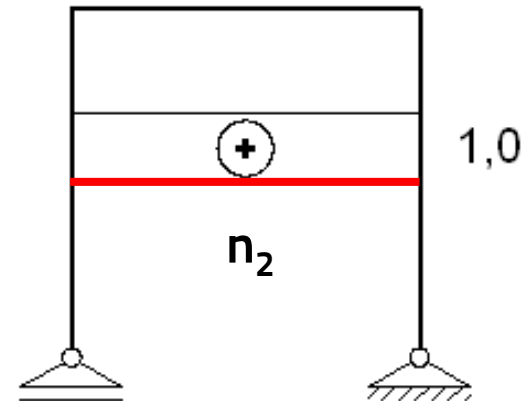
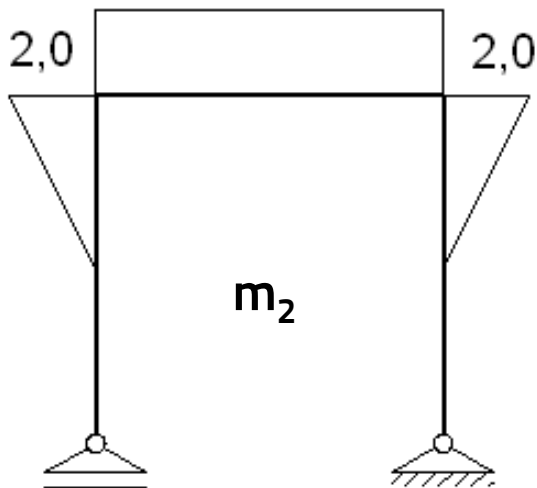
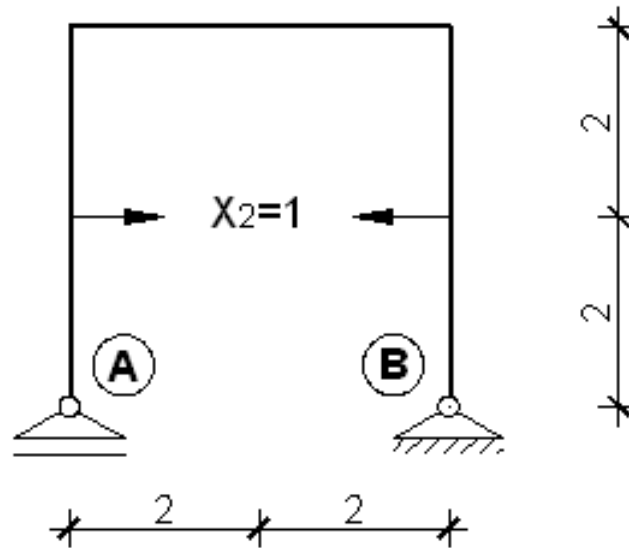
$$\sum F_x = 0 \Rightarrow R_B^H = 1.0 \text{ kN}$$



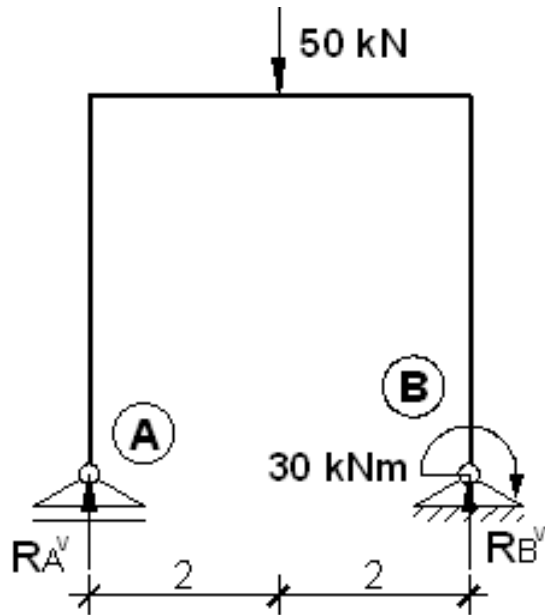


## 5. Stanje $X_2 = 1$ kN

Reakcije su jednake nuli!



## 6. Stanje za stvarno vanjsko opterećenje

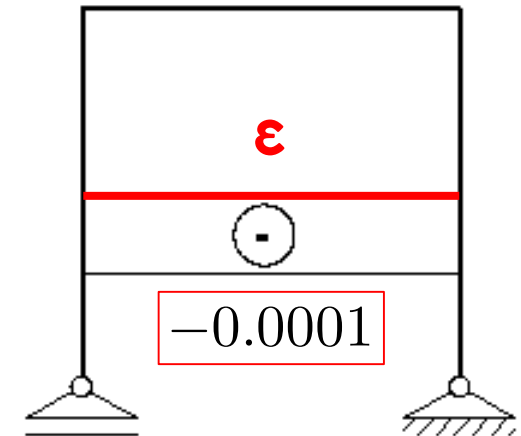
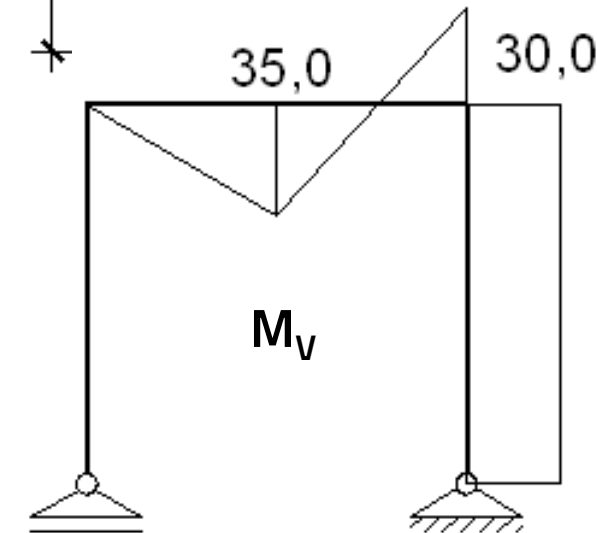


$$\sum M_A = 0 \Rightarrow R_B^V = 32.50 \text{ kN}$$

$$\sum F_y = 0 \Rightarrow R_A^V = 17.50 \text{ kN}$$

$$t_s = -10^\circ\text{C}$$

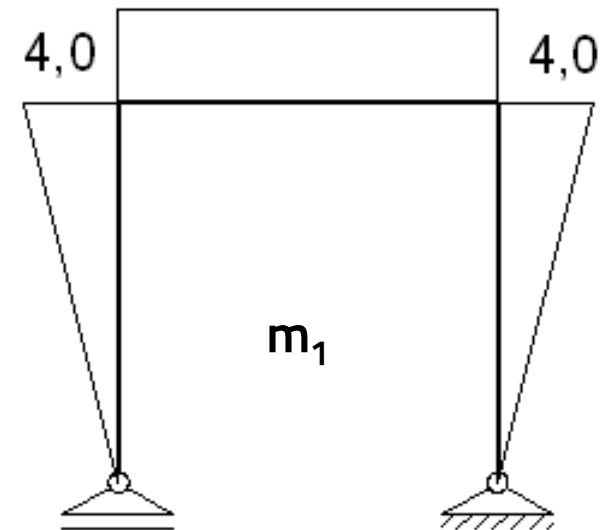
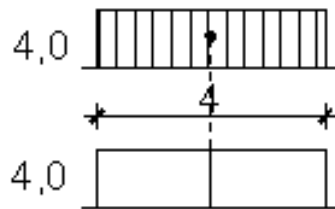
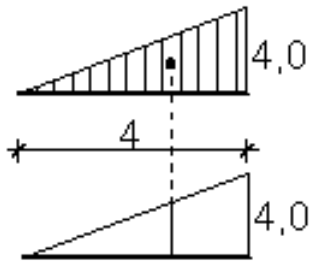
$$\varepsilon = \alpha_T \cdot t_s = -0.0001$$



## 7. Koeficijenti fleksibilnosti

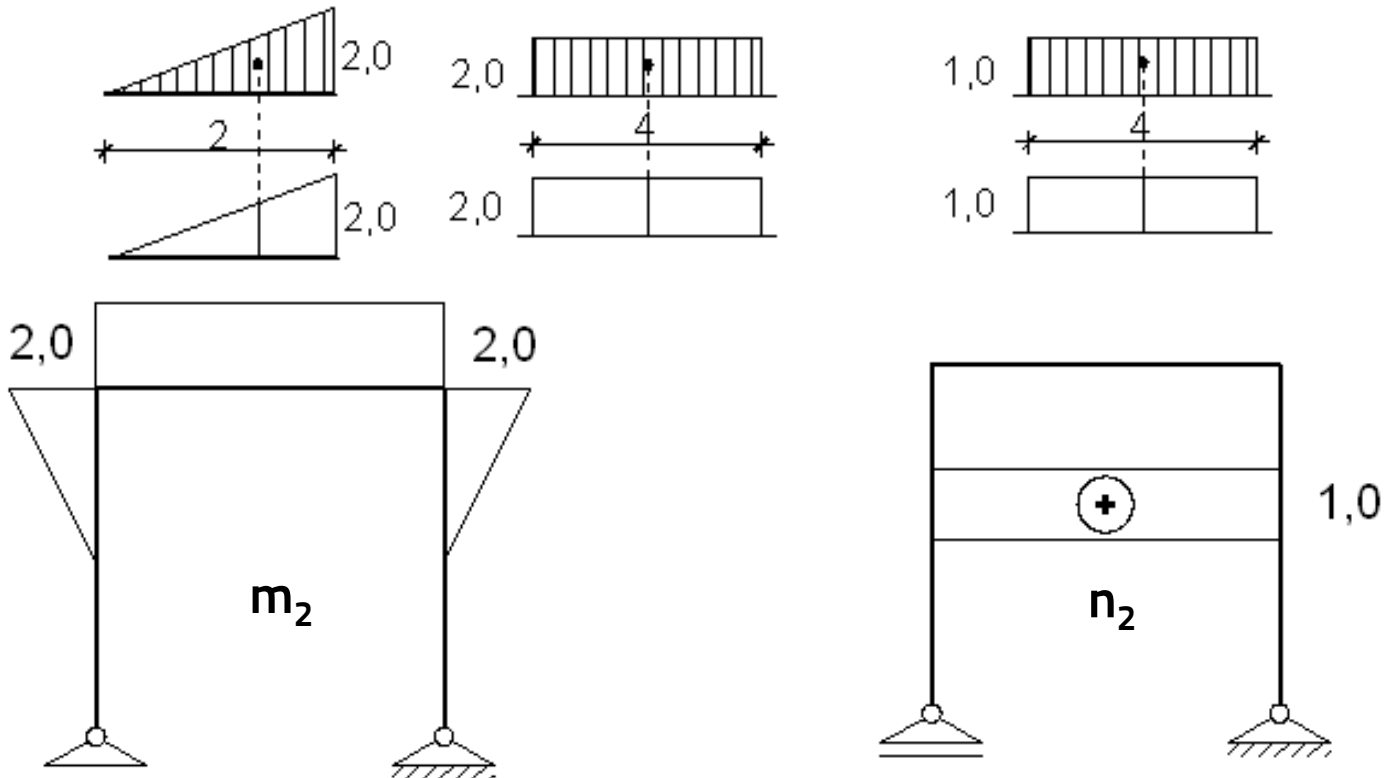
$$\delta_{11} = \frac{1}{EI} \cdot 2 \times \left[ \frac{4 \cdot 4}{2} \cdot \left( \frac{2}{3} \cdot 4 \right) \cdot 4 \cdot 4 \cdot (4) \right] = 0.005267 \text{ m}$$

$$\delta_{11} = 5.27 \text{ mm} \rightarrow \left( \Delta_A^H \text{ za } \underline{\text{jedinično}} \text{ opterećenje } X_1 \right)$$



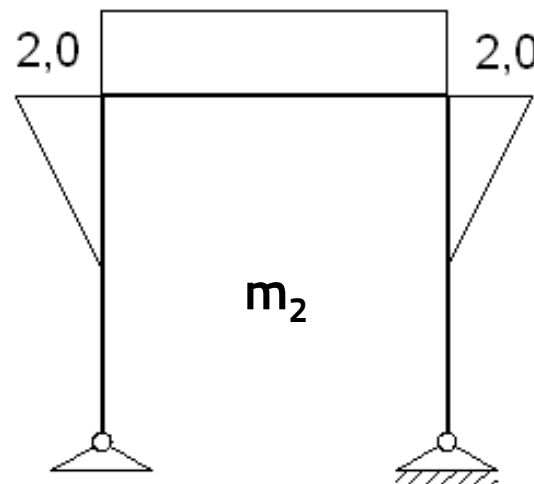
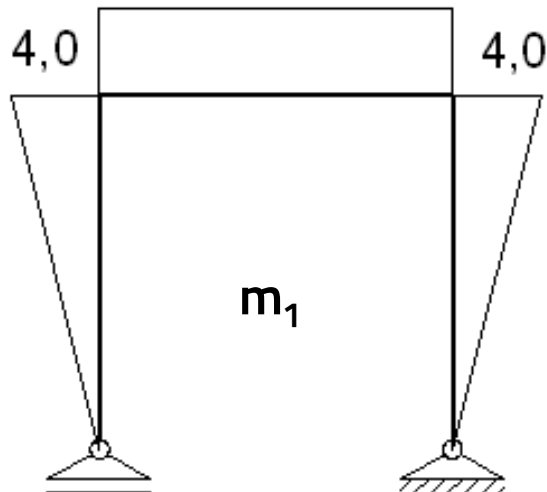
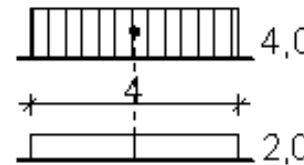
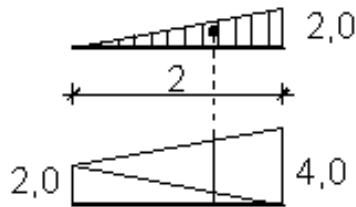
$$\delta_{22} = \frac{1}{EI} \cdot \left[ 2 \times \left[ \frac{2 \cdot 2}{2} \cdot \left( \frac{2}{3} \cdot 2 \right) \right] \cdot 2 \cdot 4 \cdot (2) \right] + \frac{1}{EA} \cdot [1 \cdot 4 \cdot (1)] = 0.001055 \text{ m}$$

$$\delta_{22} = 1.06 \text{ mm} \rightarrow \left( \Delta_1^H \text{ za } \underline{\text{jedinično}} \text{ opterećenje } X_2 \right)$$



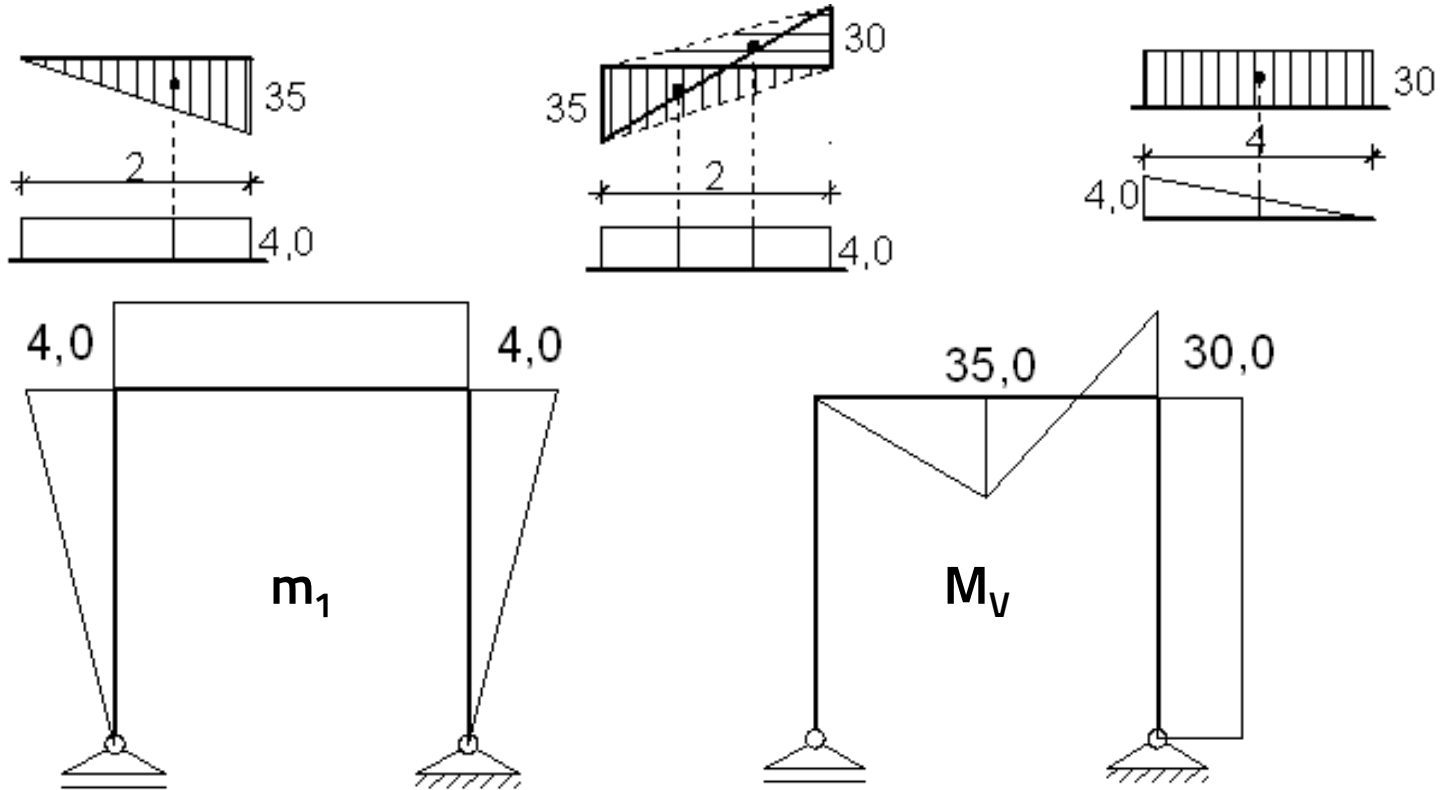
$$\delta_{12} = \delta_{21} = \frac{1}{EI} \cdot 2 \times \left[ \frac{2 \cdot 2}{2} \cdot \left( \frac{2}{3} \cdot 4 + \frac{1}{3} \cdot 2 \right) \cdot 4 \cdot 4 \cdot (2) \right] = 0.002239 \text{ m}$$

$$\delta_{12} = \delta_{21} = 2.24 \text{ mm} \rightarrow \begin{pmatrix} \Delta_A^H \text{ za jedinično opterećenje } X_2 \\ \Delta_1^H \text{ za jedinično opterećenje } X_1 \end{pmatrix}$$



$$\delta_{1V} = \frac{1}{EI} \cdot \left[ \frac{35 \cdot 2}{2} \cdot (-4) \cdot \frac{35 \cdot 2}{2} \cdot (-4) \cdot \frac{30 \cdot 2}{2} \cdot (4) \cdot 30 \cdot 4 \cdot \left( \frac{1}{2} \cdot 4 \right) \right] = 0.003951 \text{ m}$$

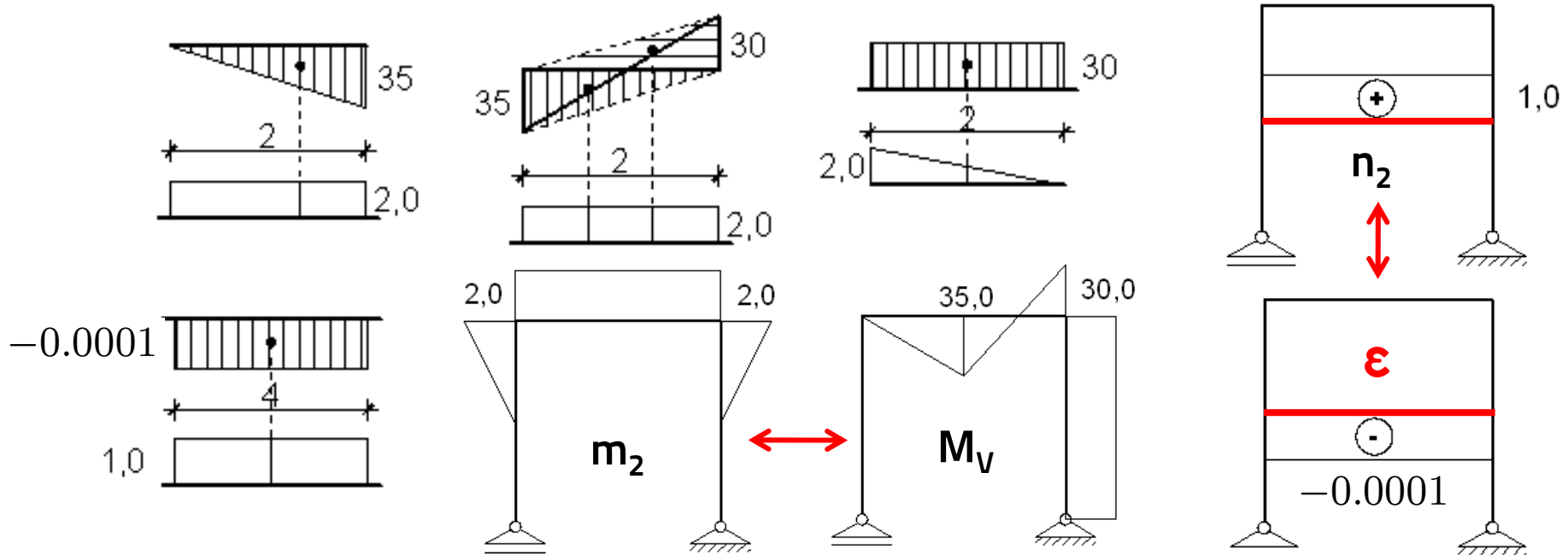
$$\delta_{1V} = 3.95 \text{ mm} \rightarrow \left( \Delta_A^H \text{ za stvarno opterećenje} \right)$$



$$\delta_{2V} = \frac{1}{EI} \cdot \left[ \frac{35 \cdot 2}{2} \cdot (-2) \cdot \frac{35 \cdot 2}{2} \cdot (-2) \cdot \frac{30 \cdot 2}{2} \cdot (2) \cdot 30 \cdot 2 \cdot \left( \frac{1}{2} \cdot 2 \right) \right] +$$

$$+ 0.0001 \cdot 4 \cdot (-1) = 0.001388 \text{ m}$$

$$\delta_{2V} = 1.39 \text{ mm} \rightarrow \left( \Delta_1^H \text{ za stvarno opterećenje} \right)$$



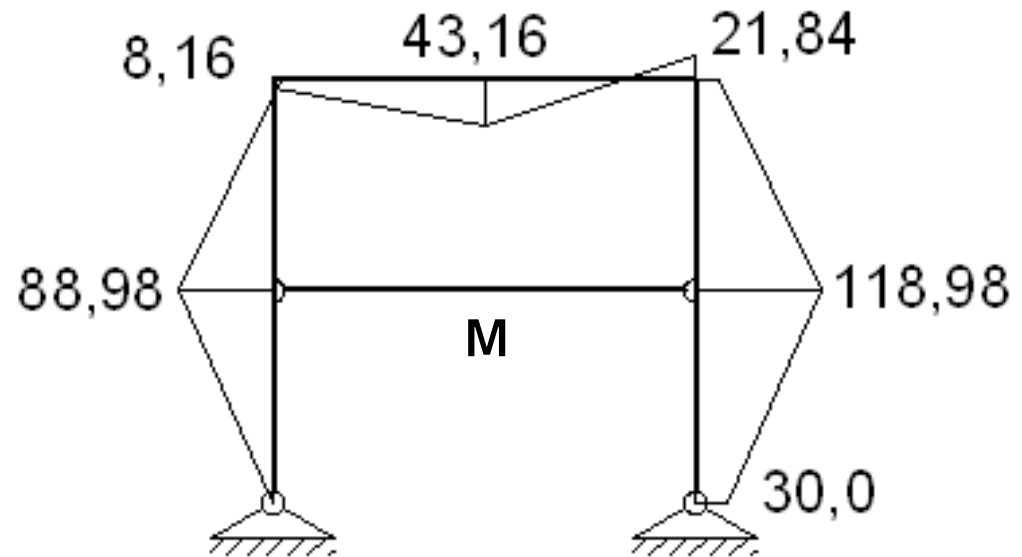
## 8. Jednadžbe kontinuiteta i diskontinuiteta

$$\delta_{11} \cdot X_1 + \delta_{12} \cdot X_2 + \delta_{1V} = +\Delta h \quad X_1 = +44.49 \text{ kN} \rightarrow (R_A^H)$$

$$\delta_{21} \cdot X_1 + \delta_{22} \cdot X_2 + \delta_{2V} = 0 \quad X_2 = -93.06 \text{ kN} \text{ (Tlak u zatezi)}$$

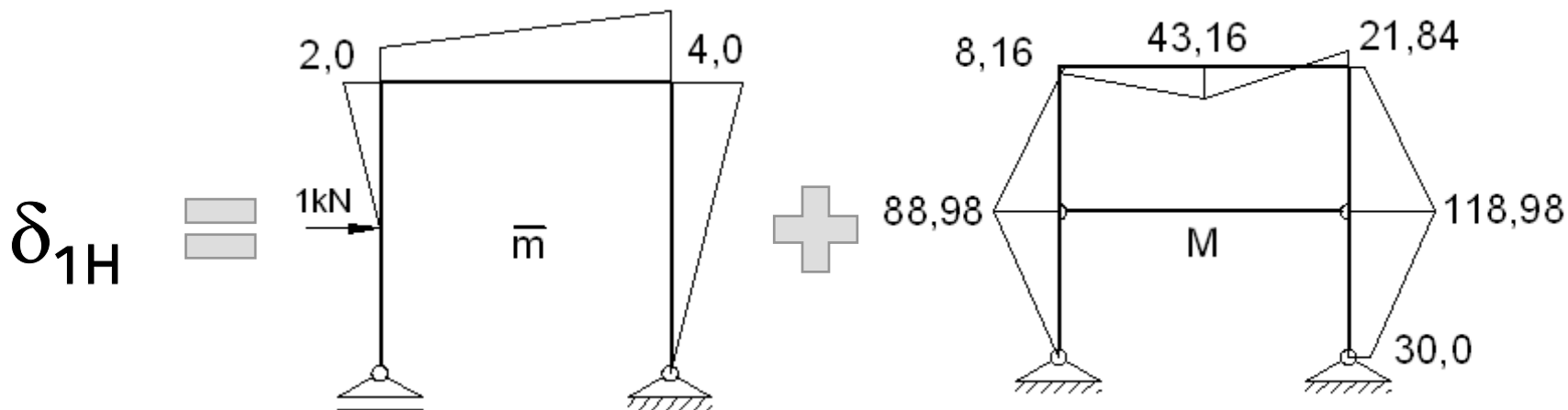
## 9. Konačni momentni dijagram (superpozicija)

$$M_k = M_V + \sum m_i \cdot X_i$$





## 10. Horizontalni pomak točke 1 na statički neodređenom sustavu (redukcijski stavak)!



M dijagram na **statički određenom sustavu** od jedinične (horizontalne) sile!

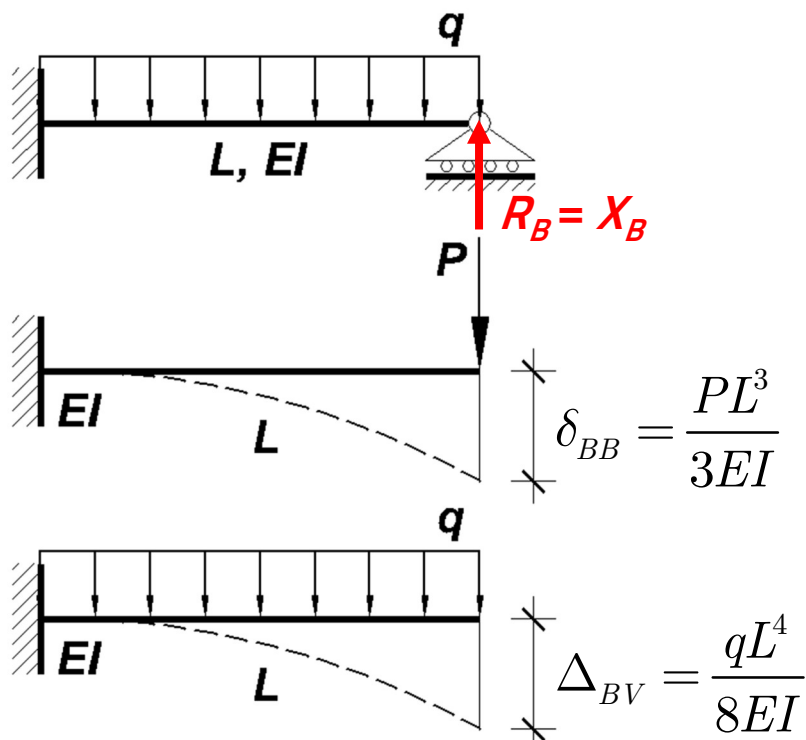
M dijagram na statički neodređenom sustavu!

## 10. Horizontalni pomak točke 1 na statički neodređenom sustavu (redukcijski stavak)!

$$\begin{aligned}\delta_{1H} &= \frac{1}{EI} \cdot \left[ \frac{2 \cdot 2}{2} \cdot \left( \frac{1}{3} \cdot 88.98 - \frac{2}{3} \cdot 8.16 \right) - \frac{2 \cdot 2}{2} \cdot \left( \frac{2}{3} \cdot 8.16 + \frac{1}{3} \cdot 43.16 \right) + \right. \\ &\quad \left. - \frac{3 \cdot 2}{2} \cdot \left( \frac{2}{3} \cdot 43.16 + \frac{1}{3} \cdot 8.16 \right) + \frac{3 \cdot 2}{2} \cdot \left( \frac{1}{3} \cdot 21.84 - \frac{2}{3} \cdot 43.16 \right) + \right. \\ &\quad \left. + \frac{4 \cdot 2}{2} \cdot \left( \frac{2}{3} \cdot 21.84 - \frac{1}{3} \cdot 43.16 \right) + \frac{4 \cdot 2}{2} \cdot \left( \frac{2}{3} \cdot 21.84 + \frac{1}{3} \cdot 118.98 \right) + \right. \\ &\quad \left. + \frac{2 \cdot 2}{2} \cdot \left( \frac{2}{3} \cdot 118.98 + \frac{1}{3} \cdot 21.84 \right) + \frac{2 \cdot 2}{2} \cdot \left( \frac{2}{3} \cdot 118.98 + \frac{1}{3} \cdot 30 \right) \right] \\ &= \frac{419.24}{EI} = 0.020703 \text{ m} = 20.70 \text{ mm} \rightarrow \Delta_1^H\end{aligned}$$

## Utjecaji elastičnih oslonaca

Podsjetimo se primjera jednostrane upete grede s poznatim iznosima progiba za **osnovni sustav konzolnog nosača**.



$$\Delta_{BV} = X_B \cdot \delta_{BB}$$

$$[m] = [kN] \cdot \left[ \frac{m}{kN} \right]$$

Pomak za jediničnu silu

$$\Delta_{BV} + X_B \cdot \delta_{BB} = 0$$

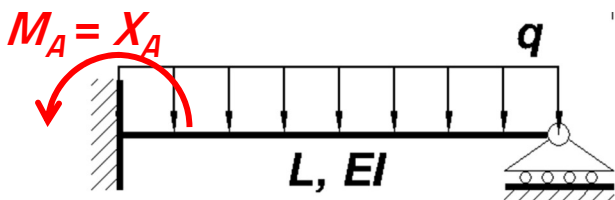
uvjet  $\Delta_B^V = 0$

$$X_B = -\frac{\Delta_{BV}}{\delta_{BB}} = -\frac{-\frac{qL^4}{8EI}}{\frac{1 \cdot L^3}{3EI}} = +\frac{3qL}{8} \text{ [kN]}$$

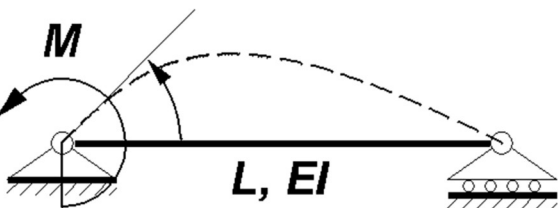
$\uparrow$   $R_B$

## Utjecaji elastičnih oslonaca

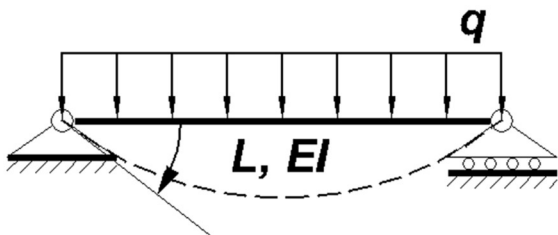
Podsjetimo se primjera jednostrane upete grede s poznatim iznosima rotacija za **osnovni sustav slobodno oslonjenog nosača**.



$$\theta_{AA} = \frac{ML}{3EI}$$



$$\theta_{AV} = \frac{qL^3}{24EI}$$



$$\theta_{AV} = X_A \cdot \theta_{AA}$$

$$[\text{rad}] = [\text{kNm}] \cdot \left[ \frac{\text{rad}}{\text{kNm}} \right]$$

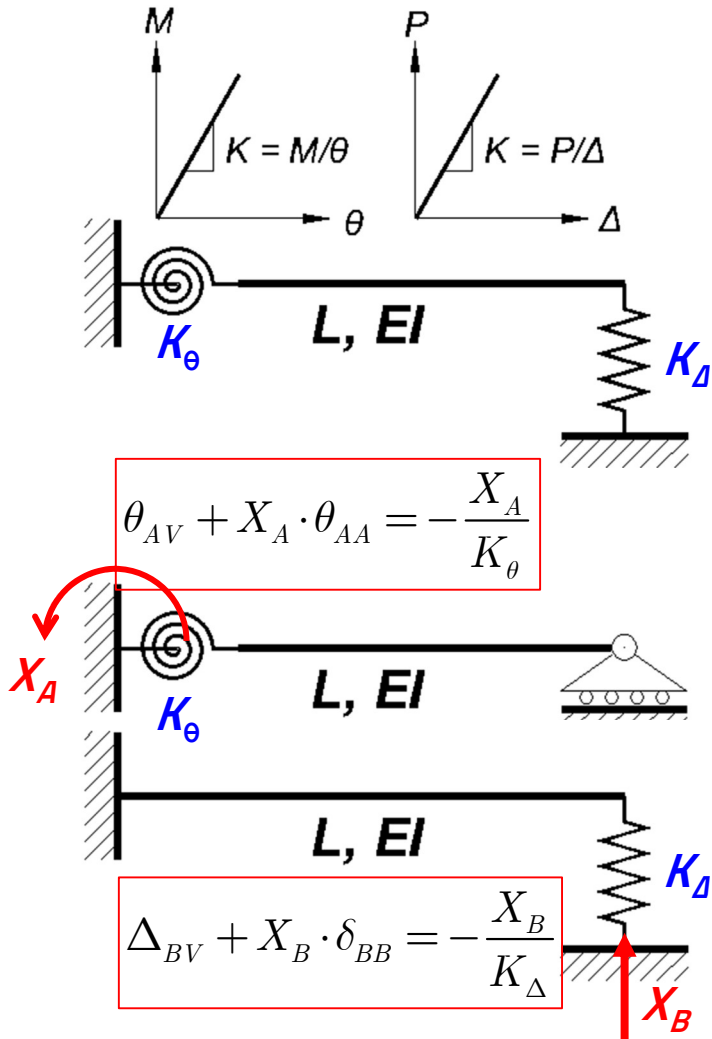
Rotacija za jedinični moment

$$\theta_{AV} + X_A \cdot \theta_{AA} = 0 \quad \text{uvjet } \theta_A = 0$$

$$X_A = -\frac{\theta_{AV}}{\theta_{AA}} = -\frac{-\frac{qL^3}{24EI}}{\frac{1 \cdot L}{3EI}} = +\frac{qL^2}{8} \quad [\text{kNm}]$$



# Utjecaji elastičnih oslonaca



U realnosti oslonci nisu apsolutno (beskonačno) kruti odnosno nepopustljivi, već imaju **konačnu krutost  $K$** .

S konačnom krutosti oslonaca reakcije se umanjuju jer **translacijski pomaci više nisu jednaki nula,  $\Delta \neq 0$** , odnosno za upete oslonce **rotacije više nisu jednake nuli,  $\theta \neq 0$** .

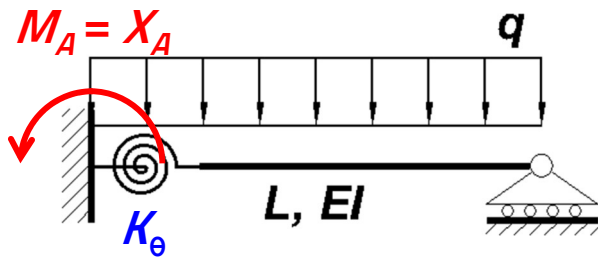
$$P = K_{\Delta} \cdot \Delta \quad \therefore K_{\Delta} = \frac{P}{\Delta} \quad \therefore \Delta = \frac{P}{K_{\Delta}}$$

$$M = K_{\theta} \cdot \theta \quad \therefore K_{\theta} = \frac{M}{\theta} \quad \therefore \theta = \frac{M}{K_{\theta}}$$

$$K_{\theta} \left[ \frac{\text{kNm}}{\text{rad}} \right] \quad \& \quad K_{\Delta} \left[ \frac{\text{kN}}{\text{m}} \right]$$

## Zadatak #7

Izračunajte moment  $M_A$  i rotaciju  $\theta_A$  za primjer jednostrano upete grede s poznatim iznosima rotacija za **osnovni sustav slobodno oslonjenog nosača i rotacijskom oprugom krutosti  $K_\theta$** .



$$q = 10 \text{ kN/m}^1$$

$$L = 4 \text{ m}$$

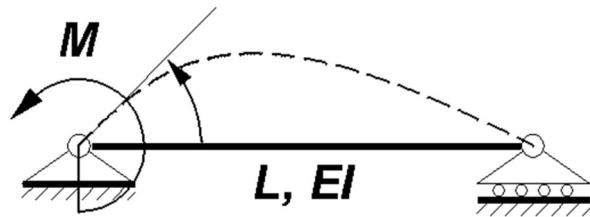
$$EI = 48000 \text{ kNm}^2$$

$$K_\theta = 40000 \text{ kNm/rad}$$

$$\theta = \frac{M}{K_\theta}$$

$$\text{uvjet } \theta_A = \frac{M}{K_\theta}$$

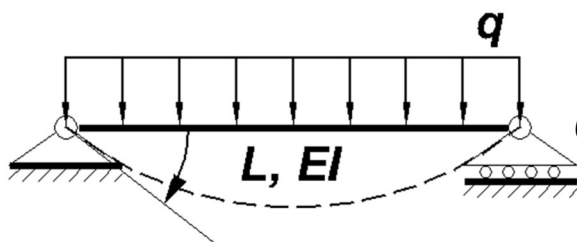
$$= \frac{X_A}{K_\theta}$$



$$\theta_{AA} = \frac{ML}{3EI}$$

$$\theta_{AV} + X_A \cdot \theta_{AA} =$$

$$-\frac{qL^3}{24EI} + X_A \cdot \frac{1 \cdot L}{3EI} = -\frac{X_A}{40000}$$



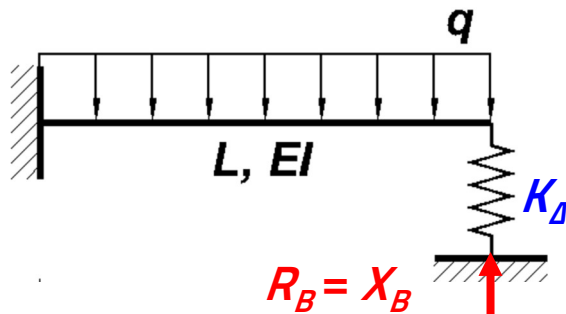
$$\theta_{AV} = \frac{qL^3}{24EI}$$

$$X_A = +10.53 \text{ kNm}$$

$$\theta_A = \frac{X_A}{K_\theta} = 0.000263 \text{ rad}$$

## Zadatak #8

Izračunajte reakciju  $R_B$  i pomak  $\Delta_B$  za primjer jednostrano upete grede s poznatim iznosima progiba za **osnovni sustav konzolnog nosača i translacijskom oprugom krutosti  $K_\Delta$** .



$$q = 10 \text{ kN/m}^1$$

$$L = 4 \text{ m}$$

$$EI = 48000 \text{ kNm}^2$$

$$K_\Delta = 2000 \text{ kN/m}$$

$$\Delta = \frac{P}{K_\Delta}$$

uvjet  $\Delta_B^V = \frac{P}{K_\Delta}$

$$\Delta_{BV} + X_B \cdot \delta_{BB} = -\frac{X_B}{K_\Delta}$$

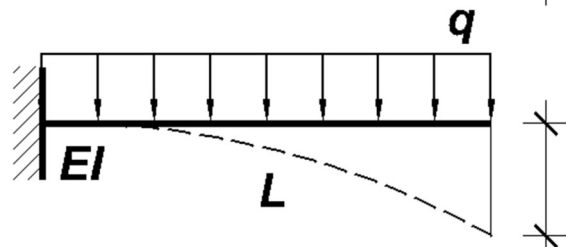
$$-\frac{qL^4}{8EI} + X_B \cdot \frac{1 \cdot L^3}{3EI} = -\frac{X_B}{2000}$$

$$X_B = +7.06 \text{ kN}$$

$$\Delta_B^V = \frac{X_B}{K_\Delta} = 3.53 \text{ mm}$$



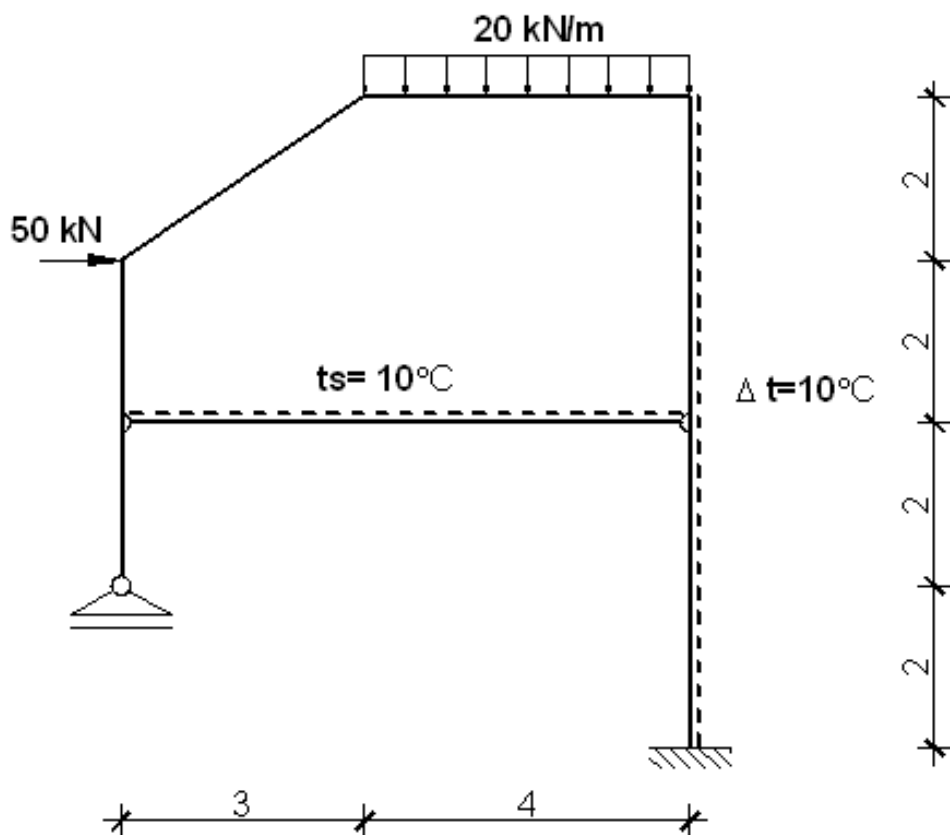
$$\delta_{BB} = \frac{PL^3}{3EI}$$



$$\Delta_{BV} = \frac{qL^4}{8EI}$$

## Zadaci za vježbu

Za prikazani sustav odrediti **dijagram momenata savijanja**. Za proračun koeficijenata fleksibilnosti uzeti u obzir **utjecaj momenata savijanja i uzdužne sile u zatezi**.



Stup:  $b/h = 30/30$  cm

Greda:  $b/h = 30/40$  cm

$$E = 3 \cdot 10^7 \text{ kN/m}^2$$

Zatega:  $b/h = 10/10$  cm

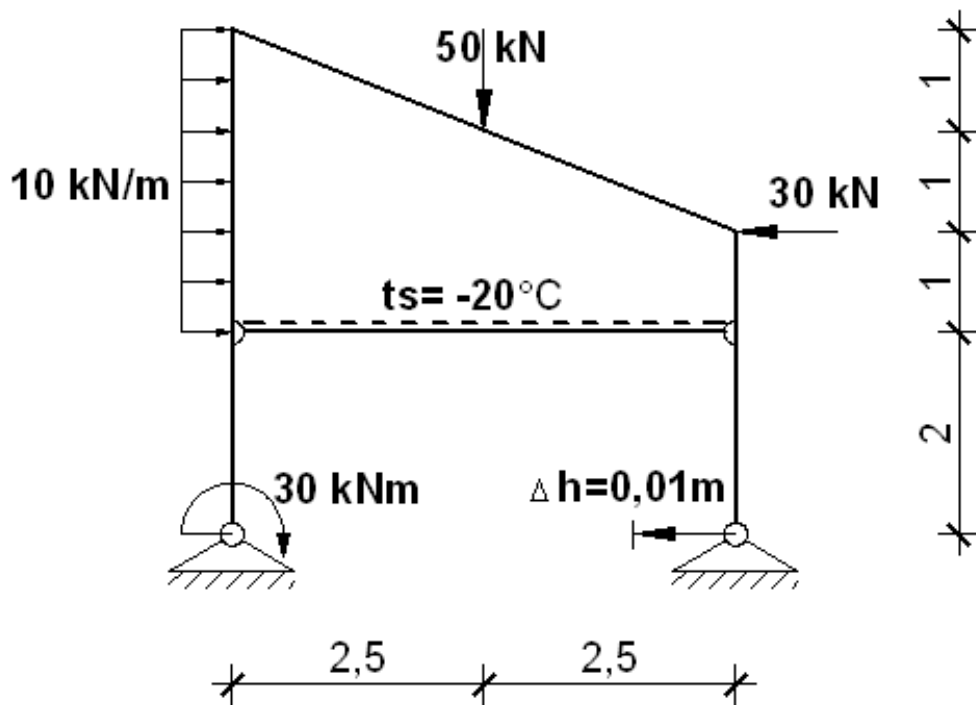
$$E_z = 2.1 \cdot 10^8 \text{ kN/m}^2$$

$$\alpha_T = 1 \cdot 10^{-5} \text{ C}^{-1}$$



## Zadaci za vježbu

Za prikazani sustav odrediti **dijagram momenata savijanja**. Za proračun koeficijenata fleksibilnosti uzeti u obzir **utjecaj momenata savijanja i uzdužne sile u zatezi**.



Stup:  $b/h = 30/30$  cm

Greda:  $b/h = 30/40$  cm

$E = 3 \cdot 10^7$  kN/m<sup>2</sup>

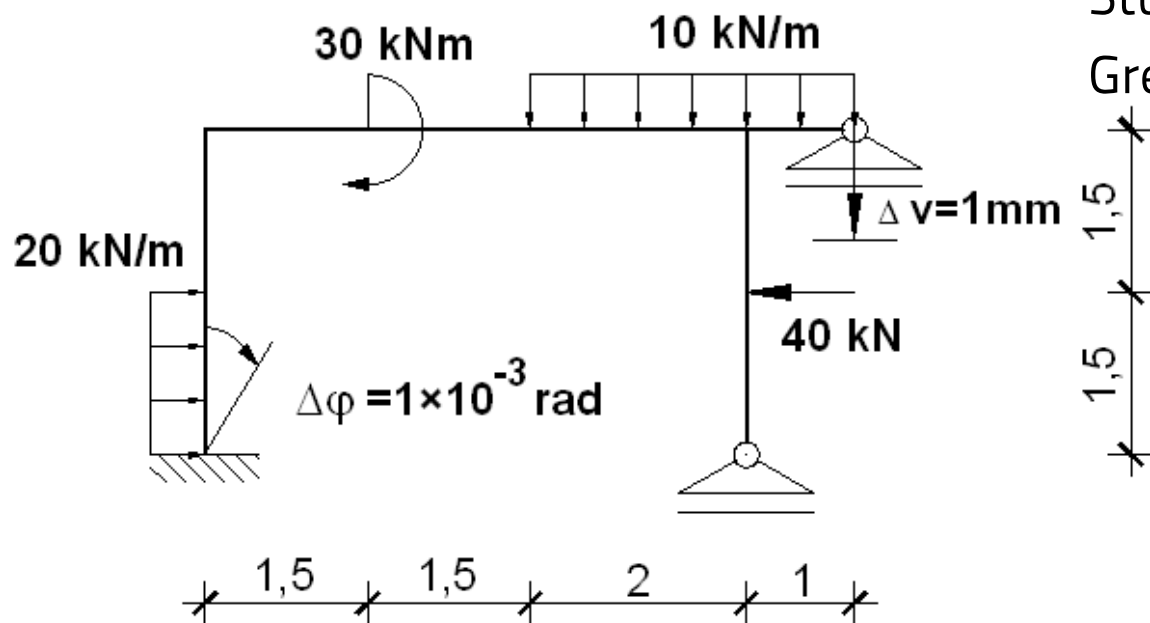
Zatega:  $b/h = 10/10$  cm

$E_z = 2.1 \cdot 10^8$  kN/m<sup>2</sup>

$\alpha_T = 1 \cdot 10^{-5}$  C<sup>-1</sup>

## Zadaci za vježbu

Za prikazani sustav odrediti **dijagram momenata savijanja**. Za proračun koeficijenata fleksibilnosti uzeti u obzir **utjecaj momenata savijanja i uzdužne sile u zatezi**.

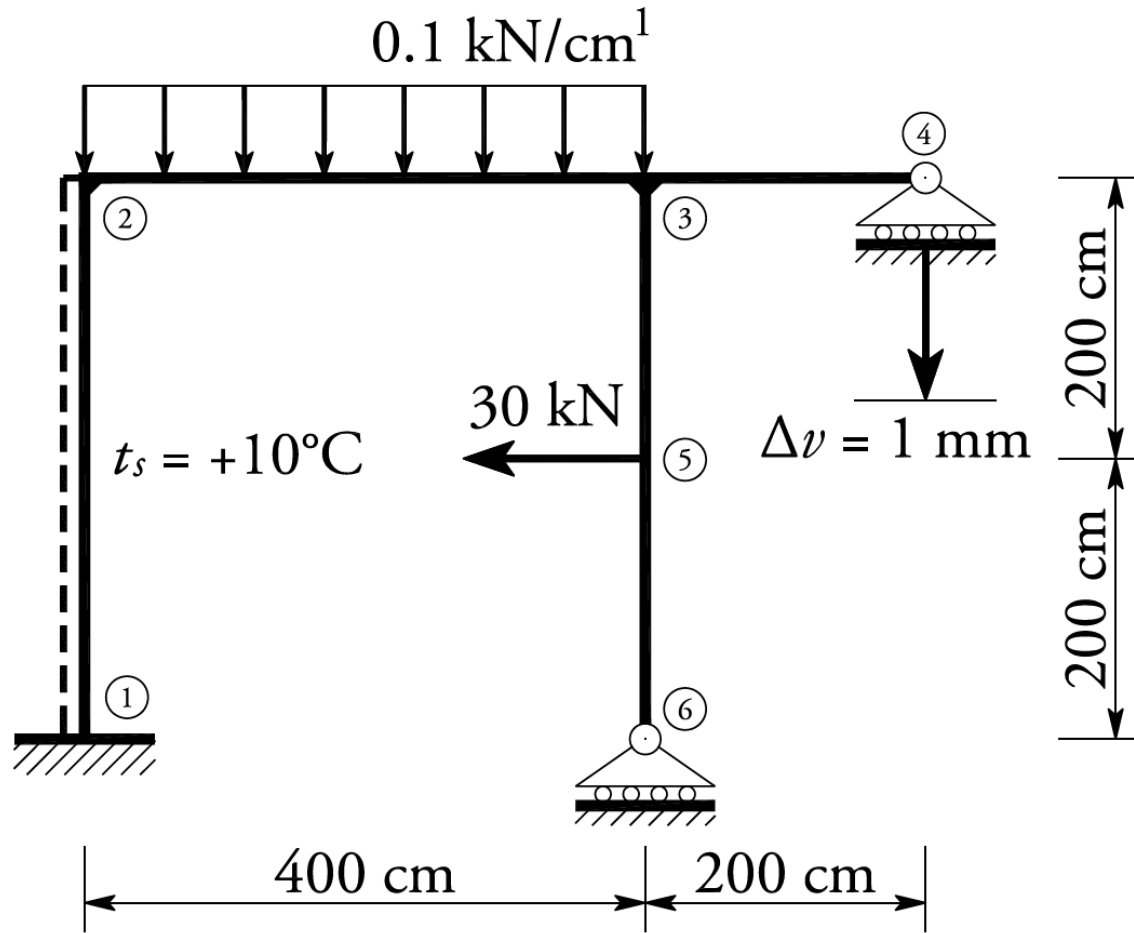


Stup:  $b/h = 30/30 \text{ cm}$

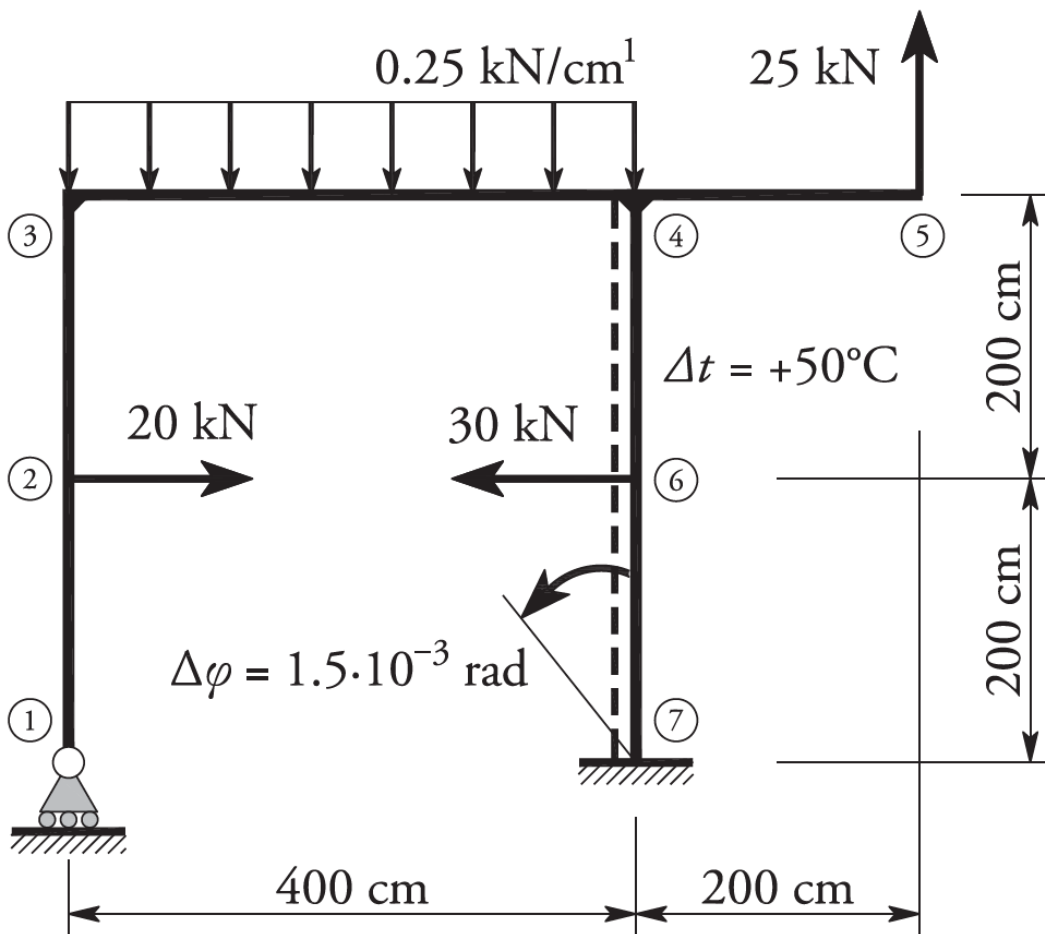
Greda:  $b/h = 30/40 \text{ cm}$

$E = 3 \cdot 10^7 \text{ kN/m}^2$

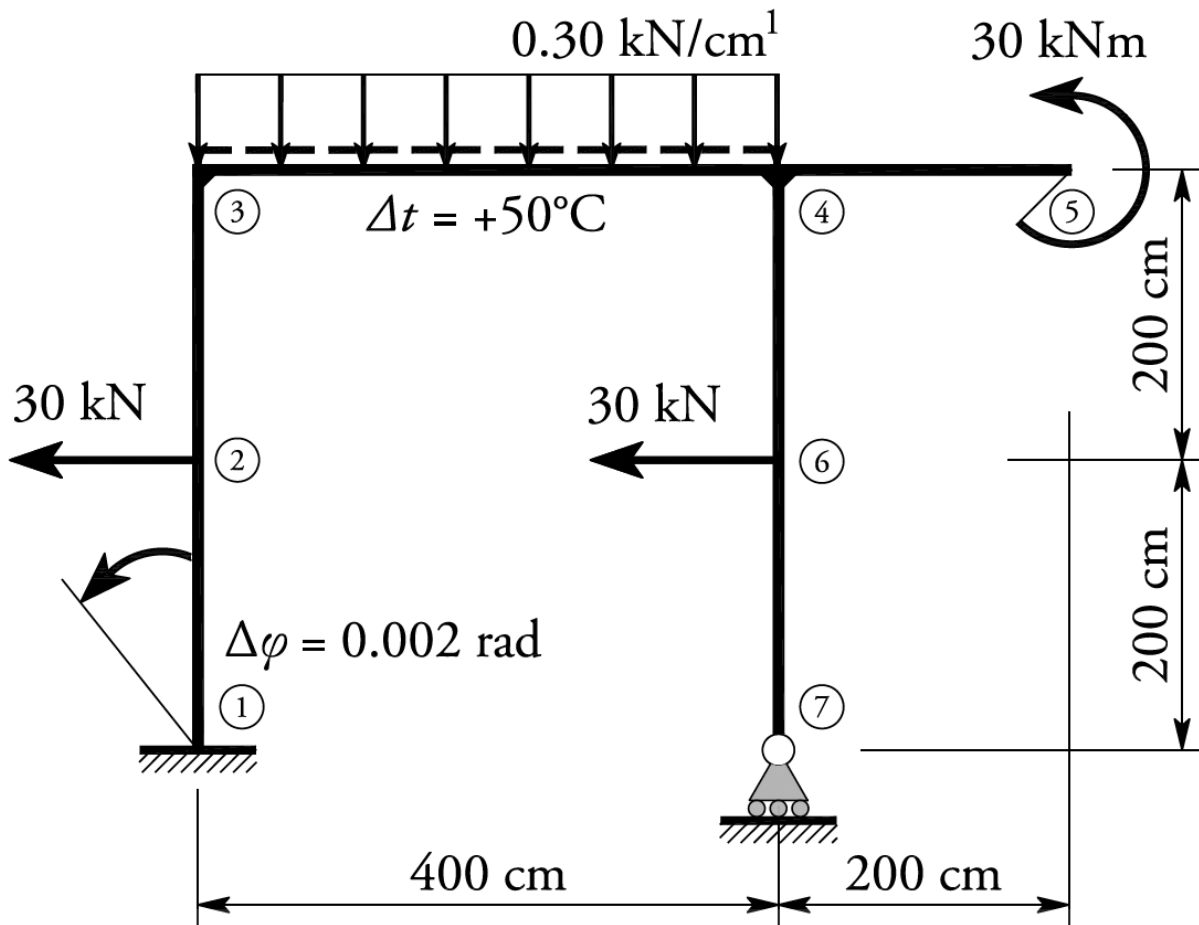
Ispitni rok | 17. veljače 2020.



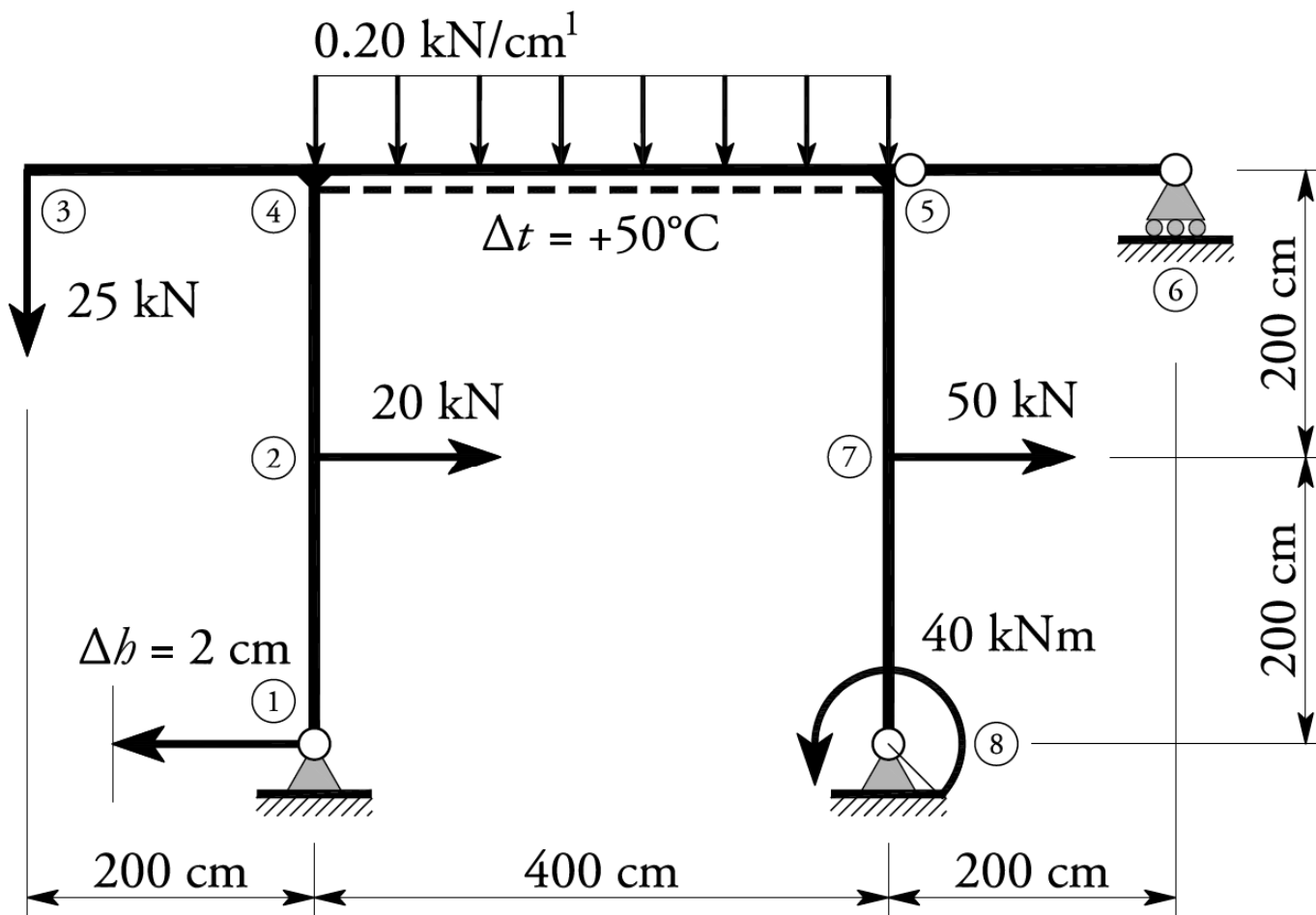
Ispitni rok | 9. srpnja 2020.



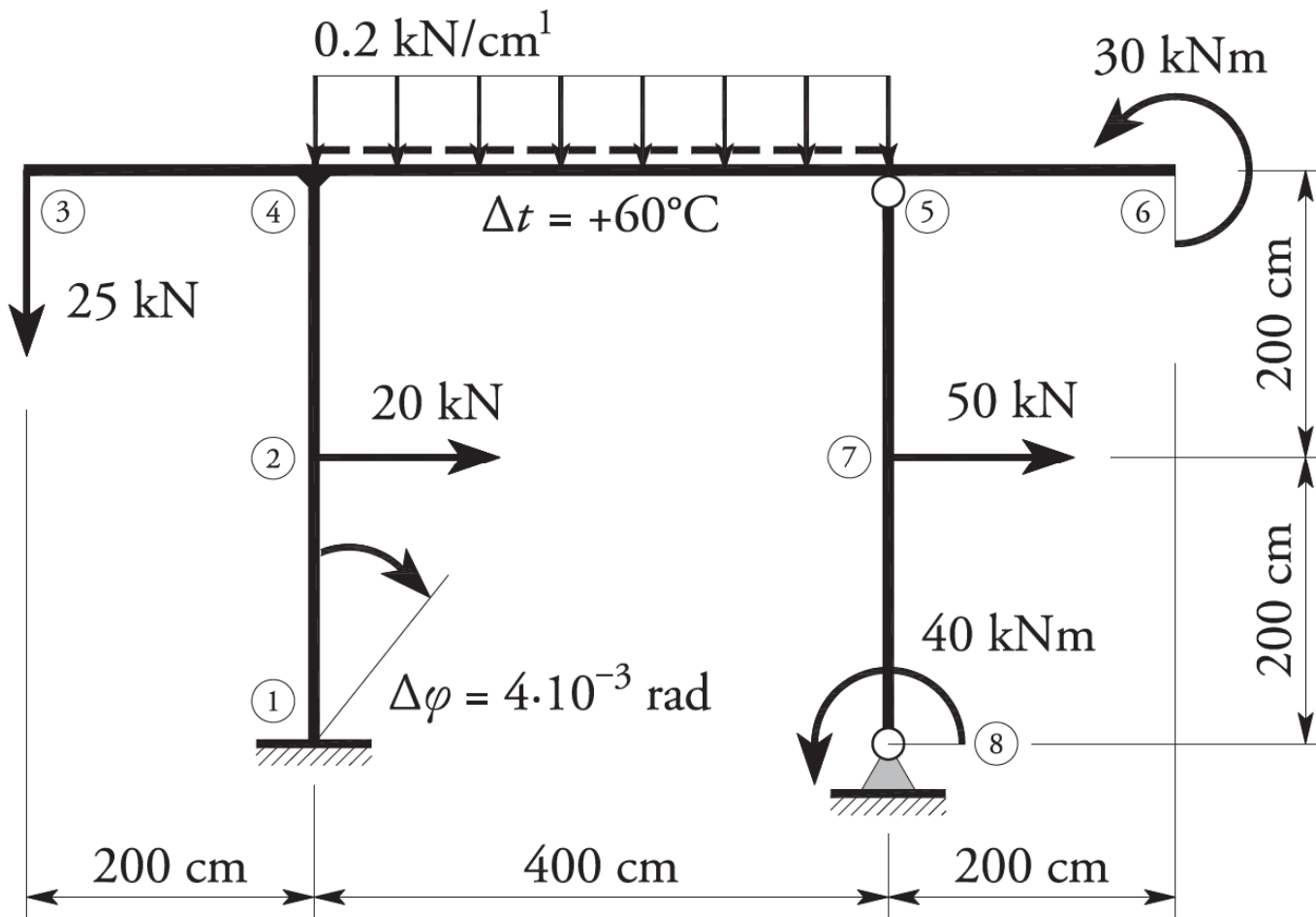
Ispitni rok | 23. srpnja 2020.



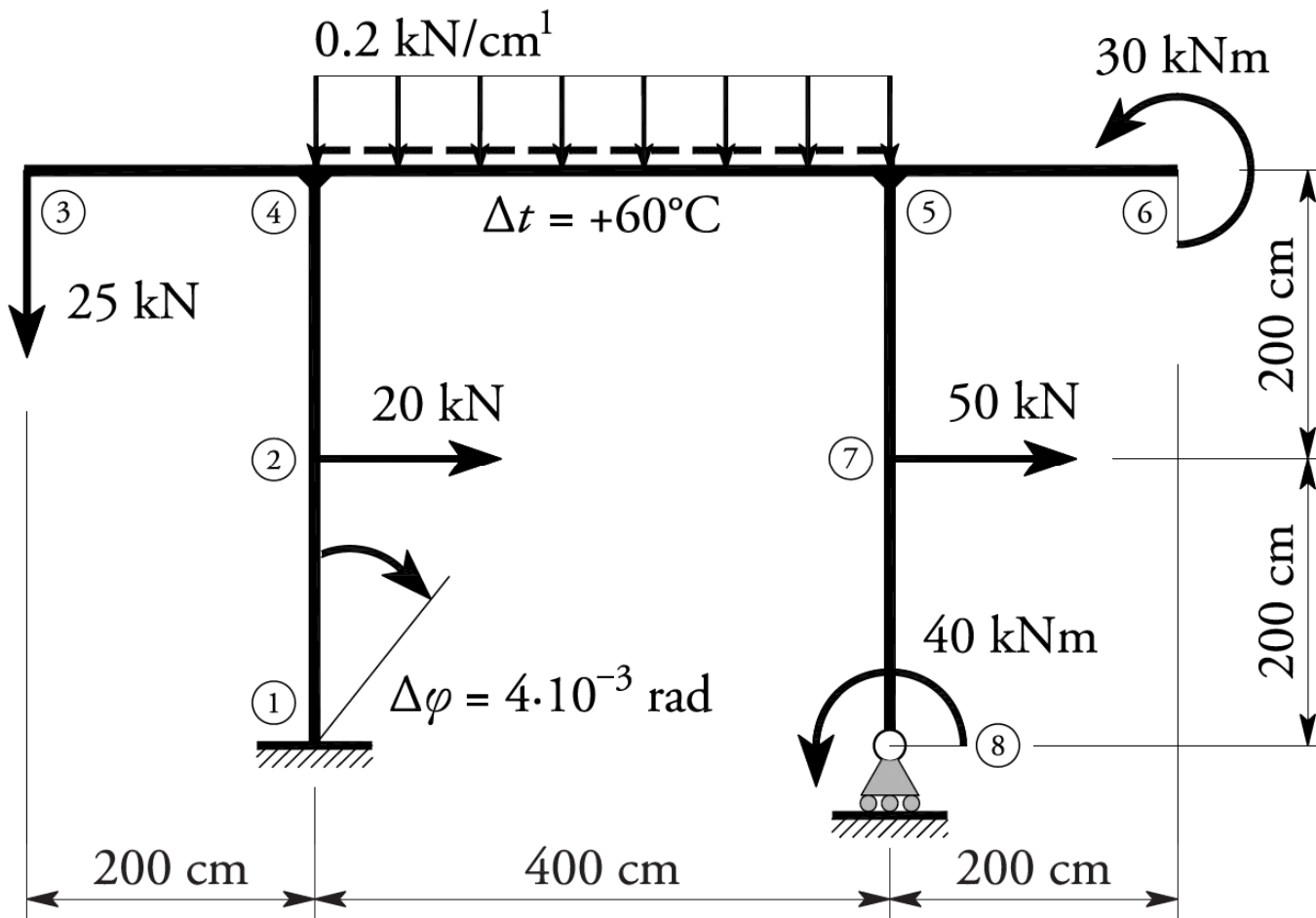
## Ispitni rok | 3. rujna 2020.



Ispitni rok | 17. rujna 2020.



## Ispitni rok | 1. studenoga 2020.







# Hvala na pažnji! Pitanja?

**Doc.dr.sc. Marin Grubišić, mag.ing.aedif.**

Sveučilište u Osijeku (UNIOS)  
Građevinski i arhitektonski fakultet Osijek (GrAFOS)  
Zavod za tehničku mehaniku (ZTM)  
Katedra/Laboratorij za eksperimentalnu mehaniku  
Vladimira Preloga 3, **Ured II.26**, HR-31 000 Osijek, Hrvatska

[marin.grubisic@gfos.hr](mailto:marin.grubisic@gfos.hr)

Konzultacije: **srijedom 8:00 — 9:00 sati**  
Google Classroom: **qmvjpo6**